

П-168

6 АЗАРБАЙЧАН ССР ЕЛМЛЭР АКАДЕМИЈАСЫ
АКАДЕМИЯ НАУК АЗЕРБАЙДЖАНСКОЙ ССР

МЭРҮЗЭЛЭР
ДОКЛАДЫ

ТОМ XXX ЧИЛД

6

„ЕЛМ“ ИШРИЙЛДТЫ
ИЗДАТЕЛЬСТВО „ЭЛМ“
БАКЫ—1974—БАКУ

МҮЭЛЛИФЛЭР ҮЧҮН ГАЙДАЛАР

1. «Азэрбајчан ССР Елмлэр Академијасынын Мә'рүзәләри»ндә иңәри вә тәчрубы әһәмијјәтә малик елми-тәдгигатларын тамамланыш вә һәлә дәрч едилмәмиш иетичәләри һаггында гыса мә'лumatлар чап олуунур.

«Мә'рүзәләр»дә механик суратдә бир нечә айры-айры мә'лumatлар шәклини салышыныш при һәчмели мәгаләләр, яни фактики мә'лumatлардан мәһрум мубаһисә характерли мәгаләләр, мүәҗҗән иетичә вә үмумиләштирмәләрсиз көмәкчү тәчрубыләрин тәсвириңдән ибәрәт мәгаләләр, гејри-принципиал, тәсвири вә ичмал характерли ишләр, төвсүжә едилән методу принципчә яни олмажан сырф методик мәгаләләр, набелә битки вә һөjnиләрин систематикасына даир (елм үчүн хүсуси әһәмијјәтә малик тапытыларын тәсвири истисна олмагла) мәгаләләр дәрч едилмир.

«Мә'рүзәләр»дә дәрч олууан мәгаләләр һәмни мә'лumatларын даһа кешиш шәкилдә башга иңшрләрдә чап едилмәси үчүн мүэллифин һүгүгүнү әлиндән алмыр.

2. «Мә'рүзәләр»ни редакцијасына дахил олан мәгаләләр јалиыз ихтисас үзә бир нафар академикин тәгдиматындан соңра редакција һөj'ти тәрафинден иңәрдән кечирилләр. Һәр бир академик илдә 5 әдәддән чох олмамаг шәртилә мәгаләләр тәгдим едә биләр.

Азэрбајчан ССР Елмлэр Академијасынын мұхбири үзөвлөринин мәгаләләри тәгдиматын систематикасына даир (елм үчүн хүсуси әһәмијјәтә малик тапытыларын тәсвири истисна олмагла) мәгаләләр дәрч едилмир.

Редакција академикләрдән ҳәниш едири ки, мәгаләләри тәгдим едәркән онларын мүэллифләрдән алынmasы тарихини, набелә мәгаләниң јерләшириләчәji бөлмәниң адьыны көстәрсисиндер.

3. «Мә'рүзәләр»дә бир мүэллиф илдә 3 мәгалә дәрч етдири биләр.

4. «Мә'рүзәләр»дә шәкилләр дә дахил олмагла, мүэллиф вәрәгүнин дөрддә бириңдән артыг олмајар жазы макинасында жазылыш 6—7 сәнифә һәчмийнде (10000 чап ишарасы) мәгаләләр дәрч едилмир.

5. Бүтүн мәгаләләрини никилис дилиндә хұласәси олмалыдыр; бундан башга, Азэр-Сајчан дилиндә жазылан мәгаләләре рус дилиндә хұласа әлава едилмәлидир. Рус дилиндә жазылан мәгаләләри иң Азэрбајчан дилиндә хұласаси олмалыдыр.

6. Мәгаләниң соңуна тәдгигат ишинин յерине жетирилдири елми идарәнин адьы вә мүэллифин телефон нөмрәси көстәрилмәлидир.

7. Елми идарәләрдә апарылан тәдгигат ишләринин иетичәләринин дәрч олунмасы үчүн елми идарәнин директорлугунун ичазеси олмалыдыр.

8. Мәгаләләр (хұласәләр дә дахил олмагла) вәрәгүн бир үзүндә иккى хәтт ара бурахыларын жазы макинасында чап едилмәли вә иккى нұсқа тәгдим едилмәлидир. Дүстүрләр дәгиг вә айдын жазылмалы, һәм дә бөյүк һәрфләри алтындан, кичикләрни иң үстүндән (гара гәләммә) иккى хәтт чәкілмәлидир; жунаи әлифбасы һәрфләриңи гырмызын гәләммә даирәлә алмаг лазымдыр.

9. Мәгаләдә ситат көтирилән әдәбијаттагынан ахырында чыхыш шәклиндә дејил, әлифба гајдасты илә (мүэллифин фамилијасына көрә) мәгаләниң соңуна мәтидәкі ис-ниад нөмрәси көстәрилмәккә үмуми сијаһы үзәрө верилмәлидир. Әдәбијаттың сијаһыны ашағыдағы шәкилдә тәртиб едилмәлидир:

а) китаблар үчүн: мүэллифин фамилијасы вә инициалы, китабын бүтөв адьы, чилдин нөмрасы, шәһәр, нөшријјат вә иңшр или;

б) мәчмуәләрдән (әсәрләрдән) мәгаләләр үчүн: мүэллифин фамилијасы вә инициалы, мәгаләниң адьы, мәчмуәни (әсәрләриң) адьы, чилд, бурахылыш, иңшр олундугу жер, нөшријјат, ил, сәнифә;

в) журнал мәгаләләри үчүн: мүэллифин фамилијасы вә инициалы, мәгаләниң адьы, журналны адьы, ил, чилд, нөмрә (бурахылыш), сәнифә көстәрилмәлидир.

Дәрч едилмәмиш әсәрләрдә (несабатлар вә елми идарәләрдә сахланан диссертасијалар истисна олмагла) иснад етмәк олмас.

10. Шәкилләрни арxa тәрәфиңде мүэллифин фамилијасы, мәгаләниң адьы вә шәклин нөмрасы көстәрилмәлидир. Макинада жазылыш шәкилләттү сөзләр айрыча вәрәгдә тәгдим едиллir.

11. Мәгаләләри мүэллифләри Унификација олунмуш оиминлик тәснифат үзәрө мәгаләләри индексини көстәрмәли вә «Рефератив журнал» үчүн реферат әлава етмәлидир.

12. Мүэллифләр чәдвәлләрдә, график материалларда вә мәгаләниң мәтидәнде бу вә ja дикер рәгемләри тәкраба едилмәсина ѡол бермәлидирләр.

Мәгаләләри һәчмии кичик олдугу үчүн иетичәләр јалиыз зәрури һалларда верилир.

13. Иккى вә ja даһа чох мәгалә тәгдим едилдикдә онларын дәрчедилмә ардычыллығыны да көстәрмәк лазымдыр.

14. Мәгаләләри корректурасы, бир гајда олараг, мүэллифләре көндәрилмір. Корректура көндәрилдири тәгдирдә исе јалиыз мәтбәе сәнбәтлөрни дүзәлтмәк олар.

15. Редакција мүэллиф олараг мәгаләниң 15 нұсқа айрыча оттискини верип.

МӘ'РҮЗӘЛӘР ДОКЛАДЫ

ТОМ XXX ЧИЛД

№ 6

«ЕЛМ» НӨШРИЈАТЫ — ИЗДАТЕЛЬСТВО «ЕЛМ»
БАКУ — 1974 — БАКУ



НОВАДИНАМКАНА ЧЕЛСИЕ ЧЗД НАУКА И ТЕХНИКА
ЧЗД МОЛОДЫХ ДИНАМИЧЕСКИХ ИССЛЕДОВАНИЙ

РЕДАКЦИОННАЯ КОЛЛЕГИЯ:

Г. Б. Абдуллаев (главный редактор), Ш. А. Азизбеков,
Г. А. Алиев, В. Р. Волобуев,
А. И. Гусейнов, М. А. Дадашзаде (зам. главного редактора),
М. А. Кашикай, А. С. Сумбатзаде, М. А. Топчибашев,
Т. Н. Шахтахтинский, Г. Г. Зейналов (ответств. секретарь).

ДЛЯ МАЖИДОВ

891

© Издательство „Элм“, 1974 г.

Адрес: г. Баку, Коммунистическая, 10. Редакция „Докладов Академии наук
Азербайджанской ССР“



АЗЭРБАЙЧАН ССР ЕЛМЛЭР АКАДЕМИЈАСЫНЫН МӘРҮЗӘЛӘРИ

ДОКЛАДЫ АКАДЕМИИ НАУК АЗЕРБАЙДЖАНСКОЙ ССР

ТОМ XXX ЧИЛД

№ 6

1974

БИБЛИОГРАФИЯ

СОДЕРЖАНИЕ

Заметим, что если процесс описывается уравнением

$$a \left(\frac{\partial^2 T}{\partial x^2} + \frac{\partial^2 T}{\partial y^2} + \frac{\partial^2 T}{\partial z^2} \right) - \beta \frac{\partial T}{\partial x} - \frac{\partial T}{\partial t} = 0, \quad (3)$$

то конечно-разностный аналог уравнения (3) получается в виде

$$\begin{aligned} & T_{n+1,m,k} \frac{2a - \beta \delta x}{2 \delta x^2} + T_{n-1,m,k} \frac{2a + \beta \delta x}{2 \delta x^2} + T_{n,m+1,k} \frac{a}{\delta y^2} + T_{n,m-1,k} \frac{a}{\delta y^2} + \\ & + T_{n,m,k+1} \frac{a}{\delta z^2} + T_{n,m,k-1} \frac{a}{\delta z^2} - T_{n,m,k} \frac{2a(\delta y^2 \cdot \delta z^2 + \delta x^2 \cdot \delta z^2 + \delta y^2 \cdot \delta x^2)}{\delta x^2 \cdot \delta y^2 \cdot \delta z^2} - \\ & - \frac{dT_{n,m,k}}{dt} = 0. \end{aligned} \quad (4)$$

Решение уравнений (1)–(4) с применением метода сеточного моделирования представляет большие трудности из-за наличия в них конвективного члена.

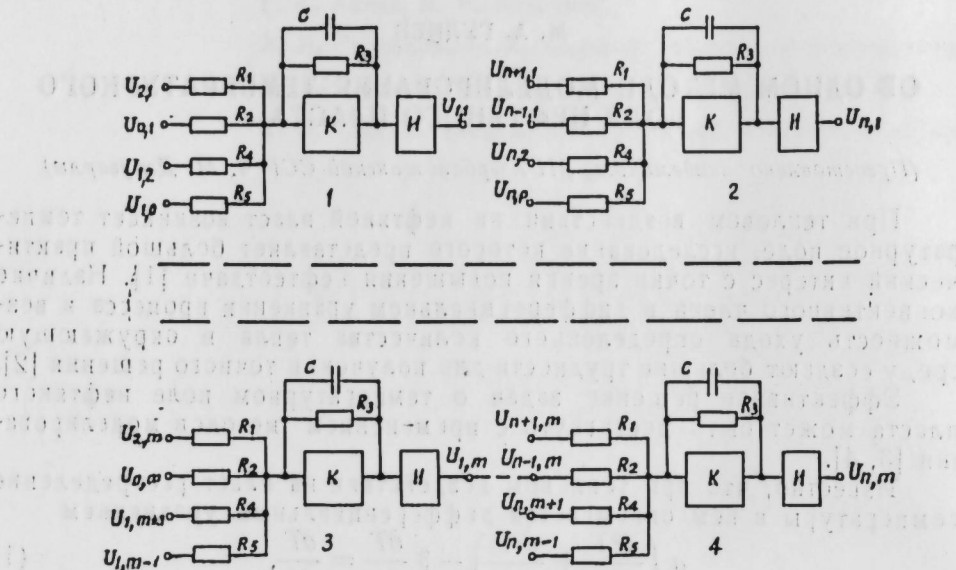


Рис. 1

Следует отметить, что в электрических сетках, подбирая граничные условия соответствующим образом, можно создать течение в любом из возможных направлений. При этом нет необходимости изменения состояния моделируемого поля относительно осей координат. Например, при моделировании одномерного случая уравнения (1) без учета влияния конвективного параметра резистивным или резистивно-реактивным аналоговыми методами в зависимости от задания краевых условий моделирующий ток имеет возможность течь как в направлении от границы $x=0$ к границе $x=l$, так и в направлении от границы $x=l$ к границе $x=0$. В процессе моделирования указанными аналоговыми методами уравнения (1) при $\beta=0$ имеет место течение тока как в горизонтальных направлениях (по протяженности пласта или обратно), так и вертикальных (снизу вверх или сверху вниз). Подобные особенности электрических сеток создают трудности при моделировании уравнений типа (1), так как наличие первой производной в этих уравнениях способствует изменению сопротивления цепи в зависимости от направлений течения тока.

Ниже описывается сетка, течение в которой имеет направленный характер; другими словами, она работает, например, только в одном направлении при моделировании одномерного случая уравнения (1).

4

т. е. течение имеет направление от границы $x=0$ к границе $x=l$. Характерное течение в обратном направлении (от границы $x=l$ к границе $x=0$) может быть создано лишь изменением положения моделируемого поля относительно схем координат. Поэтому такой метод моделирования будем называть методом сетки направленного действия. Отметим, что при моделировании указанным методом уравнения (1) течение будет иметь направление лишь от левой границы к правой и от верхней границы к нижней.

На рис. 1 представлена схема для моделирования уравнения (1). Напишем законы распределения токов для блоков этой схемы. Для первого блока сетки распределение токов имеет вид

$$\frac{U_{2,1}}{R_1} + \frac{U_{0,1}}{R_2} + \frac{U_{1,2}}{R_4} + \frac{U_{1,0}}{R_5} - \frac{U_{1,1}}{R_3} = C \frac{dU_{1,1}}{dt}.$$

Для четвертого блока имеем

$$\frac{U_{n+1,m}}{R_1} + \frac{U_{n-1,m}}{R_2} + \frac{U_{n,m+1}}{R_4} + \frac{U_{n,m-1}}{R_6} - \frac{U_{n,m}}{R_3} = C \frac{dU_{n,m}}{dt}. \quad (5)$$

Уравнения (2) и (5) идентичны, если имеют место критериальные соотношения

$$\begin{aligned} R_1 &= \frac{2 \delta x^2}{2a - \beta \delta x}, \quad R_2 = \frac{2 \delta x^2}{2a + \beta \delta x}, \quad R_4 = R_5 = \frac{\delta y^2}{a}, \\ R_3 &= \frac{\delta x^2 \cdot \delta y^2}{2a(\delta y^2 + \delta x^2)}, \quad C = 1. \end{aligned} \quad (6)$$

Следовательно, представленная на рис. 1 схема позволяет моделировать уравнение (1). Заметим, что в приведенной схеме точки с одинаковыми потенциалами соединяются между собой. Например, вход сопротивления K_1 , имеющий потенциал $U_{2,1}$, соединяется с узловой точкой $U_{2,1}$ или вход K_1 с потенциалом $U_{2,m}$ должен быть соединен с узловой точкой $U_{2,m}$. Входы сопротивлений R_2 с $U_{0,1}$ и $U_{0,m}$ подключаются к левой границе прямоугольной области. Входы сопротивлений R_4 с $U_{1,m+1}$, $U_{2,m+1}, \dots, U_{n,m+1}$ соединяются с нижней границей области. Входы $U_{1,0}, U_{2,0}, \dots, U_{n,0}$ подключаются к верхней границе. Остальные свободные концы сопротивлений K_4 и K_5 соединяются с другими соответствующими узловыми точками по принципу сетки [5].

Таким образом, для описанного случая течение также имеет направленный характер, другими словами, токи в двухмерной сетке протекают лишь от левой границы к правой и от верхней границы к нижней.

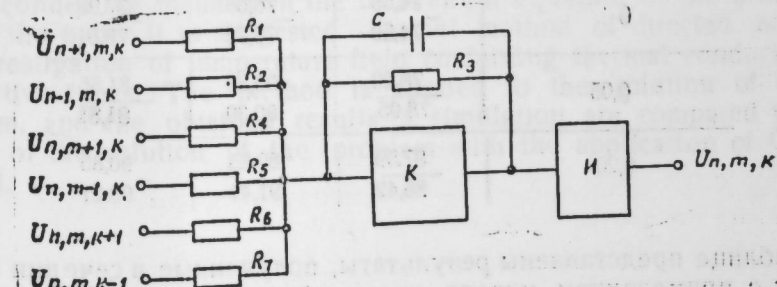


Рис. 2

Следует отметить, что соответствующим подбором величин R_1, R_2, R_3, K_4 и K_5 можно моделировать также случай, когда в уравнении (1) коэффициент температуропроводности и конвективный параметр являются переменными.

На рис. 2 показана схема одного блока сетки направленного

действия для моделирования уравнения (3). Уравнение распределения токов для этой схемы имеет вид

$$\frac{U_{n+1,m,k}}{R_1} + \frac{U_{n-1,m,k}}{R_2} + \frac{U_{n,m+1,k}}{R_3} + \frac{U_{n,m-1,k}}{R_4} + \frac{U_{n,m,k+1}}{R_5} + \frac{U_{n,m,k-1}}{R_6} = \frac{dU_{n,m,k}}{dt}. \quad (7)$$

Сравнение уравнений (4) и (7) показывает, что идентичность их достигается при

$$R_1 = \frac{2\delta x^2}{2a - \beta \delta x}, \quad R_2 = \frac{2\delta x^2}{2a + \beta \delta x}, \quad R_3 = R_4 = R_5 = R_6 = \frac{\delta y^2}{a},$$

$$R_7 = R_8 = \frac{\delta z^2}{a}, \quad C = 1, \quad (8)$$

$$R_9 = \frac{\delta x^2 \cdot \delta y^2 \cdot \delta z^2}{2a(\delta y^2 \cdot \delta z^2 + \delta x^2 \cdot \delta z^2 + \delta y^2 \cdot \delta x^2)}.$$

Таким образом, в методе сетки направленного действия количество направлений течения зависит от мерности моделируемого уравнения. Если уравнение одномерное, то имеется лишь одно направление течения тока, если уравнение двумерное, то ток протекает только в двух направлениях и т. д.

Следует отметить, что решение задач описанным методом имеет некоторые преимущества перед решением подобных задач на цифровых машинах. При решении аналогичных задач на цифровых машинах должны быть дискретизированы все переменные, в том числе и время. Известно, что дискретизация временной переменной вводит возможность вычислительной неустойчивости. Поэтому решение полностью дискретных аппроксимаций нестационарных задач значительно сложнее и требует более глубокого изучения природы конечно-разностных уравнений. В методе сетки направленного действия наличие возможности дискретизировать только пространственные координаты, оставляя время непрерывно изменяющимся, создает большие удобства.

$\beta, \text{ см/сек}$	$t, \text{ сек}$	$2 \cdot 10^4$	$2,5 \cdot 10^4$	$3 \cdot 10^4$
0		-74,55 74,59	-76,55 76,72	-77,90 78,01
0,05		78,20 78,05	80,36 80,39	81,55 81,81
0,20		87,59 86,42	89,55 91,41	90,85 93,21

В таблице представлены результаты, полученные в сечении пласта $x = 2\delta x$ с применением метода сетки направленного действия при $T_k = 0^\circ\text{C}$, $a = 10^3 \text{ см}^2/\text{сек}$, $\delta x = 10^3 \text{ см}$, $T_0 = 0^\circ\text{C}$, $l = 10^4 \text{ см}$, $T_u = 100^\circ\text{C}$ для одномерного случая уравнения (1), где l — протяженность пласта, T_0 — первоначальная температура его, $T = T_u$ при $x = 0$ и $T = T_k$ при $x = l$. Результаты применения метода Галеркина приведены под чертой [6].

Сопоставление результатов показывает их хорошее согласование для указанных моментов времени.

ЛИТЕРАТУРА

- Багиров М. А., Вечхайзер Г. В., Джуварлы Ч. М. Электротермические способы увеличения нефтеотдачи пластов. Азерб. гос. изд-во, 1962. 2. Аббасов А. А. Гидродинамические и экспериментальные исследования вопросов, связанных с применением термического метода воздействия. Изд-во АН Азерб. ССР, 1966. 3. Пухов Г. Е. Методы анализа и синтеза квазианалоговых цепей. Изд-во „Наукова думка“, Киев, 1967. 4. Гулиев М. А. К моделированию физических полей и систем. Изд-во „Маариф“, 1970. 5. Гулиев М. А. Моделирование некоторых процессов теплового воздействия на нефтяные пласты. В кн.: „Вопросы технической кибернетики“. Изд-во АН Азерб. ССР, 1971. 6. Гулиев М. А. Исследование температурного поля нефтяного пласта с применением метода Галеркина и электронной модели. АНХ, 1973, № 2, стр. 25.

Поступило 25. IV 1973

Институт кибернетики

М. А. Гулиев

Нефт лајынын температур саһәсини моделләшdirмә методу нағында

ХУЛАСЭ

Мәгаләдә нефт лајына истилекле тә'сир еткىдә Іараңан температур саһәсини моделләшdirмә мәсәләләриндән бөлс олуимушдур. Просесин дифференциал тәнлижинде конвектив һәdd иштирак етдијиндей белә саһәләри тор моделләшdirмә методлары васитәсилә тәдгиги бөлжүк чәтииликләрлә әлагәрдләр.

Мәгаләдә истилеккечирмә вә конвектив мүрәккабләри олан температур саһәсинин тәдгиги үчүн истигаматләнмиш тә'сирли тор методу тәклиф едилмишdir. Метод конкрет мәсәләјә тәтбиғ олуимуш вә алымыш иәтичәләр Галеркин методунун тәтбиғи илә элә едилмиш иәтичәләрлә мугајисә олуимушдур.

М. А. Guliev

On a method of simulation of oil reservoir temperature field

SUMMARY

In the paper it is discussed the questions connected with the simulation of temperature field arising at the heat effect on the oil reservoir. The investigation of oil reservoir temperature field with the application of methods of net simulation is connected with great difficulties because of the connective member in the differential equation of the process.

In the paper it is suggested the net method of directed action for the investigation of temperature field containing thermal conductivity and convective flows. The method is applied to the solution of concrete problem, and the obtained results of simulation are compared with the results of the solution of the problem with the application of Galerkin method.

Сборник научных трудов Академии наук Азербайджанской ССР. Том XXX Чилд. № 6. Выходит из серии «Доклады Академии наук Азербайджанской ССР».

УДК 518.3 (083.57)

МАТЕМАТИКА

С. Н. БОРИСОВ, З. Т. СУЛТАНОВА

НОМОГРАММЫ ДЛЯ ОПРЕДЕЛЕНИЯ НОМИНАЛЬНОЙ ТОЛЩИНЫ СТЕНКИ ТРУБЫ

(Представлено академиком АН Азербайджанской ССР А. И. Гусейновым)

Расчет номинальной стенки в напорных трубах ведется по формулам, рекомендованным СН и ПП [1], а именно:

$$\delta = \frac{nPD_n}{2(R_1 + nP)}, \quad (1)$$

$$\delta = \frac{nPD_n}{2(0.9R_2^n + nP)}. \quad (2)$$

Здесь:

 P —давление в трубе, ата; D_n —наружный диаметр трубы, мм; $R_1 = \alpha \sigma_{\text{бр}}$ —расчетное сопротивление металла трубы, кг/см²; $R_2^n = \sigma_t$ —нормативное сопротивление, равное наименьшему значению предела текучести, кг/см²; δ —номинальная толщина стенки трубы, см; α —коэффициент пропорциональности; n —коэффициент перегрузки рабочего давления принят равным 1,15.

Запишем зависимости (1) и (2) одной более общей зависимостью

$$\delta = \frac{nPD_n}{2(\alpha\sigma + nP)}, \quad (3)$$

где $\sigma = \sigma_{\text{бр}}$ и $0.3 < \alpha < 0.7$ в случае расчета по формуле (1); $\sigma = \sigma_t$ и $\alpha = 0.9$ в случае расчета по формуле (2).Для облегчения расчета величины δ предлагаются номограммы из равноудаленных точек [2], позволяющие одной засечкой циркуля (измерителя) по заданным значениям α , σ , D_n , P найти значение δ .На рис. 1 и 2 приведены номограммы, отличающиеся пределами изменения переменных. Они состоят из поля центров (α , σ) и двух полей засечек (D_n , P) и (D_n , δ).Способ пользования заключается в следующем. Ставим одну ножку циркуля в точку поля центров (α , σ) с заданными пометками α и σ . Другую ножку циркуля ставим в точку поля засечек (D_n , P) с заданными пометками D_n и P и полученным раствором циркуля из

центра (α , σ) делаем засечку на той же прямой D_n в поле засечек (D_n , δ). Ответ δ дает пометка линии δ , проходящей через найденную точку.

Пример. Дано: $\alpha = 0.5$; $\sigma_{\text{бр}} = 3500 \text{ кг/см}^2$; $D_n = 1000 \text{ мм}$, $P = 20 \text{ ата}$. Найти δ .

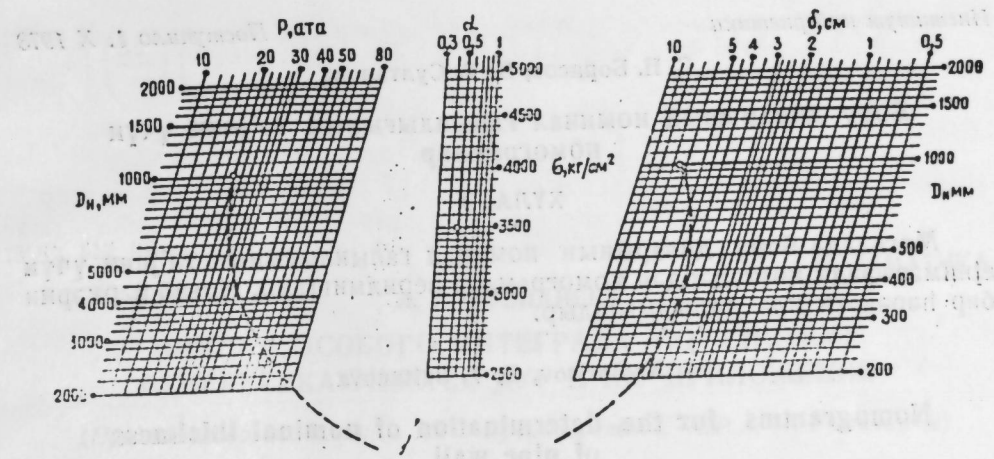


Рис. 1

Ставим ножку циркуля в точку поля (α , σ) номограммы рис. 1 с заданными пометками $\alpha = 0.5$ и $\sigma = 3500 \text{ кг/см}^2$. Другую ножку циркуля ставим в точку поля засечек (D_n , P) с заданными пометками $D_n = 1000 \text{ мм}$ и $P = 20 \text{ ата}$. Не отрывая ножку циркуля от точки поля (α , σ), делаем засечку полученным раствором на прямой $D_n = 1000 \text{ мм}$ поля засечек (D_n , δ).

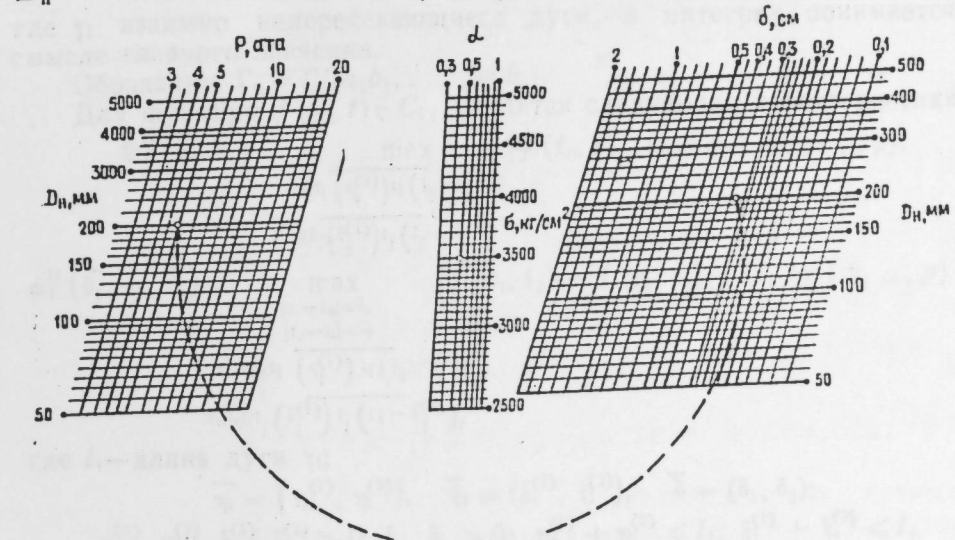


Рис. 2

В точке засечки читаем ответ $\delta = 6.5 \text{ см}$. На рис. 1 этот пример дан штриховой дугой окружности.

На рис. 2 штриховой дугой окружности показан пример при $\alpha = 0.5$; $\sigma_{\text{бр}} = 3500 \text{ кг/см}^2$; $D_n = 200 \text{ мм}$; $P = 5 \text{ ата}$. Ответ $\delta = 0.35 \text{ см}$.

По этим же номограммам можно найти значение давления P , если задана толщина стенки трубы δ .

Номограммы рис. 1 и 2 были вычерчены на гравировальном станке, подключенному к машине БЭСМ-6 ВЦ АН СССР, по системе процедур [3].

бюллентенде Азербайджанда **ЛИТЕРАТУРА** (с. 1) түзүлгөн
оңынайтын 1. СН и ПП—Д10-62, Магистральные трубопроводы. Нормы проектирования.
Строиздат, 1963. 2. Хованский Г. С. Методы номографирования. ВЦ АН СССР,
М., 1964. 3. Чубисов В. В. Вычерчивание и оформление номограмм на графо-
построителе, подключенному к машине БЭСМ-6. В кн.: «Номографический сб.», № 9,
ВЦ АН СССР, М., 1973.

Институт кибернетики

Поступило 1. X 1973

С. Н. Борисов, З. Т. Султанова

Бору диварынын номинал галынлығынын тә'жини үчүн номограмлар

ХУЛАСЭ

Мәгәләдә бору диварынын номинал галынлығынын тә'жини үчүн
еңимәсафәли нәгтәләрдән номограмлар верилмишdir. Чаваб пәркәрин
бир һәрәкәти илә тапсылышдыр.

S. N. Borisov, Z. T. Sultanova

Nomograms for the determination of nominal thickness
of pipe wall

SUMMARY

In the paper it is suggested the nomograms from the equally moved
of points for the determination of nominal thickness of pipe wall. The
result is found by one compass mark.

АЗӘРБАЙЧАН ССР ЕЛМЛӘР АКАДЕМИЯСЫНЫН МӘРҮЗӘЛӘРИ

ДОКЛАДЫ АКАДЕМИИ НАУК АЗЕРБАЙДЖАНСКОЙ ССР

ТОМ XXX ЧИЛД

№ 6

1974

УДК 517. 948. 33

МАТЕМАТИКА

Л. Г. ЭФЕНДИЕВА

ОЦЕНКА ОСОБОГО ИНТЕГРАЛА ПО СИСТЕМЕ НЕПЕРЕСЕКАЮЩИХСЯ ДУГ И ИХ ПРИЛОЖЕНИЯ

(Представлено академиком АН Азербайджанской ССР А. И. Гусейновым)

Рассмотрим особый интеграл $\int \frac{f(t_0, t)}{t - t_0} dt$ по кривой

$$\Gamma = \sum_{i=1}^p \gamma_i = \sum_{i=1}^p \overline{a_i b_i},$$

где γ_i взаимно непересекающиеся дуги, а интеграл понимается в
смысле главного значения.

Обозначим $\Gamma_0 = \Gamma / (a_1 b_1, \dots, a_p b_p)$.

Для функции $f(t_0, t) \in C_{\Gamma_0}$ вводятся следующие характеристики

$$\Omega_f^{ij}(\bar{\eta}_i, \bar{\xi}_j) = \max_{\substack{t_0 \in t_1 (\bar{\eta}_i^{(1)}) t_1 (\bar{\eta}_i^{(2)}) \\ t \in t_j (\bar{\xi}_j^{(1)}) t_j (\bar{\xi}_j^{(2)})}} |f(t_0, t)| \quad (i, j = 1, 2, \dots, p),$$

$$\omega_f^{ij}(\bar{\delta}_1, \bar{\eta}_i, \bar{\xi}_j) = \max_{\substack{|z_1 - z_2| < \bar{\delta}_1 \\ |t_1 - t_2| < \bar{\delta}_2 \\ z_1, z_2 \in t_1 (\bar{\eta}_i^{(1)}) t_1 (\bar{\eta}_i^{(2)}) \\ t_1, t_2 \in t_j (\bar{\xi}_j^{(1)}) t_j (\bar{\xi}_j^{(2)})}} |f(z_1, t_1) - f(z_2, t_2)| \quad (i, j = 1, 2, \dots, p)$$

где l_i —длина дуги γ_i ;

$$\bar{\eta}_i = (\bar{\eta}_i^{(1)}, \bar{\eta}_i^{(2)}), \quad \bar{\xi}_i = (\bar{\xi}_i^{(1)}, \bar{\xi}_i^{(2)}), \quad \bar{\delta} = (\bar{\delta}_1, \bar{\delta}_2);$$

$$\bar{\eta}_i^{(1)}, \bar{\eta}_i^{(2)}, \bar{\xi}_i^{(1)}, \bar{\xi}_i^{(2)} > 0, \quad \bar{\delta}_1, \bar{\delta}_2 > 0; \quad \bar{\eta}_i^{(1)} + \bar{\eta}_i^{(2)} \leq l_i, \quad \bar{\xi}_i^{(1)} + \bar{\xi}_i^{(2)} \leq l_i.$$

Имеет место

Теорема 1. Для функции $W(t_0) = \int \frac{f(t_0 - t)}{t - t_0} dt$ при сходи-

мости соответствующих интегралов верны следующие оценки

$$\Omega_w^i(\bar{\eta}_i) < \text{const} \left[\int_0^{l_i/2} \frac{\Omega_f^{ii}(\bar{\eta}_i, \left(s, \frac{l_i}{2}\right)) ds}{s + \bar{\eta}_i^{(1)}} + \int_0^{l_i/2} \frac{\Omega_f^{ii}(\bar{\eta}_i, \left(\frac{l_i}{2}, s\right)) ds}{s + \bar{\eta}_i^{(2)}} \right] +$$

$$\begin{aligned}
& + \int_0^{\eta_l^{(1)}} \frac{\omega_{2,t}^{II} \left(s, \bar{\eta}_l, \left(\frac{\eta_l^{(1)}}{2}, \frac{l_1}{2} \right) \right) ds}{s} + \int_0^{\eta_l^{(2)}} \frac{\omega_{2,t}^{II} \left(s, \bar{\eta}_l, \left(\frac{l_1}{2}, \frac{\eta_l^{(2)}}{2} \right) \right) ds}{s} + \\
& + \sum_{j=1}^p \left(\int_0^{l_j/2} \Omega_t^{II} \left(\bar{\eta}_l, \left(s, \frac{l_1}{2} \right) \right) ds + \int_0^{l_j/2} \Omega_t^{II} \left(\bar{\eta}_l, \left(\frac{l_1}{2}, s \right) \right) ds \right) \Big] , \\
& \omega_w^I (\delta, \bar{\eta}_l) \leq \text{const} \left[\frac{\delta}{\delta + \eta_l^{(1)}} \int_0^{l_1/2} \frac{\Omega_t^{II} \left(\bar{\eta}_l, \left(s, \frac{l_1}{4} \right) \right) ds}{s + \eta_l^{(1)}} + \right. \\
& + \frac{\delta}{\delta + \eta_l^{(2)}} \int_0^{l_1/2} \frac{\Omega_t^{II} \left(\bar{\eta}_l, \left(\frac{l_1}{4}, s \right) \right) ds}{s + \eta_l^{(2)}} + \delta \int_0^{\eta_l^{(1)}} \frac{\omega_{2,t}^{II} (\delta, \bar{\eta}_l, \left(\frac{\eta_l^{(1)}}{2}, \frac{l_1}{4} \right)) ds}{s(s + \delta)} + \\
& + \delta \int_0^{\eta_l^{(2)}} \frac{\omega_{2,t}^{II} (\delta, \bar{\eta}_l, \left(\frac{l_1}{4}, \frac{\eta_l^{(2)}}{2} \right)) ds}{s(s + \delta)} + \int_0^{\eta_l^{(1)}/2} \frac{\omega_{1,t}^{II} \left(\delta, \bar{\eta}_l, \left(s, \frac{l_1}{2} \right) \right) ds}{s + \eta_l^{(1)}} + \\
& + \int_0^{\eta_l^{(1)}/2} \frac{\omega_{1,t}^{II} \left(\delta, \bar{\eta}_l, \left(\frac{l_1}{2}, s \right) \right) ds}{s + \eta_l^{(2)}} + \omega_{1,t}^{II} \left(\delta, \bar{\eta}_l, \frac{\bar{\eta}_l}{2} \right) \ln \frac{l_1/2}{\delta} + \\
& + \delta \sum_{j=1}^p \left(\int_0^{l_j/2} \Omega_t^{II} \left(\bar{\eta}_l, \left(s, \frac{l_1}{2} \right) \right) ds + \int_0^{l_j/2} \Omega_t^{II} \left(\bar{\eta}_l, \left(\frac{l_1}{2}, s \right) \right) ds \right) + \\
& \left. + \sum_{j=1}^p \left(\int_0^{l_j/2} \omega_{1,t}^{II} \left(\delta, \bar{\eta}_l, \left(s, \frac{l_1}{2} \right) \right) ds + \int_0^{l_j/2} \omega_{1,t}^{II} \left(\delta, \bar{\eta}_l, \left(\frac{l_1}{2}, s \right) \right) ds \right) \right] ,
\end{aligned}$$

где $\eta_l^{(1)}, \eta_l^{(2)} > 0$; $\eta_l^{(1)} + \eta_l^{(2)} \leq l_1$, $0 < \delta < \frac{1}{2} \min \{\eta_l^{(1)}, \eta_l^{(2)}\}$,

а постоянная универсальна.

Обозначим через G_l класс пар $(\varphi(\bar{\eta}), \psi(\delta, \bar{\eta}))$ положительных функций, заданных при $0 < \eta_l^{(1)}, \eta_l^{(2)}, \delta, \eta_l^{(1)} + \eta_l^{(2)} \leq l$, где $\bar{\eta} = (\eta_l^{(1)}, \eta_l^{(2)})$ и удовлетворяющих условиям

1. $\varphi(\bar{\eta})$, $\frac{\psi(\delta, \bar{\eta})}{\delta}$ почти убывают по каждому аргументу $\eta_l^{(1)}$, $\eta_l^{(2)}$, равномерно по остальным,

2. $\lim_{\delta \rightarrow 0} \psi(\delta, \bar{\eta}) = 0$.

Пусть $(\varphi_l, \psi_l) \in G_{l_i}$ ($i = 1, 2, \dots, p$). Введем

$$H_{\varphi\psi} = \{u(t_0) \in C_{\Gamma_0} : \bar{\Omega}_u(\bar{\eta}) = 0 [\bar{\varphi}(\bar{\eta})], \bar{\omega}_u(\delta, \bar{\eta}) = 0 [\bar{\psi}(\delta, \bar{\eta})]\},$$

где

$$\begin{aligned} \bar{\Omega}_u(\bar{\eta}) &= (\Omega_u^1(\bar{\eta}_1), \dots, \Omega_u^p(\bar{\eta}_p)), \\ \bar{\omega}_u(\delta, \bar{\eta}) &= (\omega_u^1(\delta, \bar{\eta}_1), \dots, \omega_u^p(\delta, \bar{\eta}_p)), \\ \bar{\varphi} &= (\varphi_1, \dots, \varphi_p), \quad \bar{\psi} = (\psi_1, \dots, \psi_p). \end{aligned}$$

$H_{\varphi\psi}$ являются банаховым пространством в норме

$$\|u\|_{\varphi\psi} = \max \left\{ \sup_{\bar{\eta}_1} \frac{\Omega_u^1(\bar{\eta}_1)}{\varphi_1(\bar{\eta}_1)}, \sup_{\delta, \bar{\eta}_1} \frac{\omega_u^1(\delta, \bar{\eta}_1)}{\psi_1(\delta, \bar{\eta}_1)} \right\}.$$

Обозначим через H_{ii}' ($i = 1, 2, \dots, p$) те элементы из G_{l_i} , для которых равномерно удовлетворяются условия

$$\int_0^{l_1/2} \frac{\varphi_l \left(\tau, \frac{l_1}{4} \right) d\tau}{\tau + \eta_l^{(1)}} = 0 \left[\varphi_l \left(\eta_l^{(1)}, \frac{l_1}{4} \right) \right], \quad (1)$$

$$\int_0^{l_1/2} \frac{\varphi_l \left(\frac{l_1}{4}, \tau \right) d\tau}{\varphi + \eta_l^{(2)}} = 0 \left[\varphi_l \left(\frac{l_1}{4}, \eta_l^{(2)} \right) \right], \quad (2)$$

$$\delta \int_0^{\eta_l^{(1)}} \frac{\psi_l(\tau, \bar{\eta}_l) d\tau}{\tau(\tau + \delta)} = 0 [\psi_l(\delta, \bar{\eta}_l)], \quad (3)$$

$$\frac{\delta}{\eta_l^{(1)} + \delta} \varphi_l \left(\eta_l^{(1)}, \frac{l_1}{4} \right) = 0 \left[\varphi_l \left(\delta, \eta_l^{(1)}, \frac{l_1}{4} \right) \right], \quad (4)$$

$$\frac{\delta}{\eta_l^{(2)} + \delta} \varphi_l \left(\frac{l_1}{4}, \eta_l^{(2)} \right) = 0 \left[\varphi_l \left(\delta, \frac{l_1}{4}, \eta_l^{(2)} \right) \right], \quad (5)$$

$$\psi_l \left(\eta_l^{(1)}, \eta_l^{(1)}, \frac{l_1}{2} \right) = 0 \left[\varphi_l \left(\eta_l^{(1)}, \frac{l_1}{2} \right) \right], \quad (6)$$

$$\psi_l \left(\eta_l^{(2)}, \frac{l_1}{2}, \eta_l^{(2)} \right) = 0 \left[\varphi_l \left(\frac{l_1}{2}, \eta_l^{(2)} \right) \right], \quad (7)$$

$$\int_0^{\eta_l^{(1)}} \frac{\psi_l \left(\delta, \tau, \frac{l_1}{2} \right) d\tau}{\tau + \eta_l^{(1)}} = 0 \left[\psi_l \left(\delta, \eta_l^{(1)}, \frac{l_1}{2} \right) \right], \quad (8)$$

$$\int_0^{\eta_l^{(2)}} \frac{\psi_l \left(\delta, \frac{l_1}{2}, \tau \right) d\tau}{\tau + \eta_l^{(2)}} = 0 \left[\psi_l \left(\delta, \frac{l_1}{2}, \eta_l^{(2)} \right) \right]. \quad (9)$$

Если использовать (1), (2), (8), (9), то на основании работы [1] существуют постоянные $a_l^{(1)}, b_l^{(1)}, a_l^{(2)}, b_l^{(2)} \in (0, 1)$ такие, что

$$z^{a_l^{(1)}} = 0 \left[z \varphi_l \left(z, \frac{l_1}{4} \right) \right], \quad (10)$$

$$z^{b_l^{(2)}} \varphi_l \left(z, \frac{l_1}{4} \right) = 0 [z^{a_l^{(2)}}], \quad (11)$$

1. Барин Н. К., Степкин С. В. Наилучшие приближения и дифференциальные свойства двух сопряженных функций. Труды Моск. матем. об-ва, т. V, 1956.
2. Гусейнов А. И. Об одном классе нелинейных сингулярных интегральных уравнений. Изв. АН СССР, серия матем., т. 12, № 2, 1946.
3. Pogorzelski W. Problème généralisé de Hilbert pour les arcs non fermés, Ann. scient. Ecole norm super., t. LXXV, f. 3, 1958.
4. Бабаев А. А. Некоторые оценки для особого интеграла. ДАН СССР, т. 170, № 5, 1966.
5. Салавет В. В. Некоторые свойства особого интеграла. Уч. зап. АГУ, серия физ.-матем. наук, № 5, 1966.
6. Назаров А. Оценка для особого интеграла и ее приложения. ДАН Узбек. ССР, № 4, 1968.

Выделим из пространства $H_{\varphi\psi}$ выпуклое множество $H_{\varphi\psi}^M$ ($M > 0$), элементы которого удовлетворяют условиям

$$\Omega_u^i(\bar{\eta}_i) \leq M_{\varphi_i}(\bar{\eta}_i), \quad (i = 1, 2, \dots, p)$$

$$\omega_u^i(\delta, \bar{\eta}_i) \leq M_{\psi_i}(\delta, \bar{\eta}_i), \quad (i = 1, 2, \dots, p)$$

Обозначим $\tilde{H}_{\varphi\psi}$ замыкание $H_{\varphi\psi}$ в норме

$$\|u\|_{\tilde{H}_{\varphi\psi}} = \max_i \sup_{(0, l_i)} \left\{ |u[t(s)]| \frac{1}{\varphi_i^r(s, \frac{l_i}{4}) \varphi_i^{r_1}\left(\frac{l_i}{4}, l_i - s\right)} \right\}, \quad (14)$$

где $r_i > 1$; $(1 - \alpha_i^{(2)})r_i$, $(1 - \beta_i^{(2)})r_i < 1$, а $\alpha_i^{(2)}, \beta_i^{(2)}$ выбираются из условий (11), (13).

Доказывается, что $H_{\varphi\psi}^M$ есть выпуклый компакт в $\tilde{H}_{\varphi\psi}$. С помощью теоремы 1 доказывается

Лемма 1. Если в $\Gamma_0 \times \Gamma_0 \times (u)$ (через (u) обозначена комплексная плоскость) функция $K(t_0, t, u)$ удовлетворяет условиям

$$|K(t_0, t, u)| = O(|u|) \quad (15)$$

и для любых $z_1, z_2 \in \gamma_i$, $t_1, t_2 \in t_j(\eta_j^{(1)})$ $t_j(l_j - \eta_j^{(2)})$, ($j = 1, 2, \dots, p$) и $u_1, u_2 \in (u)$

$$|K(z_1, t_1, u_1) - K(z_2, t_2, u_2)| = O[\bar{\psi}_i(|z_1 - z_2|) + \psi_i(|t_1 - t_2|, \bar{\eta}_i) + |u_1 - u_2|], \quad (16)$$

$$\bar{\psi}_i \delta \ln \frac{l_i/2}{\delta} = O[\bar{\psi}_i(\delta, \bar{\eta}_i)]. \quad (17)$$

Тогда оператор $v(t_0) = Ku = \lambda \int \frac{K[t_0, t, u(t)]}{t - t_0} dt$ при достаточно-

малых λ (дается оценка с помощью данных) преобразует множество $H_{\varphi\psi}^M$ в себя. Здесь $\bar{\varphi} = (\varphi_1, \dots, \varphi_p)$, $\bar{\psi} = (\psi_1, \dots, \psi_p)$ и $(\varphi_i, \psi_i) \in H_{ii}$ ($i = 1, 2, \dots, p$).

Доказывается

Лемма 2. Пусть $K(t_0, t, u)$ удовлетворяет условиям (15), (16), (17).

Тогда оператор K непрерывен в $H_{\varphi\psi}^M$ в топологии, порожденной нормой (14).

Таким образом, в банаховом пространстве $\tilde{H}_{\varphi\psi}$ посредством непрерывного оператора K выпуклый компакт $H_{\varphi\psi}^M$ преобразуется в себя, следовательно, в силу принципа Шаудера существует неподвижная точка оператора K , т. е. решение уравнения

$$u(t_0) = \lambda \int \frac{K[t_0, t, u(t)]}{t - t_0} dt \quad (18)$$

в пространстве $H_{\varphi\psi}$.

Теорема 2. В условиях леммы 1, при достаточно малых λ (дается оценка) нелинейное сингулярное уравнение (18) имеет, по крайней мере, одно решение в $H_{\varphi\psi}$.

Данная работа примыкает к работам [2], [3], [4], [5], [6].

АГУ им. С. М. Кирова

Поступило 4. XI 1973

Л. Г. Эфендиева

КЭСИШМӘЈЕН ГӨВСЛӘР СИСТЕМИ ҮЗРЭ МӘХСУСИ ИНТЕГРАЛ ҮЧҮН
АЛЫНГАН БӘ'ЗИ БӘРАБӘРСИЗЛИКЛӘР ВӘ ОНЛАРЫН ТӘТБИГЛӘРИ

ХҮЛАСӘ

Мәгаләдә кэсишмәјен гөвсләр системи Γ үзрэ көтүрүлмүш $\int \frac{f(t_0, t)}{t - t_0} dt$ мәхсуси интегралы үчүн бә'зи бәрабәрсизликләр алынышыдыр. Бу бәрабәрсизликләрдән истифадә едәрәк, Шаудер принципи тәтбиғ етмәклә $H_{\varphi\psi}$ фәзаларында.

$$u(t_0) = \lambda \int \frac{K[t_0, t, u(t)]}{t - t_0} dt$$

тәнлијинин һәллиниң варлығы исбат олунмушдур.

L. G. Efendieva

The estimations of singular integral along system of non-intersecting curves and their applications

SUMMARY

There some estimations have been received for singular integral along, there Γ is system of non-intersecting curves. The existence of solution of an equation $u(t_0) = \lambda \int \frac{K[t_0, t, u(t)]}{t - t_0} dt$ in $H_{\varphi\psi}$ space is proved by using these estimations and Shauder principle.

$\psi_i(h)$, $i = 1, 2, \dots, n$, $1 < p < \infty$, $\Delta_i^2 f$ — конечная разность порядка 2 с шагом h в направлении i -го координатного орта e_i , если она строится по точкам, принадлежащим G вместе с соединяющим их отрезком, и $\Delta_i^2 f = 0$ — в противном случае.

III. Об одном интегральном представлении.

Приводим теперь установленное интегральное представление, являющееся основным аппаратом изучения данного класса:

$$f(x) = \hat{f}_{(0)}(x) + \int_0^\infty \sum_{l=1}^n \int_0^\infty \cdots \int_0^\infty \frac{\theta'_1(h)}{\theta_l^2(h)} \prod_{j=1}^n \frac{1}{\theta_j(h)} \times \\ \times \zeta_l(y/\theta(h)) \zeta_l(t/\theta_l(h)) \Delta_l^{N_l}(\delta_l t) f(x+y) dy dt dh. \quad (3)$$

Равенство (3) справедливо для почти всех x и для $f(x) \in L^{loc}$ в смысле сходимости в L^{loc} .

В (3) $\theta_l(0) = 0(+0) = 0$, $\theta'_l(h) > 0$ ($i = 1, 2, \dots, n$), функции $\zeta_l(x) \in C_0^\infty(E_n)$, $\zeta_l(t) \in C_0^\infty(E_1)$ и сосредоточены соответственно в наперед заданном кубе из $\{x; 0 < x_i < 1, i = 1, 2, \dots, n\}$ и отрезке $(0, 1)$, $0 < \delta_l < 1$, фиксированный параметр H ($0 < H < \infty$) можно брать любым. Вследствие этого "телом представления" в (3) является "0-рог" (1), обобщающий понятие " l -рога" в [1].

Представление* (3) устанавливается благодаря схеме О. В. Бескова [2] при помощи некоторого усредняющего процесса с усредняющим радиусом $\theta_l(h)$ по x_i ($i = 1, 2, \dots, n$) и обобщает в некотором смысле представление в [1, 2].

IV. Формулировки основных предложений.

Лемма 1. Пусть $0 < \delta < H < \infty$, $\psi_i(h)$ функция, удовлетворяющая условиям (L), (C), (A_i), $\mu_i(h)$ — удовлетворяющая условиям (D), (C), (A_{(i+1)+}), $\theta_i(h)$ — функция обратная к $\mu_i(h)$, $i = 1, 2, \dots, n$, и $\varphi(x)$ — весовая функция с условиями (B). Для

$$g_{(0,1)}(x) = \int_0^\infty \sum_{l=1}^n \int_0^\infty \cdots \int_0^\infty \frac{\theta'_l(h)}{\theta_l^2(h)} \prod_{j=1}^n \frac{1}{\theta_j(h)} \zeta_l(y/\theta(h)) \zeta_l(t/\theta_l(h)) \times \\ \times t^{p-1} \psi_i(h) Q_l(t, x+y) dy dt dh$$

имеет место оценка

$$\|g_{(0,1)}(x)\|_{L_{pp}^{(\bar{\psi}(N), \bar{\Phi}(N))}} \leq c \sum_{l=1}^n \left\{ \int_0^{\theta_l(h)} \|Q_l(t, x)\|_{L_{pp}^{(\bar{\psi}(N))}} dt \right\}^{1/p} \leq \\ \leq c \sum_{l=1}^n \|Q_l\|_{L_{pp}^{(\bar{\psi}(N))}} (G \times (0, 1)), \quad (4)$$

где $\|Q_l\|_{L_{pp}^{(\bar{\psi}(N))}} = \|\|Q_l\|_{L_{pp}^{(\bar{\psi}(N))}}(G)\|_{L_{pp}^{(\bar{\psi}(N))}}(0, 1)$, $1 < p < \infty$.

Лемма 2. Пусть $f(x) \in L_{pp}^{(\bar{\psi}(N), \bar{\Phi}(N))}$ с нормой (2). Для $f(x)$ положим

$$Q_l(t, x) = t^{-\frac{1}{p}+\rho_l} \mu_l^{-1}(h) \Delta_l^{N_l}(t) D_l^{N_l} f(x+y).$$

Пусть для функции $\mu_l(h)$ выполнены условия (D), (C), (A_{(i+1)+}), то при $|h| \rightarrow \infty$,

$$\|f_{(0,1)}(x)\|_{L_{pp}^{(\bar{\psi}(N), \bar{\Phi}(N))}} = \sum_{l=1}^n \|Q_l^{(0)}\|_{L_{pp}^{(\bar{\psi}(N))}}(G \times (0, 1)) \rightarrow 0, \quad (5)$$

где $\theta_l(h)$ обратная функция к $\mu_l(h)$.

* При обсуждении результатов данной статьи с проф. О. В. Бесковым выяснилось, что это представление ранее также получено им и находится в печати.

В силу (5) из (3) в смысле сходимости в $L_{pp}^{(\bar{\psi}(N), \bar{\Phi}(N))}$ получается представление для функций из $L_{pp}^{(\bar{\psi}(N), \bar{\Phi}(N))}$:

$$f(x) = \int_0^\infty \sum_{l=1}^n \int_0^\infty \cdots \int_0^\infty \frac{\theta'_1(h)}{\theta_l^2(h)} \prod_{j=1}^n \frac{1}{\theta_j(h)} \times \\ \times \zeta_l(t/\theta_l(h)) \Delta_l^{N_l}(\delta_l t) f(x+y) dy dt dh. \quad (6)$$

Теорема 1. Пусть $L_{pp}^{(\bar{\psi}(N), \bar{\Phi}(N))}$ — класс функций с конечной полуноской (2). Если для функции $\psi_i(h)$ выполнены условия (D), (A_i), (C) и $\varphi(x)$ удовлетворяет условиям (B), где $G \subset E_n$ удовлетворяет условию "0-рога", $s = (s_1, \dots, s_n)$, $s_i \geq 0$, $i = 1, 2, \dots, n$, $1 < p \leq \infty$, то множество функций из класса $C_0^\infty(E_n)$ плотно в весовом классе $L_{pp}^{(\bar{\psi}(N), \bar{\Phi}(N))}$.

Теорема 2. Пространство $L_{pp}^{(\bar{\psi}(N), \bar{\Phi}(N))}$ с конечной полуноской (2) является полным пространством.

Теорема 3. Пусть $f(x) \in L_{pp}^{(\bar{\psi}(N), \bar{\Phi}(N))}$, где $G \subset E_n$ — удовлетворяет условию "0-рога", $s = (s_1, \dots, s_n)$, $s_i \geq 0$ ($i = 1, \dots, n$), $1 < p \leq \infty$, $\bar{\psi}(h) = (\psi_1(h), \dots, \psi_n(h))$, $\psi_i(h)$ удовлетворяют условиям (D), (A_i), (C), $i = 1, 2, \dots, n$, $\varphi(x)$ — весовая функция с условиями (B), то функцию $J(x)$ можно продолжить за пределы G на E_n линейным образом с сохранением класса.

Теорема 4. Пусть $f(x) \in L_{pp}^{(\bar{\psi}(N), \bar{\Phi}(N))}$, $\bar{s} = (s_1, \dots, s_n)$, $s_i \geq 0$ (целые числа), $\bar{\psi}(h) = (\psi_1(h), \dots, \psi_n(h))$, $\psi_i(h)$ удовлетворяют условиям (D), (A_i), (C), $i = 1, 2, \dots, n$, $\varphi(x)$ (вес) — удовлетворяет условиям (B), $G \subset E_n$ удовлетворяет условию "0-рога". При $1 < p \leq \infty$, $1 \leq m \leq n$ (натуральные числа),

$$\psi_i^*(h) = \left(\prod_{j=1}^n \sigma_j^{(i)}(h) \right)^{-\frac{1}{p}} \left(\prod_{j=1}^n \sigma_j^{(i)}(h) \right)^{\frac{1}{q}} \cdot h^{s_1-\rho_1} \psi_i(h),$$

имеет место вложение

$$L_{pp}^{(\bar{\psi}(N), \bar{\Phi}(N))} \subset L_{pp}^{(\bar{\psi}(N), \bar{\Phi}^*(N))},$$

где $\sigma_j^{(i)}(h) = \theta_j(\mu_i(h))$, $\mu_i(h)$ — функция с условиями (D), (C), (A_{(i+1)+}), $\theta_i(h)$ обратная к $\mu_i(h)$, $\rho_i \geq 0$ (целые числа), $i = 1, 2, \dots, n$, $\bar{\psi} = (\psi_1^*, \dots, \psi_n^*)$ — вектор-функция, $G_m \subset E_m$, $E_m \subset E_n$, m — мерное подпространство точек $(x_1, \dots, x_m, x_{m+1}, \dots, x_n)$, x_{m+1}, \dots, x_n фиксированы.

В заключение считаю своим приятным долгом выразить глубокую благодарность проф. О. В. Бессову за обсуждение работы и консультацию.

ЛИТЕРАТУРА

1. Бессов О. В., Ильин В. П. Математический сб., т. 75, № 4, 1968.
2. Бессов О. В. ДАН СССР, 1965, т. 16, № 4. З. Джабаров А. С. ДАН Азерб. ССР, т. 21, № 2, 1965. 4. Джабарилов А. Д. ДАН СССР, 1964, т. 159, № 2

С. А. Фејзиев

Областа тә'јин олумуш бә'зи үмуми чәкили функциялар
сифинин давамы вә дахилолма нәзәријәсинә даир

ХУЛАСӘ

Мәгаләдә $L_{p, \psi}^{(s(N), \phi(N))}$ типли чәкили функционал сифә баҳылмыш вә бу сифидән олан функциялар үчүн интеграл тәсвир тапсылышдыр. Интеграл тәсвириң көмәji илә баҳылат сифидән олан функцияларын дифференциал хассәләри өјрәшмешdir. Функциянын дахил олмасы вә давамына даир бир сыра тәзәрәмләр дә исбат олумушшур.

S. A. Feiziev

To the theory of putting in and continuation of some common weight classes of functions given on the region

SUMMARY

Functional weight class is considered and integral representation of functions from the given class is set. By this representation the differential properties of functions from this weight class are studied. We got a series of theorems of putting in and continuation.

АЗЭРБАЙЧАН ССР ЕЛМЛӘР АКАДЕМИЯСЫНЫН МӘРҮЗӘЛӘРИ

ДОКЛАДЫ АКАДЕМИИ НАУК АЗЕРБАЙДЖАНСКОЙ ССР

ТОМ XXX ЧИЛД

№ 6

1974

УДК 621. 382. 2

ФИЗИКА

М. Х. АЛИЕВА, Р. Ф. МАМЕДОВА, А. З. МАМЕДОВА

ДЕЙНАЯ ИНТЕКЦИЯ В СПЛАВНЫХ ДИОДАХ,
ПОЛУЧЕННЫХ НА ОСНОВЕ $p\text{-GaSe}$

(Представлено в Научно-исследовательской лаборатории Академии наук Азербайджанской ССР Г. Б. Абдуллаевым)

Исследованы ёольтамперные характеристики сплавных диодов, созданных на основе $p\text{-GaSe}$, в пропускном направлении, в интервале температур 80—300° К. Концентрация дырок в исходном материале $= 10^{15} - 10^{16} \text{ см}^{-3}$, генеричность $\mu = 20 - 10 \text{ см}^2/\text{в. сек.}$.

Диоды создавались сплавлением в потоке водорода олова при температуре 500—600° С (выпрямительный kontakt). Омическим контактом служил индий.

На рис. 1 представлены ёольтамперные характеристики одного из исследованных диодов. При сравнительно небольших напряжениях ток возрастает с напряжением по закону Ома

$$I = \alpha_1 U. \quad (1)$$

С ростом тока большая часть приложенного напряжения падает на высокоомную часть образца. Дрейфовая составляющая тока становится определяющей, и в большинстве образцов наблюдается квадратичная зависимость тока от напряжения

$$I = \alpha_2 U^2, \quad (2)$$

которая затем переходит в кубическую зависимость

$$I = \alpha_3 U^3. \quad (3)$$

После некоторого значения U_{max} начинается область отрицательного сопротивления. U_{max} у различных образцов изменяется в пределах 7—15 в при комнатной температуре. При температуре жидкого азота U_{max} возрастает до 40—90 в.

В другой группе диодов наблюдается более сложная зависимость. После омической зависимости тока от напряжения наблюдается квадратичная зависимость, которая при более высоких уровнях инжекции переходит в кубическую. Затем при некотором значении напряжения U_{max} ток резко возрастает при неизменении напряжения, что соот-

вествует крутому, почти вертикальному участку на вольтамперной кривой. С дальнейшим увеличением напряжения вновь наблюдается квадратичная зависимость, переходящая в кубическую, и, наконец, наступает участок отрицательного сопротивления (рис. 2).

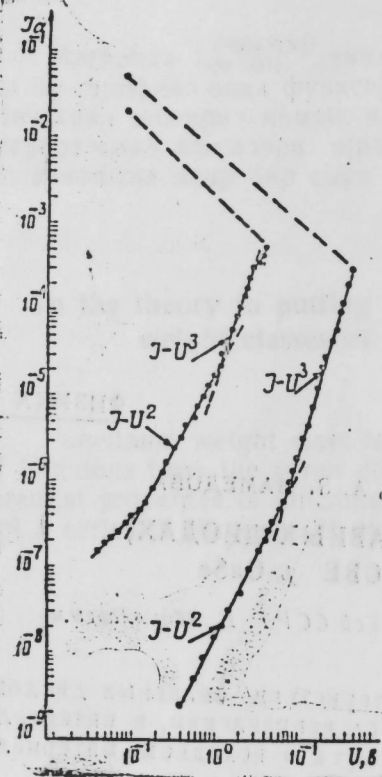


Рис. 1. Вольтамперные характеристики сплавных диодов GaSe (диод № 2 А) при 300°K (левая кривая) 80°K (правая кривая)

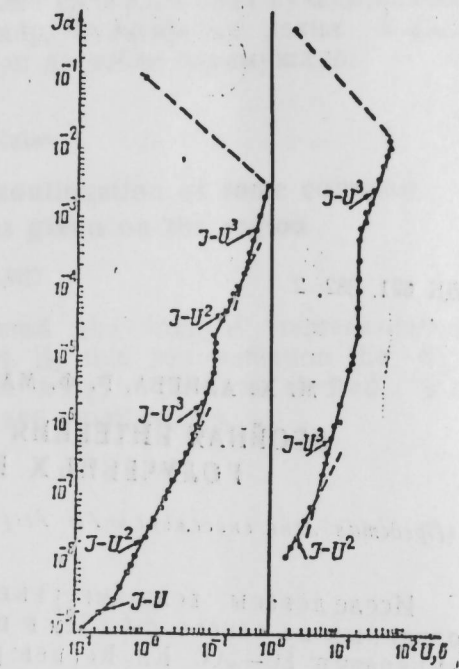


Рис. 2. Вольтамперные характеристики диодов GaSe (диод № 42 В) при 300°K (левая кривая) и 80°K (правая кривая)

Качественное объяснение наблюдаемой зависимости может быть дано на основе представления о двойной инжекции и изменения времени жизни с уровнем инжекции [1, 2].

В начальном участке вольтамперной характеристики, при малом значении напряжения, пока плотность инжектированных избыточных свободных носителей не станет сравнимой с плотностью носителей, вызванных тепловым движением, выполняется закон Ома. Затем идет область квадратичной зависимости тока от напряжения, которая соответствует "полупроводниковому" режиму.

С увеличением уровня инжекции квадратичная зависимость переходит в кубическую, соответствующую "диэлектрическому" режиму.

Полагая, что в области двойной инжекции в "диэлектрическом" режиме справедливо основное соотношение (3) с

$$\alpha_3 = \frac{125}{18} e \cdot \epsilon_0 \mu_n \mu_p \tau$$

(ϵ —статическая диэлектрическая постоянная, τ —время жизни, ϵ_0 —диэлектрическая проницаемость вакуума), можно было оценить L —толщину высокоомной области.

При $\epsilon = 10$, $\mu_n = 100 \text{ см}^2/\text{в}\cdot\text{сек}$, $\mu_p = 30 \text{ см}^2/\text{в}\cdot\text{сек}$, $\tau = 10^{-9} \text{ сек}$, $I = 3 \cdot 10^{-1} \text{ а/см}^2$, $L = 70 \mu$. Это значение L , вероятно, является нижним

пределом, так как оценки τ для гомогенных кристаллов дают высокие значения.

Такое относительно большое значение толщины высокоомной области свидетельствует в пользу применимости теории.

Появление участка отрицательного сопротивления связано с преодолением "рекомбинационного барьера" для одного из носителей тока. Наличие глубоких рекомбинационных центров и уровней прилипания было установлено в ряде работ, в частности, при исследовании стационарной проводимости и ее кинетики [3]. Трудность обнаружения фотомагнитного эффекта в значительной степени может быть связана с эффективным захватом одного из неравновесных носителей (например, электронов при $\sigma_n \gg \sigma_p$).

С увеличением уровня инжекции центры захвата заполняются электронами и становятся неэффективными, время жизни электронов и электронная составляющая тока увеличиваются, в результате тот же полный ток может идти при меньшем напряжении, что приводит к отрицательному сопротивлению. С понижением температуры до 80°K плотность и заполнение глубоких рекомбинационных центров не меняются, поэтому участок отрицательного сопротивления проявляется почти при той же плотности тока, что и при комнатной температуре.

Вольтамперные характеристики другой группы диодов состоят из семи участков (рис. 2). Появление этих участков мы объясняем следующим образом.

По мере возрастания уровня инжекции электронный стационарный уровень Ферми перемещается вверх (а дырочный вниз) в запрещенной зоне по направлению к зоне проводимости. Значительное влияние на вольтамперную характеристику оказывает пересечение уровня ловушек стационарным уровнем Ферми, что выражается в заполнении ряда ловушек.

По мере продвижения уровней Ферми к краям запрещенной зоны на начальных этапах инжекции ловушки постепенно заполняются, что соответствует квадратичной зависимости тока от напряжения. Когда же уровень Ферми проходит через уровень ловушек, ловушки становятся заполнены, что соответствует резкому возрастанию тока при неизменном напряжении. Очень крутая (почти вертикальная) часть характеристики соответствует так называемому закону предельного заполнения ловушек. На кривых рис. 2 до участка предельного заполнения ловушек квадратичная зависимость тока переходит в кубическую. Это объясняется тем, что при достаточно высоком напряжении решение, основанное на нейтральности диэлектрика, становится неправильным вследствие той роли, которую играет объемный заряд, и участок квадратичной зависимости начинает переходить в участок кубической зависимости. Далее, после предельного заполнения ловушек вновь наблюдаются участки квадратичной и кубической зависимости тока от напряжения, соответствующие полупроводниковому и диэлектрическому режимам, переходящие затем в участок отрицательного сопротивления.

ЛИТЕРАТУРА

1. Lampert M. A. Progress in semiconductors, 1965.
2. Стafeев B. I. ФТТ, т. 3, вып. 9, 2513, 1961.
3. Abdullaev G. B., Alieva M. Kh., Belepkuy G. L., Mamedova A. Z. Phys. stat. sol., 57, 371, 1970.

М. Х. Элијева, Р. Ф. Мәммәдова, А. З. Мәммәдова
p-GaSe кристалы әсасында алымыш диодларда
икигат инжексија

ХУЛАСӘ

80—300° K температур интервалында GaSe диодларының дүз истигамәтдә волтампер характеристикасы (ВАХ) өјрәнилмишdir. Бир груп диодларда ВАХ үч hиссәдән (хәтти, квадратик вә кубик) избәртdir. Дикәр диодларда чәрәjan шиддәтинин кәркинилкдән асылылығындақы $I \sim U^3$ hиссәсіндән соңра кәркинилүүн мүәјжән бир U_m гијметинде чәрәjan шиддәти кәсқин артыр. Кәркинилүүн соңракы артымы илә jени квадратик вә кубик асылылыглар вә нәһајет, мәнфи мугавимәт мушаһида олунур.

Бу гануеајғуилуглар GaSe диодларында икигат инжексија вә јүкдашылычыларын јашама мүддәтинин инжексија сәвијјәсіндән асылы олараг дәжишмәси илә изаһ олунур.

M. Kh. Alieva, R. F. Mamedova, A. Z. Mamedova

Double injection into p-GaSe-based fuseb diodes

SUMMARY

An investigation has been made of volt-ampere characteristics for p-GaSe single crystal-based fused diodes in forward direction between 80 and 300°K.

The volt-ampere characteristics of one of the investigation diodes have been found to consist of three parts. In the case of comparatively low voltages current linearly changes with voltage. Further voltage increase cause it to pass to the square dependence and then—to the cubic one. The volt-ampere characteristics of to the other group of diodes have been to increase rapidly (after the cubic dependence) at a certain invariable voltage value U_m . It is observed to pass again to the square dependence and than—to the cubic one, and there appears negative resistance region.

The observed phenomenon may be due to the double injection and change of the carrier lifetime with injection level.

АЗЭРБАЙЧАН ССР ЕЛМЛӘР АКАДЕМИЈАСЫНЫН МӘРҮЗӘЛӘРИ

ДОКЛАДЫ АКАДЕМИИ НАУК АЗЕРБАЙДЖАНСКОЙ ССР

ТОМ XXX ЧИЛД

№ 6

1974

УДК 621. 382. 2

А. Л. ШАБАЛОВ, А. Г. АБДУЛЛАЕВ |

ФИЗИКА

ПОЛЯРНОЗАВИСИМЫЙ ЭФФЕКТ ПЕРЕКЛЮЧЕНИЯ И ПАМЯТИ
В ДИОДНЫХ СТРУКТУРАХ НА ОСНОВЕ
МОНОКРИСТАЛЛИЧЕСКОГО КРЕМНИЯ

(Представлено член.-корр. АН СССР Г. Б. Абдуллаевым)

В последнее время уделяется большое внимание исследованию и поиску полярнов зависимых эффектов переключения и памяти в твердотельных объектах. Эти исследования стимулированы сообщениями о возможности использования данных явлений для создания быстродействующих переключателей и элементов памяти.

Нами уже сообщалось о наблюдении полярнов зависимых эффектов переключения и памяти в диодных структурах на основе халькогенидов меди [1—2]. Подобные эффекты наблюдались также рядом авторов в тонких пленках [3—6], монокристаллических точечных диодах [8—9], $p-n$ -переходах [9] и гетеропереходах [10—11]. Интерпретация механизма этих явлений затруднительна, так как сам эффект зависит от многочисленных факторов, в частности, от свойств материала, технологии его изготовления, режима формовки и геометрии образца.

В этой связи представляется целесообразным исследовать данные эффекты в полупроводниковых материалах, электрические свойства которых хорошо изучены. К числу таких полупроводниковых материалов можно отнести кремний, который согласно [12—13] проявляет эффекты полярнов зависимого переключения и памяти. Однако экспериментальные результаты, приведенные в вышеупомянутых работах, противоречивы и не позволяют однозначно судить о механизме этих явлений.

В настоящей работе приводятся результаты исследования эффектов переключения и памяти в диодных структурах на основе монокристаллического кремния. В качестве базового материала для диодных структур использовались стандартные полированые кремниевые пластины марки КДБ и КЭФ с удельным сопротивлением 10^{-2} ом·см. С поверхностью пластины осуществлялся прижимной контакт посредством различных электродов: Zn, Fe, W, Au, Al, Pt и Cu. Большинство элементов было проведено с контактной иглой из золота.

Предварительные исследования показали, что точечный контакт кремния с вышеуказанными электродами обладает вольтамперной характеристикой с полярнов зависимым эффектом переключения и памяти лишь после интенсивной электроформовки, последняя сопро-

вождалась искрением и значительным разогревом образца в месте контакта, при этом микроскопическое исследование приконтактной области выявило наличие структурных изменений, вызванных взаимодействием материала электрода с полупроводником. Необходимо отметить, что в отличие от диодных структур на основе халькогенидов меди [1–3], формовка исследуемых образцов могла осуществляться при любой полярности напряжения. В результате электроформовки сопротивление контакта значительно увеличивалось и структура проявляла полярнозависимый эффект переключения и памяти.

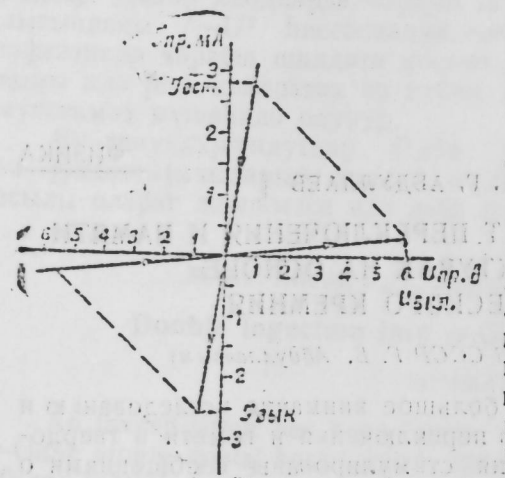


Рис. 1. Статическая вольтамперная характеристика структуры Au-Si

На рис. 1 приведена типичная вольтамперная характеристика структуры Au-Si, отнятая в режиме постоянного тока. При приложении к точечному контакту смещения, равного напряжению включения $U_{\text{вкл}}$, сопротивление структуры уменьшается и ток скачком увеличивается до $J_{\text{ост}}$, определяемого нагрузочным сопротивлением внешней цепи. Обратное переключение осуществляется в противоположной полярности напряжения при достижении тока выключения $J_{\text{вык}}$. Структура сохраняет как высокоомное, так и низкоомное состояние в отсутствии внешнего смещения. Интересным оказалось свойство структуры изменять величину тока выключения

$J_{\text{вык}}$ в зависимости от максимального тока $J_{\text{ост}}$. В пределах разброса пороговых параметров, который составлял 30–50%, отмечалась линейная зависимость $J_{\text{вык}}$ от $J_{\text{ост}}$.

Вольтамперные характеристики с полярнозависимым эффектом переключения и памяти наблюдались на кремнии как p -, так и n -типа и практически не зависели от материала электрода, однако наилучшая стабильность и воспроизводимость вольтамперных характеристик отмечалась в контакте с золотым электродом. В процессе исследования было замечено, что полярность напряжения, при которой осуществляется переход из низкоомного состояния в высокоомное, или наоборот, не постоянна и зависит от полярности формующего напряжения. Так, например, если формовку проводить в прямом направлении (положительный потенциал на верхнем электроде), то в том же направлении реализуется переключение из низкоомного состояния в высокоомное.

Помимо статических характеристик, нами также исследовались динамические вольтамперные характеристики. Динамические характеристики снимались при помощи генератора синусоидального напряжения ГЗ-34 и осциллографа С1-30. Последовательно с генератором и исследуемым объектом включалось многопредельное нагрузочное сопротивление.

На рис. 2 приведены разновидности динамических вольтамперных характеристик структуры Au-Si, отнятые при частоте 50 Гц. Свежие образцы, не подвергшиеся предварительной электроформовке, обладали унипольярной проводимостью. После электроформовки в зависимости от величины нагрузочного сопротивления наблюдались вольтамперные характеристики различного типа.

При больших значениях нагрузочного сопротивления ($R_h > 100 \text{ к}\Omega$) имели место симметричные вольтамперные характеристики

с участками отрицательного сопротивления S-типа (рис. 2а). Такие характеристики имели хорошую воспроизводимость и могли наблюдаться продолжительное время без изменения своего вида. Для ряда структур S-образные участки имели многоступенчатый характер и

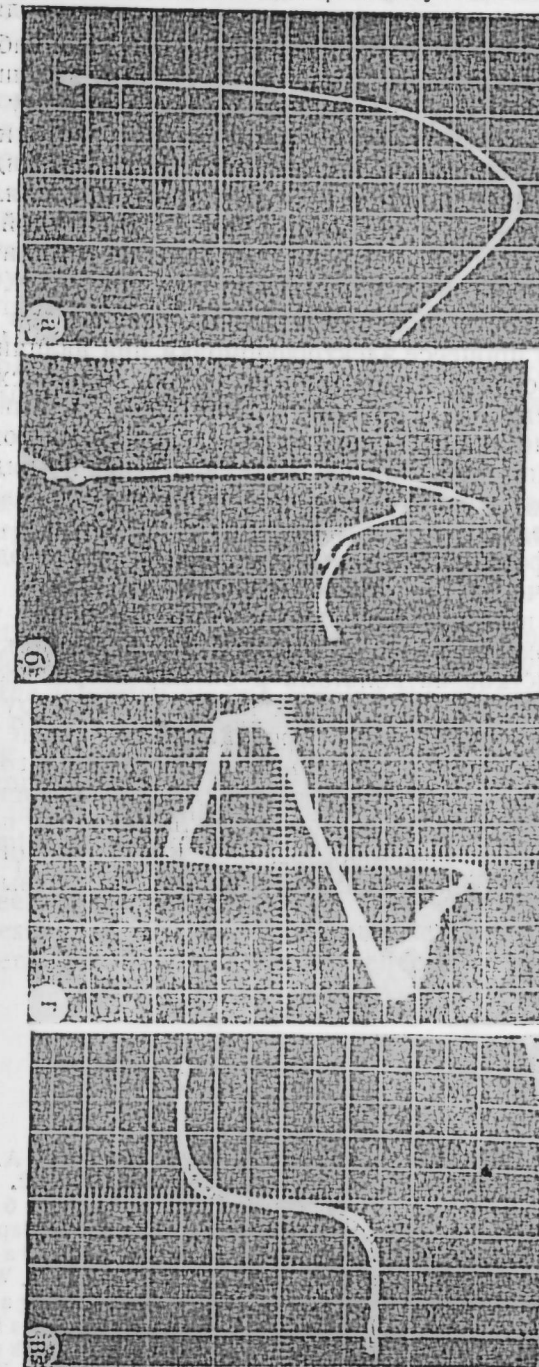


Рис. 2. Динамические вольтамперные характеристики структуры (а, б, в, г.) Au-Si, отнятые при различных величинах нагрузочного сопротивления

сопровождались генерацией ксклебаний с частотой порядка сотен килогерц (рис. 2б). При величине смещения 25–30 в наблюдалась сину-

сональные колебания малой амплитуды. Увеличение смещения приводило к появлению релаксационных колебаний с амплитудой 5 в, близких по форме к прямоугольным. Частота колебаний не зависела от величины смещения и определялась, по-видимому, собственной емкостью структуры и индуктивностью токоподводящих проводов.

При малых величинах сопротивления нагрузки наблюдалась характеристики стабилитрона типа (рис. 2в). При дальнейшем уменьшении нагрузки ($R_L < 300 \Omega$) приводило к необратимому пробою, после которого имели место вольтамперные характеристики с поляризованным эффектом переключения и памяти (рис. 2г). Вид вольтамперной характеристики и ее пороговые параметры определялись в основном величиной нагрузочного сопротивления и амплитудой внешнего смещения. При постоянной нагрузке увеличение амплитуды смещения вызывало рост пороговых параметров.

Вся совокупность экспериментальных результатов позволяет предположить, что в процессе электроформовки при наличии значительного локального разогрева и электрического поля происходит диффузия примесей из электрода в приконтактную область кремния, вызывающая частичную компенсацию основных носителей тока. Появление симметричной вольтамперной характеристики S-типа, по-видимому, связано с тепловыми процессами в отформованном высокомоментном приконтактном слое, приводящими к шнурованию тока.

Так как отформованный приэлектродный слой неоднороден, то ток, протекающий через участки с меньшим удельным сопротивлением, разогревает их, вызывая уменьшение сопротивления, что приводит к локализации тока в канале с высокой проводимостью и появлению S-образных участков на вольтамперной характеристике. При ограничении максимального тока, протекающего через структуру, большим нагрузочным сопротивлением проводящий канал не разрушается и тепловой пробой обратим. Уменьшение нагрузочного сопротивления, приводит к необратимому пробою структуры и появлению вольтамперной характеристики с эффектом переключения и памяти, которая, по-видимому, связана с образованием и разрушением проводящих аналогов в отформованной приэлектродной пленке с высоким удельным сопротивлением.

ЛИТЕРАТУРА

1. Абдуллаев Г. Б., Алиярова З. А., Асадов Г. А., Заманова Э. Н. Кулев А. З., Шабалов А. Л. Авт. свид. № 244509, 1969. 2. Абдуллаев Г. Б., Алиярова З. А., Асадов Г. А., Заманова Э. Н., Шабалов А. Л. УФН, 99, 3, 1969. 3. Matsushita T., Yamagami T., Okuda M. Jap. J. Appl. Phys. 11, № 11, 1972, 1657—1662. 4. Matsushita T., Yamagami T., Yamamoto K., Okuda M. Sol. State Comm., 11, 1972, 1413—1415. 5. Hinchliffe T. W., Hiat W. R. Sol. State elect., 13, 1970, 1032—1047. 6. Hasegawa H., Nakagawa S., Takagi K. Sol. State Comm., 12, № 1, 1973, 132—134. 7. Kikuchi N., Saito M., Okushi H. Kikuchi, Sol. State Comm. 9, 1971, 705—707. 8. Matsuda A., Okushi H., Saito M., Rev. Zett., 25, № 10, 1970, 653. 10. Novel H., Urgeil J. J. Appl. Phys., 42, № 12, 1971, 1033. 11. Okushi H., Matasuda A. Sol. State Comm. 11, 1972, 283—286. 12. Broom F. Appl. Phys. Zett., 21, № 11, 1972, 561—553. 13. Matasuda A., Okushi H., Saito M. Sol. State Comm., 11, 1972, 227—231.

Институт физики

Поступило 10. X 1973 г.

Журнал «А. Л. Шабалов, А. Г. Абдуллаев»

Силициум монокристаллы эсасында дүзәлдиштән диодларда дәжиширичи вә јаддашын полјарлыгдан асылы олмасы еффекти

ХУЛАСЭ

Ашағыомлу P-вә N-тиpleri силициумун мүхтәлиф металлик елек тродлар илә контакты заманы электрик хассасы өјрәнүлмешdir. Мәлүм олмуштур ки, Si эсасында дүзәлдиштән диод гурулушу интеграл сив электроформовкадан соңра дәжиширичи ашырым вә јаддаш хассасинә малик олмуштур. Контакт саһәсинин микроскопик тәдгиги көстәрмишdir ки, электроформовкадан соңра электродун материалы илә јарымкечиричи материалыны арасында яранан гарышылыглы әлагә нәтижәсіндә гурулуш дәжишмәси орташа чыхар. Статик вә динамик вольтампер характеристикасы чыхарылыш, жүк мүгавиметиндән асылы олараган көв вольтампер характеристикасы мүшәнидә слуемушшүр: симметрик S-вәры мәнфи мүгавиметли һиссәдән вә гејри-симметрик полјарлыгдан асылы ашырым вә јаддаш еффекти характеристикадан ибарәт һиссә.

A. L. Shabalov, A. G. Abdullaev

Polar-dependent switching and memory effect in the diode structures based on silicon single crystal

SUMMARY

An investigation has been made of the electrical properties of the P- and N-type low-ohmic silicon in contact with various metallic electrodes. After the intensive electric forming the diode structures based on Si have been observed to feature the current-voltage characteristics with the switching and memory effects. The microscopic study of the region near the contact allowed to observe the structural changes in the basic material in the contact site after the electric forming. Both the static and dynamic current-voltage characteristics have been taken. Depending on the load resistance the current-voltage characteristics of two types have been observed: symmetrical ones with S-shaped regions of the negative resistance and the nonsymmetrical characteristics with the polar-dependent switching and memory effects.

Мыс. Аз. А. Листенгартен. Исследование переходных процессов частотно-регулируемого асинхронного электродвигателя с коммутатором. В работе исследованы переходные процессы в асинхронном электродвигателе с коммутатором при изменении частоты вращения. Показано, что при изменении частоты вращения в пределах от нуля до синхронной частоты вращения, а также при изменении напряжения на зажимах двигателя, амплитуда и фаза токов в двигателе не изменяются. Установлено, что при изменении частоты вращения в пределах от нуля до синхронной частоты вращения, а также при изменении напряжения на зажимах двигателя, амплитуда и фаза токов в двигателе не изменяются.

УДК 621. 313. 333

ЭНЕРГЕТИКА

Б. А. ЛИСТЕНГАРТЕН

К ВОПРОСУ ИССЛЕДОВАНИЯ ПЕРЕХОДНЫХ ПРОЦЕССОВ ЧАСТОТНО-РЕГУЛИРУЕМОГО АСИНХРОННОГО ЭЛЕКТРОДВИГАТЕЛЯ

(Представлено академиком АН Азербайджанской ССР А. А. Эфендизаде)

В связи с развитием преобразовательной техники большое внимание в последнее время уделяется вопросам исследования переходных процессов частотно-регулируемого асинхронного электропривода.

Широкое распространение получают преобразователи частоты с автономными источниками напряжения с ограниченными коммутирующими конденсаторами. Выходное напряжение указанных преобразователей имеет несинусоидальную форму, в связи с чем актуальным становится вопрос исследования статических и динамических характеристик асинхронного двигателя при учете характера изменения напряжения источника питания.

При цифровом моделировании асинхронного двигателя в динамических режимах дифференциальные уравнения записываются в осях α и β , врачающихся с переменной угловой скоростью [1, 2].

При учете параметров фильтра преобразователя необходимо совместно решить систему дифференциальных уравнений асинхронного двигателя с уравнением электрического равновесия для цепи фильтра.

$$U_B = (R + p x_L) J_B + U_d, \quad (1)$$

$$U_d = \frac{x_c}{p} (J_B - J_d),$$

где U_B — напряжение регулируемого выпрямителя.

Связь на стороне постоянного и переменного тока определяется из условия баланса мощности

$$U_d J_d = \frac{3}{2} (U_a i_{1\alpha} + U_\beta i_{1\beta}). \quad (2)$$

При переходе к эквивалентной двухфазной машине высшими гармониками в пространственной МДС пренебрегаем. Напряжения U_a и U_β , отнесенные к неподвижным осям, определяются мгновен-

ными значениями фазных переменных и выражаются следующими решетчатыми функциями:

$$U_a = \frac{2}{3} U_d \cos \frac{\pi}{3} n, \quad U_\beta = \frac{2}{3} U_d \sin \frac{\pi}{3} n. \quad (3)$$

Переход к врачающимся осям осуществляется на основании следующих соотношений:

$$U_a = U_d \cos \varphi + U_\beta \sin \varphi, \quad (4)$$

$$U_\beta = U_\beta \cos \varphi - U_d \sin \varphi,$$

где $\varphi = \omega_0 \tau$ — угол между неподвижными и врачающимися осями.

На основании соотношений (2), (4), (5) определяем:

$$J_d = i_{1\alpha} \cos \left(\frac{\pi}{3} n - \varphi \right) + i_{1\beta} \sin \left(\frac{\pi}{3} n - \varphi \right). \quad (5)$$

Для расчетов электромеханических переходных процессов на ЦВМ дифференциальные уравнения системы „Преобразователь частоты—асинхронный двигатель“ были приведены к следующему виду:

$$\frac{dJ_B}{d\tau} = \frac{U_B}{x_L} - \frac{U_d}{x_L} - \frac{R}{x_L} J_B,$$

$$\frac{dU_d}{d\tau} = x_c (J_B - J_d),$$

$$\frac{di_{1\alpha}}{d\tau} = \frac{1}{\sigma x_1 x_2} (U_a x_2 - r_1 x_2 i_{1\alpha} + r_2 x_m i_{2\alpha} + \sigma x_1 x_2 \omega i_{1\beta} +$$

$$+ x_m^2 \frac{\omega}{\omega_0} i_{1\beta} + x_2 x_m \frac{\omega}{\omega_0} i_{2\beta}),$$

$$\frac{di_{1\beta}}{d\tau} = \frac{1}{\sigma x_1 x_2} (U_\beta x_2 - r_1 x_2 i_{1\beta} + r_2 x_m i_{2\beta} - \sigma x_1 x_2 \omega i_{1\alpha} -$$

$$- x_m^2 \frac{\omega}{\omega_0} i_{1\alpha} - x_2 x_m \frac{\omega}{\omega_0} i_{2\alpha}),$$

$$\frac{di_{2\alpha}}{d\tau} = \frac{1}{\sigma x_1 x_2} (-U_a x_m - r_2 x_1 i_{2\alpha} + r_1 x_m i_{1\alpha} + \sigma x_1 x_2 \omega i_{2\beta} -$$

$$- x_1 x_m \frac{\omega}{\omega_0} i_{1\beta} - x_1 x_2 \frac{\omega}{\omega_0} i_{2\beta}),$$

$$\frac{di_{2\beta}}{d\tau} = \frac{1}{\sigma x_1 x_2} (-U_\beta x_m - r_2 x_1 i_{2\beta} + r_1 x_m i_{1\beta} - \sigma x_1 x_2 \omega i_{2\alpha} +$$

$$+ x_1 x_m \frac{\omega}{\omega_0} i_{1\alpha} + x_1 x_2 \frac{\omega}{\omega_0} i_{2\alpha}),$$

$$\frac{d\omega}{d\tau} = \frac{1}{2H} [x_m (i_{1\beta} i_{2\alpha} - i_{1\alpha} i_{2\beta}) - M_c],$$

где ω_0 — синхронная скорость эквивалентного двухполюсного двигателя при $\nu = 1$; $\sigma = 1 - \frac{x_m^2}{x_1 x_2}$, τ — время в о. е., параметры двигателя представлены в относительных единицах.

Напряжение U_B изменяется в соответствии с заданным законом частотного регулирования.

Для решения системы (6) был применен метод Рунге—Кутта. Период повторения T изменялся в соответствии с законом изменения частоты, шаг интегрирования принимался $h = T/k$, где k — четное число.

Метод представления напряжения в виде решетчатых функций исключает операцию разложения несинусоидального напряжения в ряд Фурье, что облегчает и уменьшает погрешность при численных расчетах.

Изложенная методика позволяет решать задачи, связанные с исследованиями переходных процессов асинхронного двигателя при цифровом моделировании системы тиристорного электропривода с учетом формы кривой выходного напряжения преобразователя при различных законах частоты.

ЛИТЕРАТУРА

1. Lawrenson P. J., Stephenson J. M. Note on Induction-machine performance with a variable frequency supply. Proc. I. E. E., 1966, № 4, 2. Эфендиев А. А., Листенгартен Б. А., Багиров С. М. Анализ переходных процессов асинхронного электродвигателя при питании его от статического преобразователя частоты. „Изв. АН СССР, энергетика и транспорт“, 1969, № 5.

Институт энергетики

Поступило 23. IV 1973

Б. А. Листенгартен

Тезлик васитәсилә тәнзим едилән асинхрон мүһәррикин кечид просесләринин тәдгиги һагында

ХУЛАСӘ

Автоном кәркинилек инверторлу тезлик чевиричиси һазырда кениш язылмышдыр. Белә статик чевиричинин чыхыш кәркинилиji гејрисинусоидал шәкилдә алыныр. Нәрәкәт етмәјән охлар системинде кәркинилекләр чәпәр функсијалары васитәсилә белә ифадә едилir:

$$U_a = \frac{2}{3} U_d \cos \frac{\pi}{3} n; \quad U_b = \frac{2}{3} U_d \sin \frac{\pi}{3} n. \quad (1)$$

Бу функсијаларын тәкarrланма периоду тәнзимләнән тезлијини гијметиндән асылыдыр. Тезлијә мұвағиғ фырланан охлар системинде ашағыдақылар алыныр:

$$U_a = U_d \cos \varphi + U_b \sin \varphi; \quad U_b = U_d \cos \varphi - U_a \sin \varphi. \quad (2)$$

Асинхрон мүһәррикин електромеханики кечид просесини машинада несабламаг учун чевиричинин филтринин параметрләри вә чыхыш кәркинилиjинин шәкли нәзәрә алынышдыр. Бу шәртләр эсасында elektrik интигальнын диференциал тәиликләр системи гурулмушудур.

B. A. Listengarten

Some observations of transients calculation of variable-frequency induction motor drive SUMMARY

The results refer to motors fed by static inverters with intermediate D. C. supply. The output voltage of these inverters may be represented by staircase waveform curves.

To carry out calculations with the use of a digital computer the equations for the motor were recorded in the system of variable-speed axes.

АЗӘРБАЙЧАН ССР ЕЛМЛӘР АКАДЕМИЈАСЫНЫН МӘРҮЗӘЛӘРИ

ДОКЛАДЫ АКАДЕМИИ НАУК АЗЕРБАЙДЖАНСКОЙ ССР

ТОМ XXX ЧИЛД

№ 6

1974

УДК 541. 34

ХИМИЯ

Акад. Г. Б. ШАХТАХТИНСКИЙ, А. И. ТАЛЫБЛЫ, А. И. ГУЛИЕВ,
Э. Т. АЗИЗОВ, ДР. А. ВЕЛИЕВ

ИССЛЕДОВАНИЕ ФОРМАЛЬНОЙ КИНЕТИКИ ОБЖИГА FeS ФИЛИЗЧАЙСКОГО ПИРИТНОГО КОНЦЕНТРАТА В КИПЯЩЕМ СЛОЕ

Пятилетним планом развития народного хозяйства СССР на 1966—1970 гг., Директивы по которому принятые на XXIII съезде КПСС, было предусмотрено приступить в Азербайджанской ССР, располагающей богатейшей сырьевой базой, к строительству Филизчайского полиметаллического комбината. Строительство комбината до сих пор не начато ввиду отсутствия конкретной технологии, разработанной применительно к филизчайским полиметаллическим рудам.

Работниками ЦНИГРИ АН СССР и его филиалом в Азербайджанской ССР изучался процесс флотации руды вышеуказанного месторождения и получены соответствующие концентраты, такие как пиритный, свинцовый, цинковый. Полученный пиритный концентрат является самым большим и побочным продуктом процесса флотации, в связи с чем вопрос утилизации этого концентрата занимает одно из первых мест. Для утилизации пиритного концентрата существуют различные методы переработки. Самым основным и распространенным является обжиг с получением сернистого ангидрида, который в условиях Филизчая намечено использовать не для производства серной кислоты, а путем восстановления превращать в элементарную серу.

Для осуществления процесса обжига в кипящем слое необходимо знать ряд параметров, которые учитываются при проектировании печи.

Целью настоящего исследования являлось изучение кинетики обжига флотационного пиритного концентрата филизчайских руд.

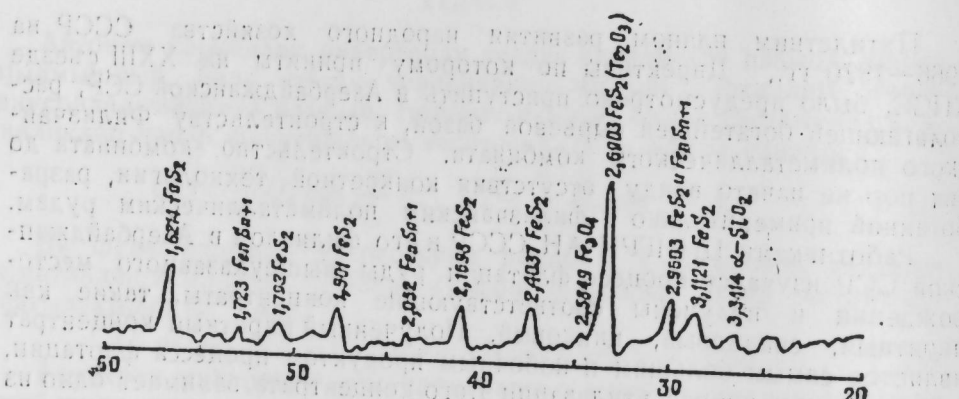
Полный химический анализ филизчайского пиритного концентрата показал результаты, приведенные в табл. 1. Не исключено, что наличие в концентрате различных примесей, которые, как известно, находятся в различных процентных соотношениях и зависят как от условий флотации, так и от самого месторождения, могут положительно или отрицательно влиять на скорость выгорания сульфидной серы из исследуемого пиритного концентрата.

Помимо найденных компонентов, которые были определены общим химическим анализом средней пробы полученного концентрата,

Таблица I

Состав, % № п.п.	Влага	SiO ₂	CaO	MgO	K ₂ O + Na ₂ O	Fe	S _{общ.}	S ²⁻	S ⁶⁺	Pb	Cu	Zn	As
1	0,62	1,12	0,55	0,39	—	44,73	46,01	0,16	0,12	0,12	0,18	0,21	0,11
2	0,61	1,17	0,57	0,39	—	44,66	45,84	0,17	0,14	0,12	0,14	0,24	0,13
3	0,62	1,18	0,56	0,37	Следы	44,71	45,89	0,13	0,16	0,13	0,16	0,23	0,14
4	0,62	1,21	0,59	0,39	—	44,69	45,34	0,15	0,15	0,14	0,15	0,25	0,14

результаты спектрального анализа показали наличие в пробе (в %) до: 0,01—Sb; 0,01—Mn; 0,001—Ni... Также был приведен (см. рис. 1) рентгенофазовый анализ исследуемой пробы, который представляет несомненный интерес тем, что показывает, в какой химической форме соединений находятся вышенайденные (основные) компоненты.



серы от времени, при различных температурах, представлены в виде кривых на рис. 3.

Характер кривых рис. 3 свидетельствует о том, что степень выгорания серы с повышением температуры резко возрастает. Так, за 150(60) сек при температуре 460°C выгорает всего 2% серы, а при

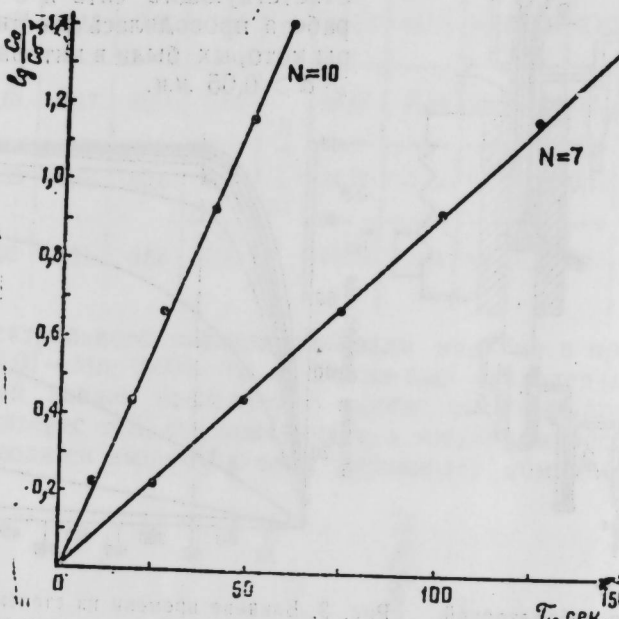


Рис. 4. Графическая зависимость логарифма отношения концентраций сульфидной серы от времени

820°C—93%. Скорость воздушного потока, подаваемого в реактор для осуществления процесса кипения, была равна $N = 7(900 \div 1140 \text{ мл/мин})$, так как при более высоких N кривые температур 700—750—820°C сливаются в единую, создавая тем самым впечатление, что степень выгорания серы при указанных температурах одинакова. Развертка полученных кривых (как будет видно в дальнейшем) необходима для определения энергии активации процесса горения односернистого железа. Для связывания полученных практических результатов с теорией, т. е. с определением константы скорости реакции, надо установить, каков порядок реакции горения полученного односернистого железа.

Как известно, одним из методов определения порядка реакции является графический, который заключается в построении графика, выраждающего зависимость различных функций концентрации от времени и определений, для которой из них наблюдается прямолинейная зависимость [6].

В результате обработки полученных величин рис. 3 был построен график зависимости $\lg \frac{C_0}{C_0 - x}$ от времени для температуры 700°C (то же самое наблюдается и для других температур). При этом наглядно видна прямолинейная зависимость, из которой можно предположить, что по скорости выгорания сульфидной серы процесс обжига односернистого железа является кажущейся реакцией первого порядка. Следовательно, для определения константы скорости реакции вычислением:

$$K = \frac{2,303}{\tau} \lg \frac{C_0}{C_0 - x}. \quad (1)$$

Если на рис. 3 с точки на оси абсцисс, соответствующей времени 150 сек ($N = 7$), восстановить перпендикуляр, то ординаты точек пересечения этой прямой с кривыми дают степень выгорания серы при соответствующих температурах за заданное время (τ). Поскольку соотношение концентраций в уравнении (1) можно заменить на соотношение любых величин, пропорциональных концентрациям реагирующих веществ, подставив в уравнение (1) значения величин времени, количество серы (%) до обжига и выгоревшей к моменту времени τ , получаются данные, которые сведены в табл. 2.

Таблица 2

$T^{\circ}\text{K}$	733	753	773	803	873	913	933	973	1023	1093
$\frac{1}{T} \cdot 10^3$	1,36	1,33	1,29	1,24	1,14	1,095	1,07	1,03	0,97	0,91
$K \cdot 10^{-3}$	0,13	0,32	1,20	5,20	11,06	15,35	18,76	21,46	24,60	26,04
$\lg K$	4,114	4,505	3,075	3,716	2,044	2,186	2,273	2,332	2,391	2,416

По величинам табл. 2 построена, в аррениусовых координатах, графическая зависимость логарифма константы скорости обжига от обратной температуры. Отсюда следует (см. рис. 5), что точки пересечения полученных прямых позволяют установить температурные

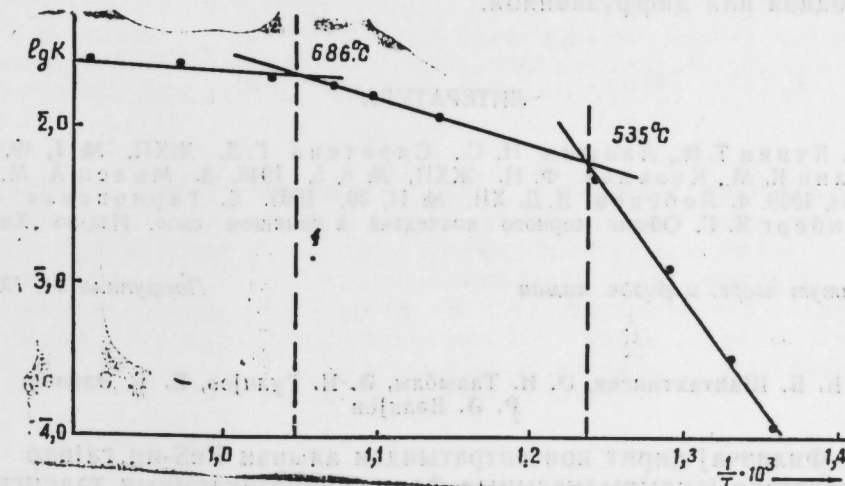


Рис. 5. Зависимость K от T в аррениусовых координатах

границы обжига каждой из областей, т. е. до температуры $535 \pm 5^{\circ}\text{C}$ (на погрешность опыта) односернистое железо горит в кинетической области. В интервале температур $535—686 \pm 5^{\circ}\text{C}$ процесс горения уже протекает в переходной области, а выше $686 \pm 5^{\circ}\text{C}$ переходит в диффузионную область.

Из этих кривых (рис. 5) при помощи уравнения (2) была вычислена энергия активации для соответствующих областей:

$$E = 4,575 \frac{T_2 \cdot T_1}{T_2 - T_1} \cdot \lg \frac{K_2}{K_1}. \quad (2)$$

При этом оказалось, что в кинетической области обжига энергия активации составляет 60,55 ккал/гмоль, в переходной—14,99, в диффузионной—3,2 ккал/гмоль.

На основании полученных величин энергий активации и данных табл. 2 определен предэкспоненциальный множитель, вх одящий в уравнение 3, для

соответствующих температурных интервалов, в связи с чем зависимость константы скорости процесса горения односернистого железа от температуры выражается следующими уравнениями:

До 535°C	$K = 3,29 \cdot 10^{14} \cdot e^{-\frac{60554}{RT}}$
В интервале 535—686°C	$K = 1,54 \cdot 10^2 \cdot e^{-\frac{14999}{RT}}$
Выше 686°C	$K = 2,83 \cdot 10^{-1} \cdot e^{-\frac{3,06}{RT}}$

Выводы

На основании проведенного исследования по обжигу односернистого железа, полученного из филизайского пиритного концентрата, установлено следующее:

1. По сульфидной сере процесс горения односернистого железа является кажущейся реакцией первого порядка.
2. Односернистое железо в зависимости от температурных условий может гореть в различных областях, а именно: кинетической, переходной или диффузионной.

ЛИТЕРАТУРА

1. Кунин Т. И., Лапшин Н. С., Сироткин Г. Д. ЖХП, № 1, 49, 1940.
2. Малин К. М., Кельман Ф. Н. ЖХП, № 8, 5, 1948. 3. Малец А. М., XII, Коренберг Я. Г. Обжиг серного колчедана в кипящем слое. Изд-во „Химия“, 1964.

Институт неорг. и физич. химии

Поступило 24. IX 1973

Г. Б. Шахтахтински, Э. И. Талыбы, Э. И. Гулиев, Е. Т. Элизов,
Р. Э. Велиев

Филизай пирит концентратындан алышан FeS-ин гаинар
тэбэгэдэ яандырылмасынын формал кинетикасынын тэдгиги
ХУЛАСЭ

Мэглэдэ мүэллифлэр Филизай пирит концентратынын тэркибин-
дэки күкүрдүн бирини термик юлла айырдыгдан сонра алышан
дэмир 2-сульфиддэки күкүрдүн ячмасынын температурдан, верилэн һава-
нын сур'ети үзэв вэ вахтдан асыллыгыны тэдгиг етшишлэр.

Мүэллиен едилмишдир ки, дэмир 2-сульфиддэки күкүрдүн ячмасы би-
ринчи дэрэчэли реаксијалара анд олуна вэ температур шэрэантиндэн
бийлэр.

G. B. Shakhtakhinskij, A. I. Talybly, A. I. Guliev, E. T. Azizov, P. A. Velyev

Study of the formal calcination kinetics of FeS Fillizhai pyrite concentrate

SUMMARY

The results of the experiments on study of calcination kinetics of unsulphureous iron in conformity with Fillizhai pyrite concentrate are given in the article.

The influence of the temperature and air supply rate, i. e. fluidization number on the burning degree of sulphur sulphide was studied. It was established that according to the sulphur sulphide the combustion process of unsulphureous iron was the apparent reaction of first order and in dependence on temperature conditions the iron may burn in different regions: kinetic, intermediate or diffusional. The values coming into the Arrhenius equation are also determined and cited in the article.

УДК 547. 46: 541. 124. 2, *антибиотики и антигельминты в лечении паразитарных инвазий*

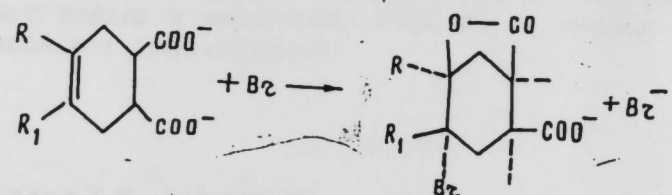
УДК 547.46: 541.124.2

ОРГАНИЧЕСКАЯ ХИМИЯ

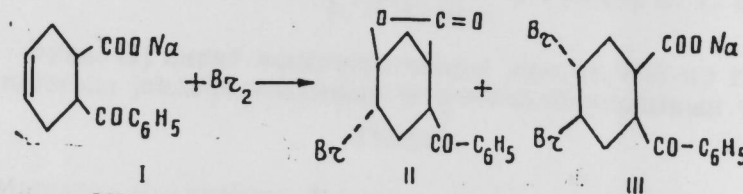
**Член-корр. М. М. МОВСУМЗАДЕ, А. С. КЯЗИМОВ, А. Л. ШАБАНОВ,
З. А. САФАРОВА**

СОПРЯЖЕННАЯ ЦИКЛИЗАЦИЯ ПРОИЗВОДНЫХ Δ^4 -ЦИКЛОГЕКСЕН- Π С-1,2-ДИКАРБОНОВЫХ КИСЛОТ

Ранее показано, что при действии брома на Δ^4 -циклогексен-*цис*-1,2-дикарбоновые кислоты и их соли образуются соответствующие γ -лактоны [1, 2].

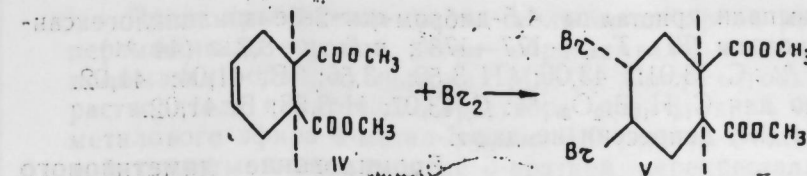


В циклизациях указанного типа, образование бром- γ -лактонов представляет собой внутримолекулярные сопряженные реакции бромирования, аналогичные подобным реакциям между олефинами и различными кислородсодержащими соединениями [3—5]. Так, например, при бромировании натриевой соли (I) Δ^4 -цис-2-бензоилциклогексен-1-карбоновой кислоты, наряду с образованием дигромида (III), образуется значительное количество бром- γ -лактона (II).



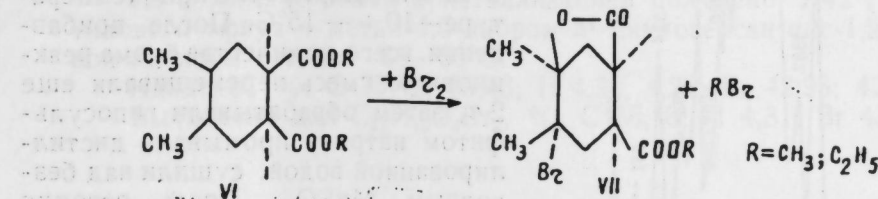
Изучение ИК-спектров полученных соединений показало наличие γ -лактонного цикла 1787 см^{-1} в соединении (II) и отсутствие такой полосы поглощения в соединении (III).

В связи с этим представляло интерес изучение галогенирования диалкиловых эфиров Δ^4 -циклогексен-*цис*-1,2-дикарбоновых кислот (IV). Оказалось, что при бромировании диалкиловых эфиров Δ^4 -циклогексен-*цис*-1,2-дикарбоновой кислоты (IV) почти количественно образуются соответствующие дибромиды



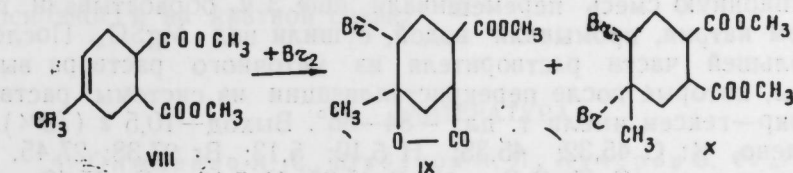
Исследование реакционной смеси методом ИКС показало отсутствие τ -лактона.

В отличие от (IV) при бромировании диалкиловых эфиров 4,5-диметил- Δ^4 -циклогексен-*cis*-1,2-дикарбоновых кислот (VI) с выходом $\sim 70\%$ образуются алкиловые эфиры 4,5-диметил-5-бром-2-4- γ -лактоциклогексан-1-карбоновой кислоты (VII)



В ИК-спектре соединений (VII) имеются интенсивные полосы поглощения в областях 1783 и 1717 cm^{-1} , характеризующие наличие γ -лактонного цикла и сложноэфирной группы соответственно (см. рисунок). Таким образом, полученные данные показали, что галогенциклизация сложных эфиров Δ^4 -циклогексен-*цис*-1,2-дикарбоновых кислот зависит от основности двойной связи. Как видно из приведенных примеров, основность двойной связи (IV) значительно превышает основность кратной связи (IV).

В отличие от (IV) и (VI) при бромировании диметилового эфира 4-метил- Δ^4 -циклогексен-*cis*-1,2-дикарбоновой кислоты (VIII) образуется смесь дигалогенида (X) и γ -лактона (IX):



ЭКСПЕРИМЕНТАЛЬНАЯ ЧАСТЬ

Бромирование Δ^4 -цис-2-бензоил-циклогексен-1-карбоновой кислоты. 11,5 г (0,05 моля) Δ^4 -цис-2-бензоил-циклогексен-карбоновой кислоты нейтрализуют 10%-ным раствором NaOH до нейтральной реакции по фенолфталеину. Затем при перемешивании по каплям при температуре $0 \div 10^\circ$ прибавляли 8 г (0,05 моля) брома в течение 1 ч. Реакционную смесь перемешивали еще 2 ч, поддерживая первоначальную температеру. Из реакционной смеси при стоянии в течение суток выпали кристаллы (II), которые после перекристаллизации из ацетона имели т. пл. 136° . Выход 6,15 г (39%).

Найдено, %: С 54,21; 54,17; Н 4,00; 4,15; Br 25,70; 25,80.
Вычислено для $C_{14}H_{13}BrO_3$, %: С 54,36, Н 4,20; Br 25,88.

По данным анализов и изучению ИК-спектра этот продукт соответствует *цис*-2-бензоил-*транс*-4-бром-, *цис*-5,1-γ-лакто-циклогексану. Из оставшегося раствора после подкисления концентрированной HCl

при стоянии выпали кристаллы 4,5-дигром-*цик*-2-бензоилциклогексанкарбоновой кислоты (III). $T_{pl.}$ — 177—178°; выход — 8,7 г (44%).

Найдено, %: С 43,01; 43,06; Н 3,50; 3,56; Br 41,04; 41,02.

Вычислено для $C_{14}H_{11}Br_2O_3$, %: С 43,07; Н 3,58; Br 41,02.

Кристаллы (III) депрессии не дают.

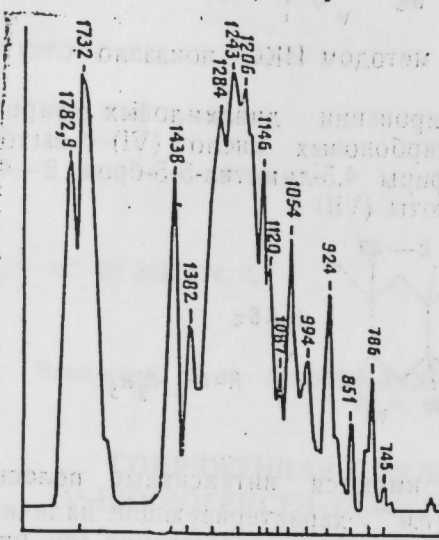


Рис. 3. ИК-спектр соединения (III).

Бромирование диметилового эфира Δ^4 -циклогексен-*цик*-1,2-дикарбоновой кислоты (IV). К 9,9 г (0,05 моля) диметилового эфира Δ^4 -циклогексен-1,2-дикарбоновой кислоты в 20 мл хлороформа прибавляли 8 г (0,05 моля) брома в 15 мл хлороформа при температуре —10÷—15°C. После прибавления всего количества брома реакционную смесь перемешивали еще 2 ч, затем обрабатывали гипосульфитом натрия, промывали дистиллированной водой, сушили над безводным $MgSO_4$. После отгонки большей части растворителя из раствора при стоянии выпали кристаллы (V), которые после 3-кратной перекристаллизации из эфира имели т. пл. —84°.

Выход — количественный.

Найдено, %: С 33,36; 33,50; Н 3,90; 3,89; Br 44,68; 44,70.

Вычислено для $C_{10}H_{14}O_4Br_2$, %: С 33,51; Н 3,91; Br 44,69.

Бромирование дигалкиловых эфиров 4,5-диметил- Δ^4 -циклогексен-*цик*-1,2-дикарбоновой кислоты. К 11,32 г (0,05 моля) диметилового эфира 4,5-диметил- Δ^4 -циклогексен-*цик*-1,2-дикарбоновой кислоты (VI) в 15 мл $CHCl_3$ при перемешивании по каплям прибавляли 8 г (0,05 моля) брома в 10 мл $CHCl_2$ при температуре —10÷—15°C. Затем реакционную смесь перемешивали еще 3 ч, обрабатывали гипосульфитом натрия, промывали водой, сушили над $MgSO_4$. После отгонки большей части растворителя из маточного раствора выпали кристаллы, которые после перекристаллизации из системы растворителей эфир-гексан имели т. пл. —84—86°. Выход — 10,5 г (72%).

Найдено, %: С 45,32; 45,35; Н 5,10; 5,13; Br 27,38; 27,45.

Вычислено для $C_{11}H_{15}O_4Br_2$, %: С 45,36; Н 5,15; Br 27,49.

γ —1783 см^{−1} (γ -лактонный цикл); 1735 см^{−1} — сложноэфириная группа. Полученное соединение соответствует метиловому эфиру 4,5-диметил-5-бром-4,2- γ -лакто-циклогексан-1-карбоновой кислоты (VII).

Аналогичным образом при бромировании дизетилового эфира 4,5-диметил- Δ^4 -цик-1,2-дикарбоновой кислоты были получены кристаллы с т. пл. —74°. Выход — 11,4 г (75%).

По данным элементарного анализа и ИК-спектра, этот продукт соответствует этиловому эфиру 4,5-диметил-5-бром-4,2- γ -лакто-циклогексан-1-карбоновой кислоты (VII).

Найдено, %: С 47,20; 47,23; Н 5,51; 5,56; Br 26,20; 26,21.

Вычислено для $C_{12}H_{17}O_4Br_2$, %: С 47,21; Н 5,57; Br 28,22.

γ —1791 и 1732 см^{−1}.

Бромирование диметилового эфира 4-метил- Δ^4 -циклогексен-*цик*-1,2-дикарбоновой кислоты (VIII). К 10,6 г (0,05 моля) (VIII) в 25 мл $CHCl_2$ при перемешивании и по каплям прибавляли 8 г (0,05 моля) брома в 15 мл $CHCl_3$ при температуре —10÷—15°C.

После прибавления всего количества брома реакционную смесь перемешивали еще 3 ч, затем обрабатывали гипольсуфитом натрия, промывали водой, сушили над $MgSO_4$. После отгонки большей части растворителя из маточного раствора при стоянии выпали кристаллы метилового эфира 4-метил-5-бром-4,2- γ -лакто-циклогексан-1-карбоновой кислоты, которые после 3-кратной перекристаллизации из системы растворителей эфир-гексан имели т. пл. —81—82°C.

Выход — 4,9 г (36%).

Найдено, %: С 43,32; 43,33; Н 4,61; 4,63; Br 28,79; 28,81.

Вычислено для $C_{10}H_{13}O_4Br_2$, %: С 43,32; Н 4,69; Br 28,88. γ —1790 см^{−1} (γ -лактонный цикл), 1737 см^{−1} (сложноэфириная группа).

Из остатка дробной кристаллизацией получено 7,42 (40%) диметилового эфира 4-метил-4,5-дигром- Δ^4 -циклогексан-*цик*-1,2-дикарбоновой кислоты с т. пл. —66—68°C.

Найдено, %: С 35,42; 35,43; Н 4,30; 4,29; Br 42,98; 42,99.

Вычислено для $C_{11}H_{16}O_4Br_2$, %: С 35,48; Н 4,31; Br 43,0.

Выводы

1. Установлено, что при бромировании диметилового эфира Δ^4 -циклогексен-*цик*-1,2-дикарбоновой кислоты единственным продуктом реакции является соответствующий дигромид.

2. Бромирование диметилового эфира 4-метил- Δ^4 -циклогексен-*цик*-1,2-дикарбоновой кислоты, наряду с образованием соответствующего дигромида, приводит к образованию бром- γ -лактона.

3. При бромировании дигалкиловых эфиров 4,5-диметил- Δ^4 -циклогексен-*цик*-1,2-дикарбоновой кислоты реакция протекает преимущественно с образованием соответственно бром- γ -лактонов, являющихся продуктом внутримолекулярной сопряженной циклизации.

4. Предполагается, что участие указанных диэфиров этого ряда в реакциях внутримолекулярных сопряженных циклизаций зависит от основности и их кратной связи.

ЛИТЕРАТУРА

1. Онищенко А. С., Шабанов А. Л., Кучеров В. Ф. «Изв. АН СССР», 5, 852, 1963. 2. Кучеров В. Ф., Шабанов А. Л., Онищенко А. С. «Изв. АН СССР», 4, 689, 1966. 3. Мовсумзаде М. М., Шабанов А. Л., Мовсумзаде С. М., Гурбанов П. А. ЖОРХ, 7, 412, 1971. 4. Мовсумзаде М. М., Шабанов А. Л., Гурбанов П. А., Мовсумзаде С. М. ЖОРХ, 7, 1106, 1971. 5. Мовсумзаде М. М., Кязимов А. С., Шабанов А. Л., Алекперова С. А. ЖОРХ, 2, 262, 1972. 6. Мовсумзаде М. М., Шабанов А. Л., Кязимов А. С., Агаев Ф. Х. Труды АзНЕФТЕХИМа, серия хим., вып. XXVII, стр. 38, 1969.

АзИНХ им. Азизбекова

Поступило 22. XII 1971

М. М. Мовсумзаде, А. С. Казымов, А. Л. Шабанов, З. А. Сәфәрова

Δ^4 -циклогексен-*цик*-1,2-дикарбон туршусунун
элағәли тиклләшмәси

ХУЛАСЭ

Мүәјжән едилмишdir ки, Δ^4 -циклогексен-*цик*-1,2-дикарбон туршусунун диметил ефирини бромлаштырыгда յалныз уғын дигромид алыныр.

Conjugative cyclization of derivates of
 Δ^4 -cyclohexene-cis-1,2-dicarbon acids

SUMMARY

It has been investigated of bromination of derivates Δ^4 -cyclohexene-cis-1,2-dicarbon acids.

It was shown, that in result of them reactions, can received brom- γ -lactons.

УДК 547.56, 546, 266

ОРГАНИЧЕСКАЯ ХИМИЯ

Р. А. БАБАХАНОВ, И. Г. МУРСАКУЛОВ, М. С. АББАСОВ

О ПРОСТРАНСТВЕННОЙ НАПРАВЛЕННОСТИ РЕАКЦИИ
 ЦИАННОРБОРНИЛИРОВАНИЯ ФЕНОЛА

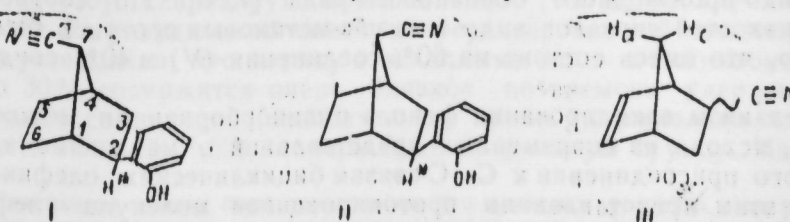
(Представлено академиком АН Азербайджанской ССР С. Д. Мехтиевым)

Ранее нами была изучена [1, 2] реакция конденсации цианиборнена с фенолом, изомерными крезолами и рядом *n*-алкилфенолов. Однако проблема пространственной направленности этих реакций, которая сама по себе является предметом специального исследования, оставалась открытой. В настоящей статье мы говорим о результатах исследования стереохимии этих реакций на примере алкилирования фенола цианиборненом.

Как отмечалось ранее [1], продукт алкилирования фенола цианиборненом представляет собой сложную смесь. В нашем случае задача исследования этой смеси заключалась в выделении из нее индивидуальных соединений и в определении: а) расположения цианиборнильного заместителя в ядре фенола, б) положения оксирила относительно метиленового мостика, так называемая эндо-экзо-изомерия, в) структуры самого бициклического заместителя.

Для разделения изомерных *o*- и *n*-цианиборнилфенолов мы воспользовались несложной, но эффективной методикой [3]. Строение выделенных продуктов как *o*- и *n*-цианиборнилфенолов подтверждалось данными хроматографирования в тонком слое и анализом ИК-спектров [1–2].

Путем многократной перекристаллизации *o*-фракции из горячего петролейного эфира мы выделили *o*-цианиборнилфенол с т. пл. 50–51°. Согласно данным ТС хроматографирования в разных системах растворителей и ГЖ хроматографирования (170°C, 60 мл/мин Нe), соединение это было чистым и других примесей не содержало. В результате исследования структуры этого соединения мы установили, что оно является 2 (экзо)-оксифенил-7(анти)-цианобицикло-

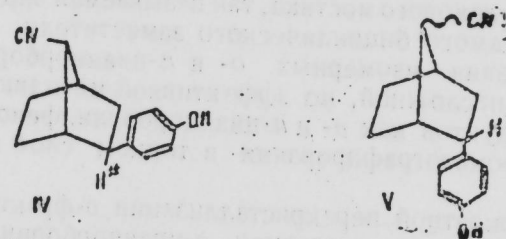


(2,2,1)-гептаном (I). Такое строение было приписано соединению (I) на основе анализа его ПМР-спектра. Как и следовало ожидать, исходя из литературных аналогий [4–6], оксифенильный заместитель в молекуле (I) занимает экзо-конфигурацию. Это доказывается формой сигнала α -метинового протона (бензильный протон H^*) с $\delta = 4,08 \text{ м.д.}$, представляющего собой симметричный триплет, что характерно для экзо-производных борнанового ряда [7, 8].

Для установления расположения нитрильной группы в молекуле (I) мы специально сняли ПМР-спектр смеси изомерных цианиорборненов (III). Отнесение сигналов протонов в этом спектре так же, как и в спектре соединения (I), сделано по данным двойного резонанса. При этом было установлено, что сигналы с $\delta = 1,2$ и $1,52 \text{ м.д.}$ являются соответственно сигналами анти-(H_a) и син-протонов (H_c) эндометиленового мостика. При сравнении спектров соединений (I) и (III) видно, что в спектре (I) отсутствуют сигналы в сильном поле (вплоть до $1,5 \text{ м.д.}$), что свидетельствует об отсутствии протонов в положении 7-анти. Это является доказательством того, что в положении 7-анти находится нитрильная группа. Тот факт, что при переходе от норборненовой системы (III) к норборнановой (I) сигналы эндометиленового мостика могут смещаться в сторону более слабых полей, очевидно, из-за меньшей напряженности норборнановой системы по сравнению с жесткой непредельной норборненовой системой, не играет существенной роли, поскольку такое смещение невелико [9].

Таким образом, соединение (I) является продуктом перегруппировки Вагнера—Меервейна, которая характерна для случаев присоединения к непредельным бициклическим соединениям. Отсутствие продукта перегруппировки Вагнера—Меервейна с 7-син расположением CN-группы (II), а образование этого соединения можно было ожидать, поскольку для алкилирования мы брали смесь экзо- и эндо-цианиорборненов, вероятно, объясняется тем, что нахождение объемистого оксифенильного заместителя в экзо-положении создавало бы стericеское препятствие для 7-син CN-группы.

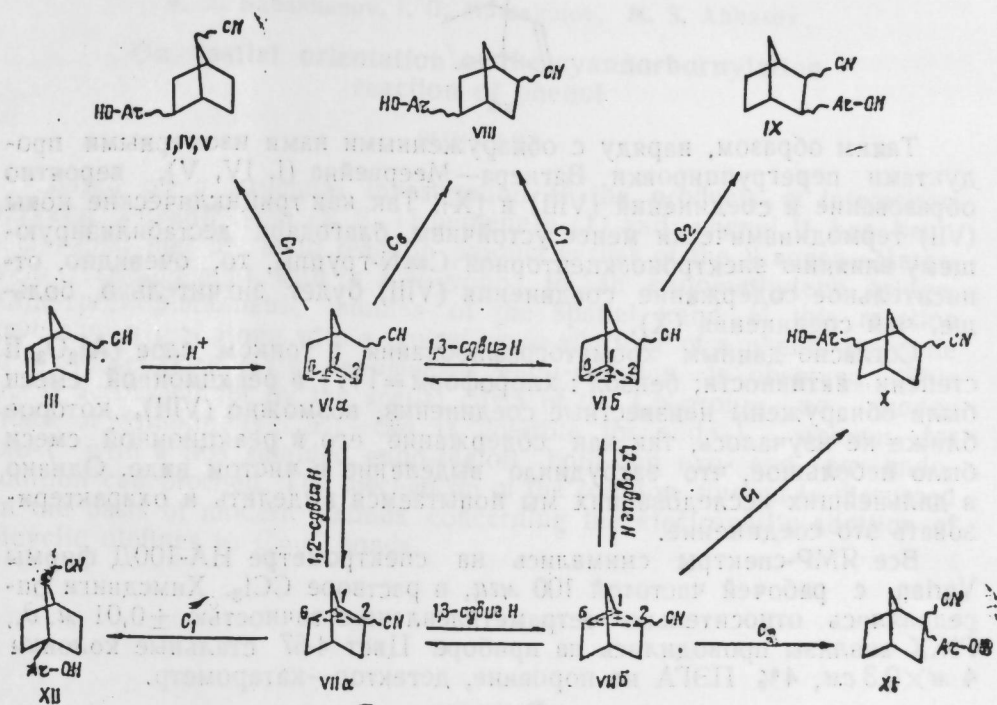
Перекристаллизацией π -фракции из петролейного эфира был выделен продукт с т. пл. $55\text{--}56^\circ\text{C}$. Судя по спектру ПМР, продукт этот состоит из смеси двух соединений (IV и V) с экзо- и эндо-расположе-



нием оксифенильного заместителя. Это видно по сигналам α -метиновых протонов (H^*) — симметричный триплет при $4,08 \text{ м.д.}$, как и в случае соединения (I) является характерным сигналом экзо-изомера (IV), тогда как дублет в области более слабого поля ($\delta = 4,20 \text{ м.д.}$) и по величине химсдвига, и по форме сигнала характерен для аналогичного эндо-производного борнанового ряда [7, 8]. По соотношению интенсивностей сигналов эндо- и экзо- α -метиновых протонов было подсчитано, что смесь состоит из 60% соединения (V) и 40% соединения (IV).

Механизм алкилирования фенола цианиорборненами можно объяснить, исходя из современных представлений о механизме электрофильтного присоединения к C=C-связям бициклических олефинов. Согласно этим представлениям протонированная молекула олефина не представляет собой собственно классический карбокатион, а является

равновесной системой неклассических мостиковых ионов VI и VII (a—b) с делокализованным положительным зарядом, превращающихся друг в друга путем стереоспецифических 1,2- и 1,3-сдвигов углеродных и водородных атомов. Образование различных цианиорборнилзамещенных фенолов можно объяснить, предполагая взаимодействие оксифенильной компоненты с атомами углерода C_1 , C_2 и C_6 , принимающими участие в делокализации положительного заряда мостиковых ионов VI и VII (на схеме над стрелками указан углеродный атом, подвергшийся атаке $\text{Ag}-\text{OH}$).



Из приведенной схемы видно, что в случае алкилирования фенола цианиорборненом теоретически можно ожидать образования по крайней мере шести изомерных структур оксифенилцианобицикло-(2,2,1)-гептана. Однако на самом деле количество изомерных структур бывает значительно меньше теоретически ожидаемых, исходя из следующих соображений. Образование изомеров (IX) и (XII) маловероятно, что объясняется стерической предпочтительностью атаки на атомы C_1 и C_6 соответственно ионов VIIb и VIIa по сравнению с атакой на атомы C_2 и C_1 этих же ионов. Атака на углеродный атом C_2 иона VIIb, связанный с объемистой нитрильной группой, еще более затруднительна и, следовательно, образование изомера (XI) вряд ли можно ожидать. Однако, по мнению Эрмана [7], образование соединений типа (XI) и (XII) с третичным бициклическим радикалом все же происходит в процессе алкилирования, но выделить их не удается, так как в условиях реакции трет-алкилфенолы очень легко дезалкилируются [10]. Анализируя методом ГЖХ (160°C , 45 м/мин He) выделенный из реакционной смеси непрореагировавший цианиорборнен*, мы установили, что наряду с исходными эндо- и экзо-изомерами в нем до 30% содержится очень близкое по времени удерживания непредельное соединение (относительное время удерживания экзо-III:эндо-III = 1 : 1,25 : 1,35), содержащее нитрильную группу. Измере-

* Специальным опытом было установлено, что в кислых условиях в отсутствие фенола сами цианиорборнены не перегруппированы.

ния молярной интенсивности полосы поглощения валентных колебаний $\text{C}\equiv\text{N}$ -группы заведомого и выделенного из реакционной смеси цианорборненов показало, что интенсивности этих полос равные, это дает нам основание предполагать, что данное соединение является не чем иным, как 7-цианобицикло (2,2,1)-гептеном-2 (XIII), который, очевидно, образовался в результате дезалкилирования.



Таким образом, наряду с обнаруженными нами изомерными продуктами перегруппировки Вагнера—Меервейна (I, IV, V), вероятно образование и соединений (VIII) и (X). Так как трициклические ионы (VII) термодинамически менее устойчивы, благодаря дестабилизирующему влиянию электроноакцепторной $\text{C}\equiv\text{N}$ -группы, то, очевидно, относительное содержание соединения (VIII) будет значительно больше, чем соединения (X).

Согласно данным хроматографирования в тонком слое (Al_2O_3 II степени активности; бензол : хлороформ = 1:7) в реакционной смеси были обнаружены неизвестные соединения, возможно (VIII), которое ближе не изучалось, так как содержание его в реакционной смеси было небольшое, что затрудняло выделение в чистом виде. Однако в дальнейших исследованиях мы попытаемся выделить и охарактеризовать это соединение.

Все ЯМР-спектры снимались на спектрометре НА-100Д фирмы Varian с рабочей частотой 100 мГц, в растворе CCl_3 . Химсдвиги определялись относительно тетраметилсилина с точностью $\pm 0,01$ м.д., ГЖХ анализы проводились на приборе Цвет 4-67 стальные колонки $4 \text{ mm} \times 0,3 \text{ cm}$, 4% ПЭГА на поровине, детектор—катарометр.

Выводы

- Исследована пространственная направленность реакции алкилирования фенола цианорборненом в присутствии H_2SO_4 . Показано, что основным продуктом реакции является продукт перегруппировки Вагнера—Меервейна.

- Установлено, что оксиарильный заместитель занимает в *o*-замещенном изомере экзо-конфигурацию, тогда как в *n*-изомере есть также эндо-оксифенил производное. Обсуждается возможный механизм исследованных превращений.

ЛИТЕРАТУРА

- Бабаханов Р. А., Аббасов М. С., Мурсакулов И. Г. Азерб. хим. журн., 1968, № 6.
 - Бабаханов Р. А., Аббасов М. С. Азерб. хим. журн., 1969, № 3.
 - Хейфиц Л. А., Молдаванская Г. И., Шулов Л. М. ЖАХ, 18, 267, 1963.
 - Аульченко И. С., Гаврилова Г. Ф., Хейфиц Л. А. ЖОРХ, 3, 1636, 1967.
 - Шулов Л. М., Гаврилова Г. Ф., Хейфиц Л. А. ЖОРХ, 3, 1819, 1967.
 - Demole E. Helv. Chim. Acta, 47, 319, 1964.
 - Ergman W. F. J. Am. Chem. Soc., 86, 2887, 1964.
 - Flaud T. S., Ergman W. F. J. Am. Chem. Soc., 85, 3112, 1963.
 - Быстров В. Ф., Степанянц А. У., Миронов В. Б. ЖОХ, 34, 4039, 1969.
 - Цукерваник И. П., Назарова З. Н. ЖОХ, 5, 767, 1935.
- Институт химии присадок

Поступило 27. XI 1973

Р. Э. Бабаханов, И. Г. Мурсакулов, М. С. Аббасов
Фенолун тсианорборниллэшмәси реаксијасынын фәза
изомеријасы һагында

ХУЛАСӘ

2-цианобицикло (2,2,1)-гептен-5-ин (1) фенол илә гарышлыгы тә'сириндән алынан мәңсулун гурулушунун тәдгиги заманы мүәжжән едилмишdir ки, реаксијанын эсас мәңсулу CN —группу ендометилен

көрпүчүүндә олмагла Вагнер—Меервейн груплашмасыдыр. Бу реаксијанын фәза кедишинин ПМР-спектрофотометrik тәдгиги көстәрмишdir ки, фенол молекулунун икигат рабитәјэ (1) характерик екзо-бирләшмәси илә Яанаши аномал ендө-бирләшмә, дә мүшәнидә олунур.

Мәгаләдә битсиклик олефинләrin икигат рабитәсинә електрофил бирләшмәнин тә'сир механизми мұасир тәсәввүрләрлә изән едилмишdir.

R. A. Babakhanov, I. G. Mursakulov, M. S. Abbasov

On spatial orientation of the cyannorbornylation reaction of phenol

SUMMARY

Based on a structural investigation of the products of interaction between 2-cyanobicyclo (2,2,1)-heptene-5 (1) and phenol it has been established that the main reaction product is that of the Wagner—Meerwein rearrangement with a CN-group in an endomethylene bridge. PMR-spectrophotometric studies of the spatial trend of this reaction have shown that along with a typical exo-addition of a phenol molecule to a double bond (1) an anomalous endo-addition is observed. This fact is accounted for by the spatial effect of the CN-group; no endo-attack of voluminous $\text{C}_6\text{H}_5\text{—OH}$ is possible for endo-1, whereas for exo-1 with a less shielded endo-region both an exo- and an endo-addition can proceed. The mechanism of the reaction studied is discussed on the basis of modern notions concerning the electrophilic addition of bicyclic olefines to $\text{C}=\text{C}$ bonds.

УДК 541.64

ХИМИЯ ПОЛИМЕРОВ

А. А. БУНИЯТ-ЗАДЕ, И. Т. КАХРАМАНОВ, Е. А. ОСИПОВ

ИССЛЕДОВАНИЕ ВЛИЯНИЯ МОЛЕКУЛЯРНОГО ВЕСА
И ПОЛИДИСПЕРСНОСТИ ПЭВП НА ПРОЦЕСС ПРИВИТОЙ
СОПОЛИМЕРИЗАЦИИ С АКРИЛОНИТРИЛОМ

(Представлено академиком АН Азербайджанской ССР М. А. Даляним)

Следует отметить, что в литературе имеются весьма немногочисленные сведения о влиянии молекулярного веса и полидисперсности полиолефинов на процесс привитой сополимеризации.

В связи с этим представлялось интересным исследовать процесс прививки акрилонитрила на фракции ПЭВП с узкой полидисперсностью, отличающихся величиной средневязкостного молекулярного веса.

ПРОВЕДЕНИЕ ЭКСПЕРИМЕНТА

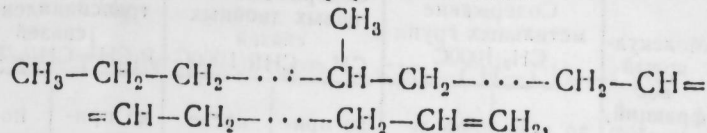
С целью получения образцов с узким молекулярно-весовым распределением (МВР) нами проводилось фракционирование ПЭВП по методу осадительной хроматографии [1]. Последнее обстоятельство позволяло одновременно фракционировать до 100—150 г ПЭВП, в результате чего удалось получить достаточное количество фракций. Для одной из фракций ($M_n = 5000$) на рисунке показана дифференциальная кривая, откуда видно, что полученный образец отличается узостью МВР, о чем также свидетельствует и отношение $\frac{M_w}{M_n} = 1,05$.

Для исследования были отобраны семь фракций ПЭВП с $M_n = 3000, 7000, 27000, 65000, 95000, 194000, 612000$.

Синтез привитых сополимеров осуществляли в 4-горлой колбе набухания в 20%-ном растворе НАК в бензоле подогревали до 76—77°C и вводили 0,17 (вес. %) перекиси бензоила. Время сополимеризации составляло 2 ч. Образующийся гомополимер—полиакрилонитрил (ПАН)—отмывали в диметилформамиде (ДМФ) при температуре 70—80°C. Содержание связавшего акрилонитрила определяли методом ИК-анализа [2].

ОБСУЖДЕНИЕ РЕЗУЛЬТАТОВ

Известно, что химическая структура (ПЭСД), синтезированного на окиснохромовых катализаторах [3], имеет вид:



откуда видно, что этот полимер обладает несколькими центрами, которые могут принять одновременное участие в реакции прививки. К этим центрам можно отнести водород, расположенный у симметричного (третичного) и α -метиленового углеродного атома, трансвилиленовую и концевую двойную связь.

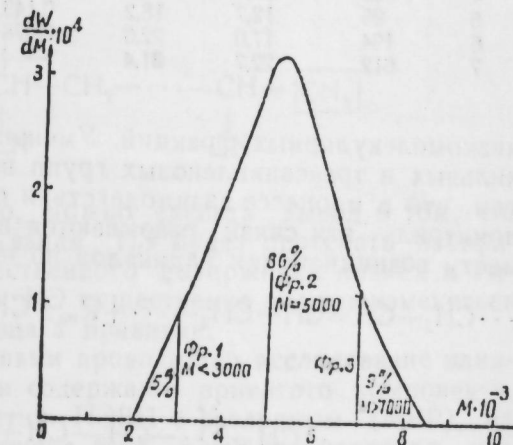


Рис. Дифференциальная кривая молекулярно-весового распределения фракции с $M_n = 5000$

ИК-спектральные методы исследования исходных фракций (ПЭСД) показали, что с увеличением молекулярного веса число концевых двойных связей (полоса 910 см^{-1}) линейно уменьшалось, что однозначно свидетельствовало о существовании между ними четкой обратной зависимости.

В результате ИК-спектрального анализа было выявлено, что трансвилиленовые двойные связи (полоса 965 см^{-1}) содержатся только у низкомолекулярной фракции с $M_n = 3000$, а у фракций с большим молекулярным весом эти связи отсутствовали. Было установлено также, что по мере возрастания молекулярного веса фракций разветвленность молекул или число метильных групп (полоса 1370 см^{-1}) увеличивается.

Поэтому представлялось интересным выяснить, какова же доля участия вышеупомянутых активных центров в реакции привитой сополимеризации в зависимости от молекулярного веса.

Результаты исследования влияния молекулярного веса фракций на характер прививки сведены в табл. 1.

Как видно из таблицы, наибольший процент привитого компонента содержится у крайних фракций, т. е. у самой низкомолекулярной с $M_n = 3000$ и высокомолекулярной с $M_n = 612000$. По-видимому, это связано с тем, что у крайних фракций имеется большое число активных центров с той лишь разницей, что у низкомолекулярной фракции основную роль в реакции прививки играют концевые и трансвилиленовые двойные связи, α -метиленовые углеродные атомы, а у высокомолекулярной—третичные атомы углерода.

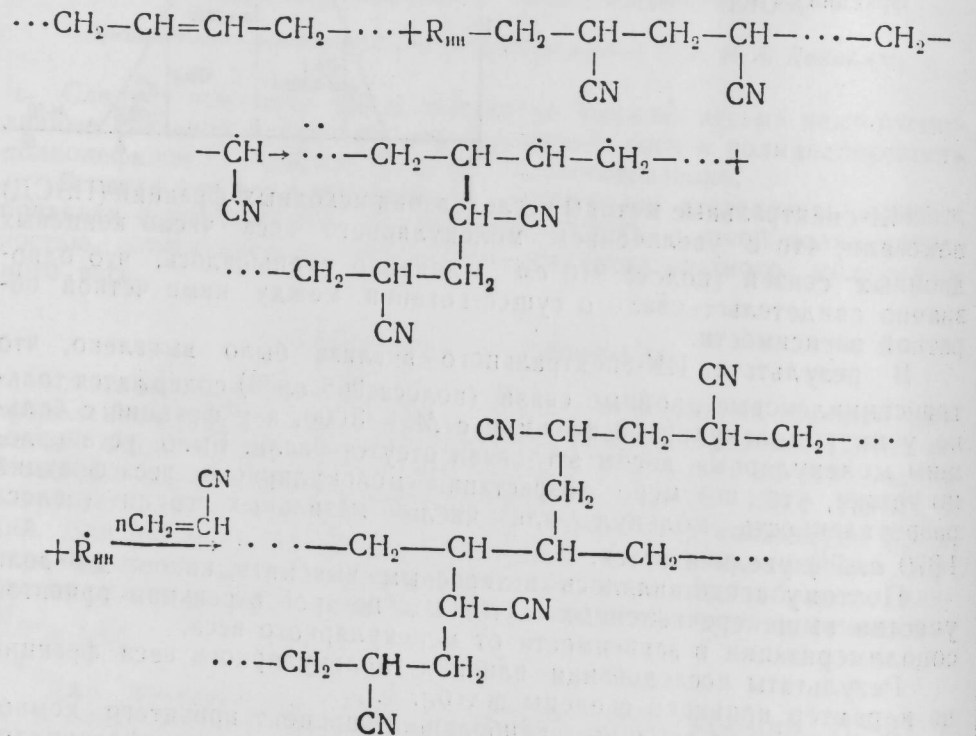
Интерпретация результатов таблицы показывает, что после прививки число двойных связей несколько понижается, в особенности у

Таблица 1

Влияние молекулярного веса на степень прививки акрилонитрила на ПЭВП

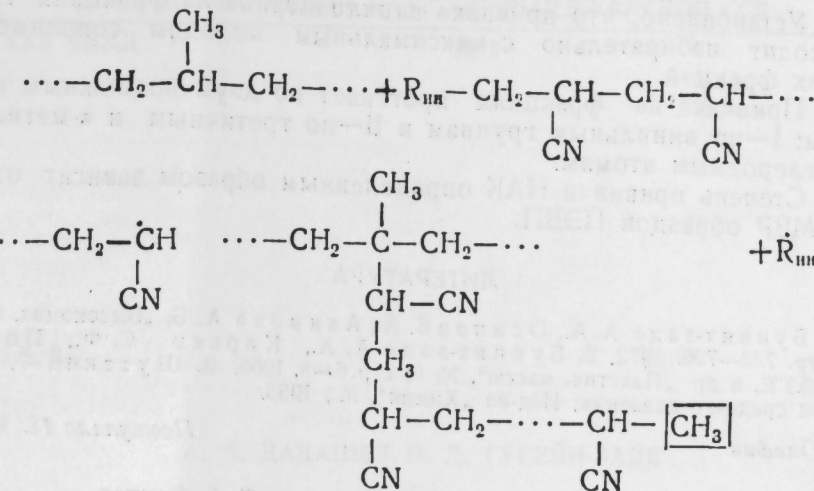
№ пп.	Молекул- лярный вес фракций, $M \times 10^3$	Содержание метильных групп $\text{CH}_3/1000\text{C}$		Содержание кон- цевых двойных связей $\text{CH}_2=\text{CHR}/1000\text{C}$		Содержание трансвиниленовых связей $\text{R}_1\text{CH}=\text{CHR}_2/1000\text{C}$		Содержа- ние акри- лонитри- ла в со- полимере С (вес. %)
		до при- шивки	после прививки	до при- шивки	после прививки	до при- шивки	после прививки	
1	3	8,5	18,2	3,64	2,56	1,48	0,66	54
2	7	7,0	14,3	1,48	1,29	—	—	34,5
3	27	11,2	14,8	0,490	0,465	—	—	32,5
4	65	12,7	18,2	0,218	0,194	—	—	36
5	95	12,7	18,2	0,149	0,135	—	—	34,2
6	194	17,0	22,6	0,076	0,07	—	—	38,6
7	612	22,7	31,4	—	—	—	—	48

низкомолекулярных фракций. Уменьшение содержания концевых винильных и трансвиниленовых групп во фракциях, видимо, обусловлено тем, что в процессе взаимодействия с растущим радикалом поликарбонитрила эти связи разрываются и происходит присоединение поместу возникновения радикалов по приведенной схеме:



Установлено также, что после прививки акрилонитрила на фракции разветвленность последних возрастает, о чем свидетельствует увеличение числа метильных групп ($\text{CH}_3/1000\text{C}$). Особенно интенсивное увеличение разветвленности наблюдается у низкомолекулярных фракций с молекулярным весом 3000 и 7000. В данном случае этот факт объясняется тем, что прививка происходит также по третичным и метиленовым углеродным атомам, расположенным в α -положении от концевых винильных и трансвинилиеновых групп, приводящие к

возникновению концевых метильных групп в привитых блоках акрилонитрила по следующей схеме:



где $R_{\text{им}}$ — перекисный радикал.

Исходя из вышеизложенного, можно сделать вывод о том, что прививка к полидисперсным образцам ПЭ будет протекать избирательно. В зависимости от количественного содержания низких и высоких фракций в полидисперсном ПЭ существенно должна изменяться и способность полимерного образца к прививке.

В связи с вышеизложенным нами проводилось исследование влияния МВР на характер прививки и содержание пригетого компонента. Для этого были отобраны 4 партии ПЭВП с различным (МВР), на которых была осуществлена прививка НАК в тех же условиях, что и в случае прививки на фракции.

Таблица 2

Влияние МВР на выход сополимера

№ пп.	Полидис- персность, M_w M_n	Средне- весовой молек. вес, M_w	Средне- числовой молек. вес, M_n	Содержание низкомолеку- лярных фрак- ций от 0 до 10 000% вес.	Содержание высокомоле- кулярных фракций от 100 000 и выше, %. вес.	Выход сопо- лимера, вес. %
1	2,5	63 000	25 000	6	19	30,4
2	.	61 000	14 000	20	13	28,0
3	5,3	102 000	19 000	10	28	28,4
4	10	200 000	20 000	15	40	40,5

В табл. 2 иллюстрируются результаты прививки НАК на ПЭВП с различным МВР.

Как видно из таблицы, в первых трех сбразцах с $\frac{M_w}{M_n} = 2,5 - 5,3$ содержание приятного компонента колеблется в пределах 28—30%, т. е. почти не зависит от молекулярного веса и МВР. Значительный выход сополимера наблюдается в сбразцах с более широким МВР ($\frac{M_w}{M_n} = 10$). Последнее обстоятельство объясняется большим содержанием в образце высокомолекулярной фракции (до 40%), отличающейся большей разнотропностью и числом активных центров.

Выходы

1. Установлено, что прививка акрилонитрила на фракциях ПЭВП происходит избирательно с максимальным выходом сополимера у крайних фракций.

2. Прививка на фракциях протекает по двум возможным механизмам: I—по винильным группам и II—по третичным и α -метиленовым углеродным атомам.

3. Степень прививки НАК определенным образом зависит от ширинны МВР образцов ПЭВП.

ЛИТЕРАТУРА

1. Буният-заде А. А., Осипов Е. А., Азимова А. Б. «Высокомол. соед.», № 3, стр. 722—726, 1972.
2. Буният-заде А. А., Карабев С. Ф., Портянский А. Е. и др. «Пластич. массы», № 9, стр. 6—9, 1966.
3. Шутский Ф. В. Полиэтилен среднего давления. Изд-во «Химия», М., 1965.

ВНИИОлефин

Поступило 18. VI 1973

А. А. Буният-заде, И. Т. Гәһрәмәнов, Е. А. Осипов

Полистиленини молекул чәкисинин ۋە полидисперслийинин
акрилонитрил иلى بىرкәполимерلәшмәсина тә'сири

ХУЛАСӘ

Мәғаләдә полистиленилә акрилонитрилини биркәполимерләшмәсинан бәнс едилишидир. Көстәрilmишdir ки, биркәполимерләшмәсән полистиленинин молекул чәкисинидән асылыдыры. Бунуна յанашы, акрилонитрилини потистилен макромолекулuna чалаг олуусы ахырынчыда отан уччу һидрокен атомундун дахили икигат рабитәләрини мигдәримдән билгизета пемләйдир. Мүәјжән едилишидир ки, чалаг олуум 1 процесине көтүрүлүмүш ПЭ полидисперслиji да мүәјжән гәдер та'сир көстәрир. Полидисперслик арттыгечт чалаг отуимүш акрилонитрилини мигдәрим артыр.

А. А. Buniyat-zade, N. T. Kaldramanov, Ye. A. Osipov

The effect of the molecular weight and polydispersity of HDPE on graft copolymerization with acrylonitrile

SUMMARY

The effect of acrylonitrile grafting on fractionated samples of HDPE with different molecular weights has been reported. It was established in the course of radical graft copolymerization that the end fractions contain the greatest percentage of the grafted component, i. e. copolymerization on fractions is of a selective nature.

It was also found that graft copolymerization process is greatly affected by molecular weight distribution (MWD).

АЗӘРБАЙЧАН ССР ЕЛМЛӘР АКАДЕМИЯСЫНЫН МӘРҮЗӘЛӘРИ

ДОКЛАДЫ АКАДЕМИИ НАУК АЗЕРБАЙДЖАНСКОЙ ССР

ТОМ XXX ЧИЛД

№ 6

1974

УДК 551.24

ГЕОЛОГИЯ

А. М. ДАДАШЕВ, О. Д. ГУСЕЙН-ЗАДЕ

НЕКОТОРЫЕ ДАННЫЕ О ХАРАКТЕРЕ КОЛЕБАНИЯ ПОВЕРХНОСТИ БАЛАХАНЫ-САБУНЧИ-РАМАНИНСКОГО МЕСТОРОЖДЕНИЯ

(Представлено академиком АН Азербайджанской ССР Ш. Ф. Мехтиевым)

Проведением за последние годы повторных нивелировок в пределах нефтегазоносных площадей Ашеронского полуострова были получены некоторые данные о характере колебания поверхности земной коры на отдельных его участках [1, 3, 4, 5]. При этом было установлено, что территория полуострова по данным нивелирований 1912, 1928, 1936, 1956—1957 и последующих годов повсеместно испытывала неравномерную деформацию поверхности. Характерное для центральной части прогибание, с его максимальным значением порядка —25 м/год, претерпевает постепенное затухание своей амплитуды в радиальных направлениях и на периферических участках полуострова замещается общим подъемом. Как следует из схематической карты (рис. 1) интенсивности высотных смещений почвы на Ашеронском полуострове, составленной Г. Р. Бргманом, нефтяные месторождения юго-западной и восточной частей Ашеронской нефтегазоносной области в период 1912—1928 гг. при продолжающемся нефтегазовлечении и отборе воды повсеместно испытали общий подъем поверхности участка со среднегодовой скоростью от +2,7 м/м в Бинарада до +51,6 м/м в Путя, Локбатане, Карадаге и др. Не менее интересно и то обстоятельство, что деформация земной поверхности наблюдается также в пределах тех зон или участков земной коры, где нефтяные месторождения вовсе отсутствуют.

Критическое обобщение накопленных данных по геодезическому нивелированию тех или иных участков земной коры в течение ряда лет [1, 2, 4, 5, 6] показывает, что несмотря на общность методики исследований и исходных фактических материалов допускались высказывания различных мнений и суждений как о механизме образования этих поднятий и опусканий, так и об их возможной зависимости от длительности эксплуатации нефтяных и газовых месторождений. Однако вследствие того, что комплексные исследования по актуальному вопросу отсутствовали, их результаты остались спорными и до настоящего времени.

Учитывая это, в 1970 г. нами осуществлялось повторное геодезическое нивелирование на длительно разрабатываемой части территории Балаханы-Сабунчи-Раманинского месторождения с охватом скважин (см. табл. 1) в основном третьего и шестого промыслов,

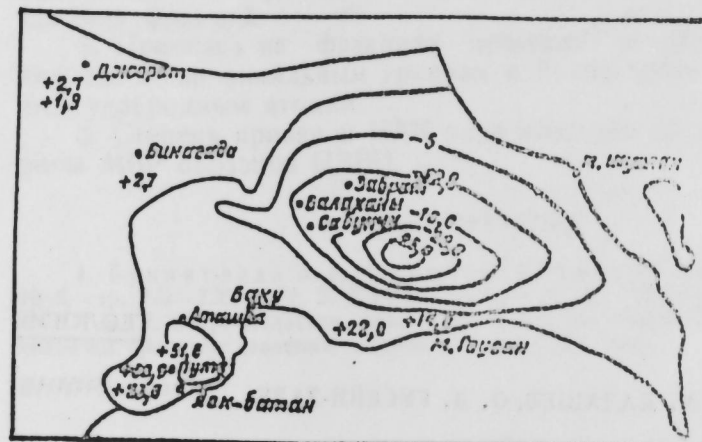


Рис. 1. Схематическая карта интенсивности высотных смещений на Ашхеронском полуострове (мм/год)
(Карта составлена Г. Р. Брегманом по данным нивелирования 1912—1928 гг.)

расположенных как в присводовой, так и на крыльевых частях одноименной структуры. Повторное нивелирование производилось с привязкой устьев скважин к четырем ранее установленным реперам и маркам (№ 3, 59, 1289, 636/86) по направлению выбранной линии.

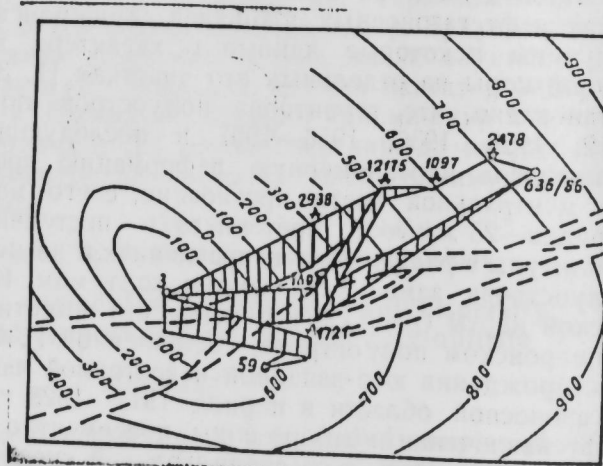


Рис. 2. Блок-диаграмма среднегодовых высотных смещений точек Балаханы-Сабунчи-Раманинского месторождения (на основе структурной карты по кровле ПКГ) Масштаб верт. 1:10, гориз. 1:50000

Подсчитывалась добыча нефти и воды по скважинам за весь период разработки залежей. Она суммировалась нами по верхнему и

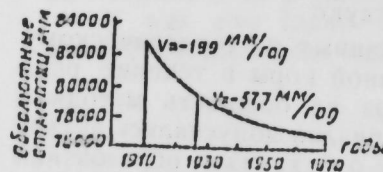


Рис. 3. Динамика изменения интенсивности прогибания поверхности репера № 3 с течением времени

нижнему отделам продуктивной толщи в пределах отдельных тектонических блоков и полей структуры, выявлялись имеющиеся случаи скола и искривления эксплуатационных колонн, учитывались энергетические ресурсы пласта и другие параметры.

Таблица 1

Изменения абсолютных отметок точек Балаханы-Сабунчи-Раманинского месторождения по данным нивелирования

№ пп.	Наименование точек	Год наблюдений	Интервал време- ни, годы	Разность высот- ных отметок, мм
1.	Репер № 3	1912—1928	16	-3,335
		1928—1970	42	-2,177
2.	Скв. № 2522	1953—1970	17	+991
3.	1721	1941—1970	29	-980
4.	1493	1947—1970	23	-31
5.	2627	1953—1970	17	-875
6.	2991	1965—1970	5	-601
7.	14 813148	1926—1970	44	-7,888
8.	992	1947—1970	23	-1,764
9.	2938	1964—1970	6	-124
10.	2409	1957—1970	13	-1,029
11.	21275	1930—1970	40	-388
12.	2184	1930—1970	40	+8,352
13.	12179	1930—1970	40	-270
14.	12028	1899—1970	71	-686
15.	12151	1928—1970	42	+423
16.	11163	1924—1970	46	+5750
17.	2472	1953—1970	17	-972
18.	2481	1952—1970	18	-8,340
19.	12207	1931—1970	39	-600
20.	11127	1926—1970	44	-5,790
21.	2478	1957—1970	13	+260
22.	Репер № 59	1957—1970	13	-200
23.	Репер № 636/86	1957—1970	13	+7

Таблица 2

Сопоставление данных среднегодовой добычи жидкости с величинами среднегодовой скорости высотных смещений устьев скважин Балаханы-Сабунчи-Раманинского месторождения
(на примере скважин третьего и шестого промыслов)

№ пп.	№ скважи- ны	Период разработки	Добыча		Среднегодо- вая добыча		Средне- годовая скорость высотных смеще- ний, мм	
			по верхнему отделу		тыс. т			
			и	в	и	в		
1.	2522	VIII 1953—IХ 1959			8,5	5,5	1,02 0,9 +59,3	
2.	1721	II 1941—I 1970			44236	60715	1525 2084 -35,8	
3.	1187	II 1951—I 1970			15192	41147	799 2165 -71,0	
4.	1493	V 1947—I 1970			18733	22608	1441 962 -2,3	
5.	2627	IX 1962—XI 1964			1,9	3,1	0,95 1,55 -63,2	
6.	148/113 148	V 1927—V 1969	9048	298	2262	77		
		V 111965—I 1970	4586	109	109	2,5	-197,5	
7.	922	V 1947—VII 1969			10969	90881	498 4131 -33,2	
8.	2409	XII 1957—VII 1969	9000	34282	750	2856	-49,0	
9.	2938	VII 1964—VII 1969	4421	819	884	163	-70,0	
10.	21035	XII 1937—VII 1969	215306	204854	6727	6401	Не уста- новлено	
11.	12028	VII 1927—VII 1969	17092	111365	407	3167	-0,9	
12.	12151	IV 1929—VII 1969	57452	96052	1436	2401	+14,8	
13.	11163	V 1932—VII 1969	6775	61625	193	1760	+121,0	
14.	2472	VII 1953—VI 1969			10433	29237	652 1827 -60,0	
15.	1097	II 1953—X 1953			1,0	0,3	1,0 0,3 -0,5	
16.	12207	II 1931—V 1969			31316	68385	846 1848 -15,3	
17.	12215	II 1932—XII 1969			30574	104912,3	826 28983 -0,5	
18.	2478	IV 1957—VII 1969			12603	29565	1050 2463 +20,0	

Как видно из блок-диаграммы (рис. 2), наблюдается общая тенденция в сторону уменьшения амплитуд прогибания земной поверхности от сводовой части структуры к ее погруженным участкам. Так, если среднегодовое прогибание репера № 3, установленного на своде складки, изолированного от нефтеносного поля тектоническим нарушением, вблизи грязевого вулкана Бог-Бога, составляет $-57,7$ м.м., то

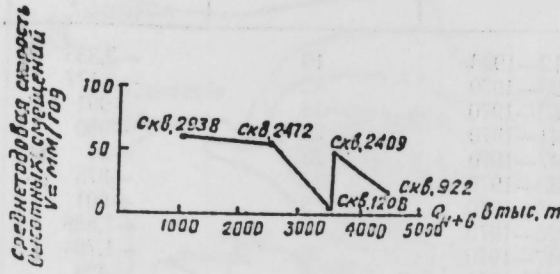
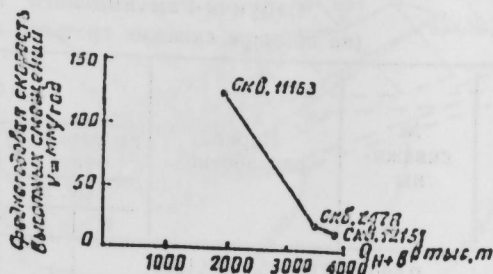


Рис. 4. Кривые зависимости среднегодовых высотных смещений положительного знака устьев эксплуатационных скважин от суммарного отбора жидкости (по Балаханы-Рамана-Сабунчинскому месторождению).

это опускание по мере перехода к погруженным частям складки постепенно уменьшается и, наконец, в районе расположения репера № 636/86 оно замещается поднятием порядка до $+0,5$ м.м./год. Среднегодовое прогибание земной поверхности в пределах крыльевой части структуры колеблется от -9 (скв. № 121175) до $-0,5$ м.м. (скв. № 1097).

Отметим, что в процессе разработки залежи изменились и энергетические ресурсы пласта. Установленный в начале разработки залежи режим растворенного газа по отдельным нефтегазоносным объектам в поздней стадии оказался вовсе истощенным и замещался гравитационным. Так было и с эксплуатационными скважинами при сводовых частях складки, в результате чего добыча нефти на одну скважину, извлекаемая из горизонтов КС и других объектов нижнего отдела ПТ, стала колебаться от 1 до 1,5 т. Однако несмотря на это поверхность сводовой части складки продолжала прогибаться по-прежнему интенсивно.

Рис. 5. Кривые зависимости среднегодовых высотных смещений отрицательного знака устьев эксплуатационных скважин от суммарного отбора жидкости (по Балаханы-Сабунчин-Раманинскому месторождению)



Небезынтересно отметить, что с течением времени наблюдается заметное затухание интенсивности прогибания земной коры на отдельных участках месторождения (см. рис. 3).

Сопоставление данных добычи жидкости с величинами ежегодных высотных смещений устьев отдельных скважин (табл. 2) указывает на отсутствие между ними каких-либо зависимостей. Если при среднегодовой добыче жидкости 3518 тыс. т по скважине № 2478 отмечается среднегодовой подъем $+20$ м.м., то у скважины № 2938 со среднегодовой добычей жидкости 1047 тыс. т, наоборот, фиксируется прогибание со средней скоростью $-70,0$ м.м./год (см. рис. 4 и 5). Аналогичная картина наблюдается по блокам и тектоническим полям структуры при исчислении суммарного отбора жидкости в общей связи с интенсивностью проявления высотных смещений. Следует подчеркнуть, что наличие большой разницы в суммарном отборе жидкости, устанавливаемое по отдельным блокам и полям структуры,

не создает какой-то обусловливаемости в смысле интенсивности проявления высотных смещений участков земной коры.

Касаясь падения пластового давления с течением разработки залежи, отметим, что оно является весьма естественным и не может играть какой-либо роли как в урегулировании размеров смещений, так и в определении их направления.

Упругая энергия жидкости и газа, создаваемая геостатическим давлением на определенной стадии формирования залежи, в последующее время, т. е. в процессе разработки, затрачивается на вытеснение нефти и воды из нефтеносного пласта. При этом падает пластовое давление. Если бы сохранилось геостатическое давление на различных глубинах земной коры, то мы имели бы и постоянство пластового давления. Однако этого нет.

Как показывает анализ большого количества данных по слому и искривлению эксплуатационных колонн, эти случаи больше всего имеют место в зоне фильтровой части колонн против эксплуатационных объектов. Стало быть, причины объясняются прежде всего способом эксплуатации, разрушением скелета пласта и пробообразованием. Внефильтровые зоны искривления или слома эксплуатационных колонн могут быть вызваны как техническими причинами вследствие порчи резьбовых соединений, так и тектоническими усилиями, приводящими к образованию микротреции.

Из всего сказанного видно, что объем извлекаемой жидкости на длительно разрабатываемых месторождениях не может оказывать никакого существенного влияния на характер наблюдаемых деформаций земной поверхности, и главная роль в этом принадлежит колебательным движениям, особенно интенсивно проявляющимся в геосинклинальных областях, куда, в частности, относится Апшеронский полуостров.

ЛИТЕРАТУРА

- Брегман Г. Р. Геодезические высоты в связи с проблемой уровня Каспия. „Метеорология и гидрология“. Сб. 1, 1947.
- Глазенап М. В. Применение инвертировки высокой точности к нефтеразведкам. АНХ, № 2, 1934.
- Дадашев Ф. Г. Современные колебательные движения берегов Каспийского моря. „Изв. АН Азерб. ССР, серия геол.-геогр. наук“, № 2, 1958.
- Рихтер В. Г. Методы изучения современной тектоники морского дна. Изд-во „Недра“, 1965.
- Изотов А. А. Некоторые выводы из повторных инвертировок по западному побережью Каспийского моря. Сб. научно-технических производственных статей, ГУГК, вып. 27, Геоиздат, 1949.
- Мешеряков Ю. А., Синягина М. И. Современные тектонические движения земной коры и методы их изучения. „ДАН СССР“, М., 1964.

Институт геологии

А. М. Дадашев, О. Ч. Һүсейнзадә

Балаханы—Сабунчу—Рамана жатағы сәйесиндең еңизазын
характеринә даир бәзі мә’лumatlar

ХУЛАСӘ

Сон үләрдә Абшерон йарымдасы әразиси дә спарылған инвертировләмә иәтичәсіндә айры-айры нефт жатағы сәнәләри сәттәрнәндә чөкмә вә галхма наллыры мүшінгидә огуимушшур. Ләкин әкәр тәдгигатчилар бу һедисәрәрин сәбәби и жатған нефт, су вә газын чыхарылмасы илә қаңа етмәјә чалышмышлар.

Апардымызың тәдгигатлар иәтичесигде мүәжжән едилмишdir ки, яр габығының чөкмә вә галхма һедисәләри иңаг тектоник гүввәләри тә'сирі, онларын вахтешыры пересидик шәилдә бир-бірилә көвләшмәсін сајесинде яратыр.

Мәгрәләдәкі чәдвәлләрдән көрүнүр ки, мұхталиф гүулардан чыхарылан нефт, су вә газын үмуми мигдарының дәжишмәсін истир чөкмә

ВЭ ИСТЕРСЭ ДЭ ГАЛХМАНЫН РЭГЭМ КӨСТЭРИЧИЛЭРИ ИЛЭ НЕЧ ДЭ УЗЛАШМЫР. ДИКЭР ТЭРЭФДЭН, ИЕФТ ВЭ ГАЗ ЯТАГЛАРЫНЫН УЗУН ИЛЛЭРДЭН БАРИ ИСТИСМАРЫ ТЭЧРУБЭСИ КӨСТЭРИР КИ, АЈРЫ-АЈРЫ ЛАЈ ДЭСТЭЛЭРИНИИ МҮЭЛЛЭН МЭРНЭЛЭЛДЭ ФОРМАЛАШМАСЫ ПРОСЕСИ БАША ЧАТДЫГДАН СОИРА СҮХУРЛАРДА ЁРЛЭШЭН ИЕФТ, СУ ВЭ ГАЗ СЫХЫЛАРАГ АРТЫГ КЕОСТАТИК ГҮВВЭНИН ТЭСИРИНЭ МЭРУЗ ГАЛМЫР. НЕФТЛИ-ГАЗЛЫ ЛАЈ ДЭСТЭЛЭРИНИИ ИСТИСМАРЫ ДАВАМ ЕТДИКЧА ЛАЈ ТЭЭЖИГИ ДЭ ТЭДРИЧЭН АЗАЛМАГА БАШЛАЖЫР. КЕОСТАТИК ТЭЭЖИГИН ДАНИМИЛИИ ЕНТИМАЛЫ ДОГРУ ОЛСАДЫ, О ЗАМАИ ЛАЈ ТЭЭЖИГИ ДЭ САБИТ САХЛАНЫЛАРДЫ. БУНА ИСЭ ТЭСЭДҮФ ЕДИЛМИР.

ИСТИСМАР ГУЮЛАРЫНДА БАШ ВЕРЭН ЭЈИЛМЭ ВЭ СЫИМА НАДИСЭЛЭРИНИИ АРАШДЫРЫЛМАСЫНДАН АЈДЫН ОЛУР КИ, ГЕЙДА АЛЫНМЫШ НЭМИН ИНТЕРВАЛЛАР ЭСАС Е'ТИБАРИЛЭ СҮЗКЭЧ ЗОНАЛАРЫ ИЛЭ ЭЛЭГЭДАРДЫР.

A. M. Dadashov, O. D. Husejn-zade

Some data on the character of variation of surface of Balakhany—Sabunchy—Ramany occurrences

SUMMARY

Geodesic rerunning of levelling on the protracted exploited part of the territory of Balakhany—Sabunchy—Ramany occurrences has been fulfilled by the authors in 1970.

As a result, it was ascertained that noticeable damping of intensity of earth's crust warping in separate places of investigated occurrence are being observed in time.

АЗЭРБАЙЧАН ССР ЕЛМЛЭР АКАДЕМИЯСЫНЫН МЭРУЗЭЛЭРИ

ДОКЛАДЫ АКАДЕМИИ НАУК АЗЕРБАЙДЖАНСКОЙ ССР

ТОМ XXX ЧИЛД

№ 6

1974

БАСКАЛЬСКИЙ ТЕКТОНИЧЕСКИЙ ПОКРОВ
ЮГО-ВОСТОЧНОГО КАВКАЗА

УДК 551.244

ТЕКТОНИКА

А. М. ЗЕЙНАЛОВ

НОВЫЕ ДАННЫЕ О БАСКАЛЬСКОМ ПОКРОВЕ (ЮГО-ВОСТОЧНЫЙ КАВКАЗ)

(Представлено академиком АН Азербайджанской ССР Г. А. Ахмедовым)

Баскальский тектонический покров расположен на южном склоне юго-восточного погружения Б. Кавказа и занимает значительную территорию к югу от Ниалдагских гор. Тектонически эта территория соответствует северо-западной части Шемахино-Кобыстанского синклиниория южного крыла мегантиклиниория Б. Кавказа (рис. 1).

Покров впервые установлен и подробно охарактеризован Н. Б. Вассоевичем и В. Е. Ханиным на основании результатов полевых исследований В. Е. Ханина [2] и А. И. Клещева [8], а также дополнительно с существенных полевых наблюдений первыми двумя авторами летом 1938 г.



Рис. 1. Тектоническая схема района расположения Баскальского покрова; а—Баскальский покров

В доказательство своих взглядов первооткрыватели Баскальского покрова опирались на следующие признаки: 1) повсеместный тектонический характер контакта меловых и палеогеновых отложений к югу от Ниалдагского хребта; 2) различное литофаильное сходство одновозрастных отложений верхнего мела и нижнего палеогена Баскальского нагорья и Дибрарской фаунистической зоны и резкое отличие их в Баскальской и Вандамской зонах; 3) поразительную аналогию в гео-

логическом строении описываемого района и Горной Кахетии, где покровы были ранее установлены Н. Б. Вассоевичем [3].

В дальнейшем покрову был посвящен ряд работ, в которых либо подтверждалась взгляды Н. Б. Вассоевича и В. Е. Ханина относительно существования Баскальского покрова [1, 4, 6], либо они отрицались [7, 10].

В результате проведенных нами в 1961—1965 гг. в Шемахинском нефтегазоносном районе, в том числе в Баскальском нагорье, геологических исследований, а также структурно-поискового бурения, осуществленного здесь в 1958—1962 гг. с нашим участием [1, 5], собран дополнительный материал, убедительно указывающий на покровное залегание верхнего мела в Баскальском нагорье. В частности, доказано залегание верхнемеловых и коун-сумгантских отложений восточнее р. Ахсу, в окрестностях с. Муганлы и Ново-Дмитриевка скважинами (рис. 2), которые после прохождения указанных пород

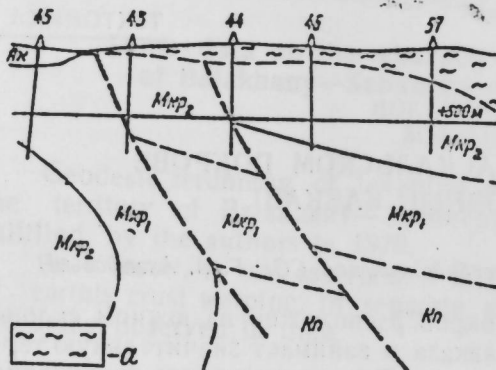


Рис. 2. Геологический профиль по линии I—I (см. рис. 1): а—перемятые породы коуна, сумгита, агбуруна и юнусдага

вошли в верхнемайкопские слои СВ крыла лежачей Каравеллинской антиклинали [5]. В состав покрова нами включаются также раздробленные до степени тектонической брекции коун-сумгантские породы, обнаженные в широком свраге между с. Ширванзаде (Зарху) и Мирикенд. На этом участке коун-сумгантские породы лежат на майкопских слоях, а перекрываются акчагыльскими. Думается, что указанные некоренные образования под акчагылом распространяются на большую площадь и, протягиваясь в сторону с. Муганлы, составляют единую пластину с распространенными по дороге Шемаха—Ахсу и пройденными вышеуказанными скважинами коун-сумгантскими породами.

Кроме того, в состав покрова мы включаем нарушенные породы верхнего мела, залегающие на правом склоне Карабоурского оврага (у сел. Сагиян) и шабианские выходы мела, принимаемые некоторыми исследователями [11] за коренные породы и связываемые с древним поднятием. Результаты структурно-поискового бурения 1958—1962 гг. [5], а также литофациальная характеристика этих пород не оставляют сомнения в том, что указанные мезозойские образования срезаны с Ниалдагских гор (Вандамская зона) и перенесены к югу фронтом Баскальского покрова. Об этом свидетельствуют также исследования С. А. Ковалевского [9], который как Шабианский "утес", так и другие утесы Аджиноура связывал с ледниками, спускавшимися с Главного хребта. При этом, однако, надо учесть, что в то время, когда С. А. Ковалевский высказал данное мнение, Баскальский покров не был установлен. Подобные некоренные выскальвания пород верхнего мела (юнусдага) нами (совместно с Н. Т. Ахвердиевым) встречены также в двух местах к востоку от слияния Карабоурского и Матранского оврагов.

В целом Баскальский покров представляет собой синклинально-изогнутую пластину, осложненную в основном тремя кавказского простирания синклинальными прогибами и заключенными между ними двумя антиклинальными перегибами более крупного порядка. Синклинали сложены в основном ильхиадскими, а антиклинали—юнусдагскими и агбурунскими отложениями. Каждая из указанных структурных складок более низких порядков. Антиклинальные перегибы покровной пластины геоморфологически соответствуют долинам, выполненным в самых глубоких частях палеогеновыми отложениями. Последние обычно представляют собой тектонические окна аутохтона и вырисовывают также антиклинальные складки. Поэтому можно допустить, что антиклинальные перегибы в покровной пластине образовались в результате дополнительного растяжения аутохтонных (коренных) складок в период, протекавший после образования покрова.

Ширина основной массы покрова в нынешних своих размерах превышает 10—11 км. Однако перед фронтом основной массы некоторые небольшие лоскуты, состоящие в основном из юнусдагских слоев, отстоят от тылевых очертаний покрова на расстоянии 15—16 км и более. Это следует объяснить, скорее всего, разницей в скоростях передвижения основной массы и указанных лоскутов, оторвавшихся от нее в определенных обстоятельствах, нежели результатом денудационных процессов после образования покрова. Длина покрова достигает 32—35 км (от с. Диаллы на западе до с. Мирикенд на востоке). Максимальная толщина покровной пластины, судя по углам надвига верхнего мела на аутохтонный палеоген, превышает 1000—1200 м.

Время образования Баскальского покрова датируется целым геологическим веком между понтом и акчагылом, на что указывает надвигание покровной пластины на понтические породы в районе с. Бизлан и Нуран, с одной стороны, и перекрытие самой пластины акчагылом в районе с. Нуран, Нюгди (между реками Ахсу—Гирдыманчай), Муганлы, Ширванзаде и Мирикенд (Ахсу—Пирсагат) — с другой.

Образование Баскальского покрова всеми исследователями, признающими его существование, истолковывается почти одинаково. Большинство их, основываясь на сходстве пород верхнего мела Баскальского нагорья и зоны Дибара и чуждости их отложениям Вандамской фациальной зоны, допускают, что покров перемещен к югу из Ковдагского синклинория под силами гравитации, оторвавшись от "корня" в р-не г. Ковдаг вследствие тектонических подвижек вдоль Зангинского надвига [1, 2, 3, 4, 6]. При этом Б. В. Григорьянц и Б. М. Исаев считают, что во время образования Баскальского покрова часть Ковдагской ступени и Гендобское поднятие испытали погружение, а Ниалдагский хребет был приподнят, и поэтому при своем движении меловая пластина "миновала" данный хребет.

Нами в 1969 г. в соавторстве с А. А. Али-заде и другими [1] было высказано предположение относительно генезиса Баскальского покрова. Суть этого предположения заключалась в том, что образование данного покрова уподобилось образованию крупных современных оползней, которые, как известно, происходят после сильных дождей и снегопадов. Согласно указанному предположению, в среднеплиоценовое время вода, образовавшаяся от таяния ледников—последопонтического времени, просачивалась в горные породы по трещинам, обусловленным Зангинским и другими разрывами в районе горы Ковдаг. Достигнув пластичных пород юнусдагской свиты (сантон—нижний кампан), вода эта еще больше размягчила их. В дальнейшем вся пластина пород выше юнусдага начала сползать из приподнятой Ковдагской зоны к югу под силами гравитации. При этом пластичные

породы юнусдага, разжиженные водами, сыграли роль "смазки" в сношении сползающей пластины.

Это предположение еще до появления на свет встретило справедливое, следует признать, возражение В. Е. Ханина в его оппонентском отзыве на докторскую диссертацию М. М. Зейналова (1969), в которой были частично затронут также вопрос образования Баскальского покрова. По мнению В. Е. Ханина, во-первых, "существование средне-плиоценового оледенения на Кавказе является недоказанным, а для района юго-восточного погружения Б. Кавказа просто сомнительным", во-вторых, "принимаемый механизм просачивания вод также очень сомнителен. По мнению В. Е. Ханина, изложенному в указанном отзыве, "гравитация явилась лишь дополнительным фактором образования Баскальского покрова, а первотолчок был дан тангенциальным сжатием".

Условия, обусловившие образование Баскальского покрова, наиболее обоснованно и всесторонне, на наш взгляд, описаны Н. Б. Вассоевичем [3]. По его мнению, Дибранская фациально-тектоническая зона, ставшая "матерью" Баскальского покрова, в течение мелового периода неизменно прогибалась и покрылась мощной флишевой толщей. К югу от этой зоны в данное время располагалась приподнятая зона с явными геоантклинальными тенденциями. На рубеже мелового и третичного периодов Дибранская зона испытывала общее поднятие, а Вандамская зона с прилегающими участками, наоборот, опускалась. Процесс этот в миоцене значительно усилился. Воздымяние Дибранской зоны сопровождалось тангенциальным сжатием флишевых осадков. В результате отслаивались верхние, более компактные, существенно известняковые свиты флишевой зоны от нижних, песчано-глинистых, и, отрываясь от "субстрата", перемещались из области усиливающегося поднятия в смежную депрессию под влиянием собственного веса, т. е. действием равномерно распределенных сил. Поэтому Н. Б. Вассоевич такие покровы сползания называет гравитационными (покровами свободного скольжения). Гравитационный механизм перемещения покровной пластины, как справедливо указывают В. Е. Хани и другие [12], исключал образование зон перетирания или разлизования и надвигание одних частей аллохтона на другие.

Следует допустить, что во время образования описываемого покрова на месте его будущей "стоянки" отсутствовали возвышенности с резкими очертаниями и район Баскальского нагорья представлял собой пологую лощину. Вдоль современной Гюргиево-Ленгебизской гряды тянулась тектонически и орографически приподнятая зона—северо-западная часть Ленгебиз-Алятской складчатости, преградившая путь дальнейшему сползанию покровной пластины на юг.

ЛИТЕРАТУРА

1. Али-заде А. А., Ахмедов Г. А., Зейналов М. М., Ахвердинов Н. Т., Зейналов А. М. Тектоника междуречья Пирсагат—Гирдыман в свете, Хани В. Е. Явления покровной тектоники в Лагичских горах. Изв. АН СССР, серия геол., вып. 1, 1940. 2. Вансоевич Н. Б. О крупных тектонических покровах в Восточном Закавказье. Зап. Всерос. минер. о-ва, ч. XIX, № 2—3, 1940 № 7, 1958. 3. Зейналов А. М. О Баскальском покрове на ЮВ Кавказе. Сов. геол. отчет о результатах структурно-поискового бурения на площади Матраса—Чараган (1958—1962 гг.). Фонд АзМНР, 1963. 4. Исаев Б. М., Алиев Р. А. Отчет Баскальской поисково-съемочной партии за 1959 г. Азерб. геол. фонд, 1960. 5. Кирilloва И. В., Сорский А. А. К вопросу о Баскальском покрове в Восточном Закавказье. ДАН СССР, т. 83, № 5, 1952. 6. Клещев А. И. Аху-северная; отчет о геологическом картировании в 1932 г. Фонд АзМНР. 7. Ковалевский С. А.

Континентальные толщи Аджиниура (стратиграфия и генезис). Труды треста АзМНР, 1936. 10. Соловкин А. Н. О Баскальском покрове и фациально-тектоническом районировании. Изв. АзФАН СССР, № 7, 1945. 11. Хани В. Е. Тектоника Большого Кавказа. Геология Азерб., т. II, ч. I. Тектоника. Изд-во АН Азерб. ССР, 1953. 12. Хани В. Е., Агаджев М. Г., Шарданов А. Н. Методика, применяемая при составлении тектонической карты Азерб. ССР. Труды совещ. по тектонике, геосинклиналь, геодинамика и геоморфология Кавказа. Изд-во АН Азерб. ССР, 1956.

АзВНИИ геофизика

Поступило 19. IV 1972

А. М. Зейналов

Басгал тектоник өртүйү барәдә јени мә'лumatлар (Чәнуб-шәрги Гафгаз)

ХУЛАСӘ

Мәгаләдә 1958—1965-чи илләрдә Шамахы рајонунда апарылмыш кеоложи-тәдгигат ишләри вә структур-ахтарыш газмасы нәтичәсindә Басгал тектоник өртүйү барәдә элә едилен јени мә'лumatлардан бәhc олунмушдур. Ыэм чөл, ыэм дә гүјү материаллары әсасында Басгал өртүйүнүн варлығы сүбүт едилиши вә көстәрилмешdir ки, бу өртүк Басгалдан 20—25 км шималда йөрлөшән Говдағ саһәсindән өз ағырлыг гүввәсиин тә'сири алтында сүрүшүб кәлмишdir. Сүрүшмәни башланмасына тектоник тәкан сәбәб олмушдур.

А. М. Zeynalov

New facts about Bascal overthrust sheet
(south eastern Caucas)

SUMMARY

New facts are described in this article about Bascal overthrust sheet which are received by drilling and by field geological research in 1958—1965 years. It is showed that the sheet was formed by gliding under forces of gravition.

ИССЛЕДОВАНИЕ ХИМИЧЕСКИХ ПАРАМЕТРОВ
БИТУМА И СПИРТО-БЕНЗОЛЬНОГО ЭКСТРАКТА

БОЛДУК

УДК 553. 061. 4
СОВРЕМЕННЫЕ МЕТОДЫ ИССЛЕДОВАНИЯ БИТУМА И СПИРТО-БЕНЗОЛЬНОГО ЭКСТРАКТА

ГЕОХИМИЯ

Ад. А. АЛИЕВ

О РАСПРЕДЕЛЕНИИ ОВ И НЕКОТОРЫХ ХИМИЧЕСКИХ
ЭЛЕМЕНТОВ В ВЕРХНЕПЛИОЦЕНОВЫХ ОТЛОЖЕНИЯХ
ЛЕНГЕБИЗСКОЙ МОНОКЛИНАЛИ

(Представлено академиком АН Азербайджанской ССР М. А. Кашкаем)

Верхнеплиоценовый комплекс отложений в пределах исследуемой территории широко развит и представлен в песчано-глинисто-известняковой литофации общей мощностью 1500 м. Акчагыльский ярус расчленяется на 2 подъяруса: нижний и верхний. Первый выражен преимущественно глинами, второй—песчано-глинистыми осадками. Апшеронский ярус подразделяется на три подъяруса. Нижний апшерон в основном глинистый, средний подъярус песчано-глинистый, в верхнем апшероне заметную роль приобретают карбонатные породы.

В статье изложены результаты геохимических исследований 59 образцов песчано-глинистых пород акчагыло-апшеронских отложений Ортабулагского разреза Ленгебизской гряды

В распределении хлороформенного битума (ХБ) по разрезу верхнеплиоценовых отложений Ленгебизской моноклинали отмечается преобладающая его роль в среднем подъярусе апшерона и в акчагыле. Сравнительно повышенные значения ХБ в пределах 0,05—0,10% и более приурочены, в основном, к глинистым породам среднего апшерона. В нижнем и верхнем подъярусах содержание битума не превышает 0,025—0,035%. Акчагыльские отложения в разрезе выделяются своей высокой битуминозностью, которая в среднем составляет 0,036%.

Содержание спирто-бензольного битума (СББ) по всему разрезу акчагыло-апшеронских отложений изменяется скачкообразно, в довольно широких пределах от следов до 0,09%, в ряде интервалов образуя аномальные участки, выражющиеся в количественном отношении 0,13—0,44% (рис. 1).

Высокий процент СББ содержат акчагыльские отложения, в среднем составляя для нижнего акчагыла 0,063%, для верхнего подъяруса 0,074%. В разрезе апшеронского яруса также битуминозны породы среднего подъяруса (0,04%). По всему разрезу верхнего плиоцена наблюдается преобладание в породах СББ. Отношение $\frac{СББ}{ХБ}$ больше 1.

Доминирующая роль спирто-бензольного экстракта указывает на преимущественно кислый или нейтральный характер битумов изучаемых отложений.

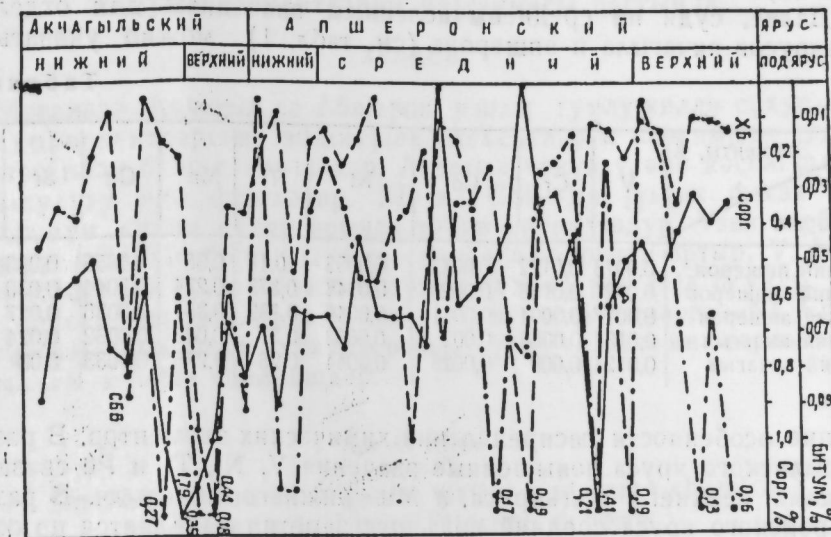


Рис. 1. Распределение ХБ и СББ по разрезу акчагыло-апшеронских отложений

В распределении органического углерода ($C_{орг}$) по разрезу отмечается тенденция закономерного увеличения его содержания со стратиграфической глубиной как в пределах апшеронского яруса, так и акчагыла, что, возможно, связано с увеличением роли глин в нижних горизонтах. В целом от верхнего подъяруса апшерона к нижнему акчагылу количество $C_{орг}$ закономерно увеличивается от 0,41 до 0,86% (средние значения).

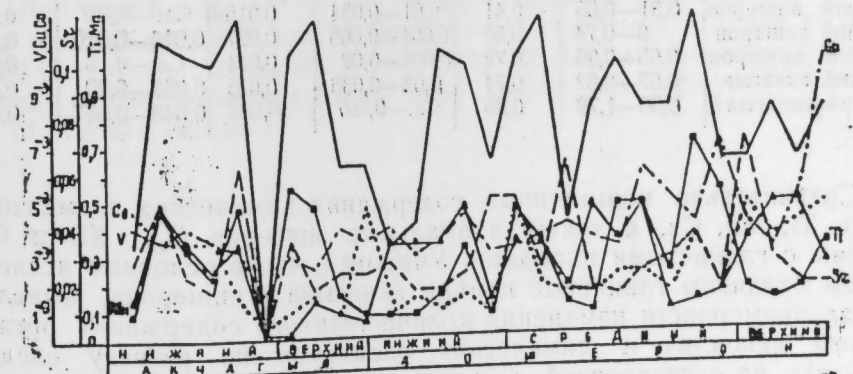


Рис. 2. Кривые изменения содержания химических элементов в верхнеплиоценовых отложениях Ленгебизской гряды

Содержание органического углерода в исследуемых породах колеблется в пределах 0,3—1,79% и составляет в среднем для акчагыла—0,8%, для апшерона—0,55%. В целом описываемый разрез дифференцирован, выделяется ряд обогащенных органикой интервалов в акчагыле и в среднем подъярусе апшерона (см. рис. 1).

В распределении химических элементов по разрезу акчагыло-апшеронских отложений Ленгебизской моноклинали наблюдается следующая картина. Прежде всего, следует отметить закономерное уменьшение сверху вниз по разрезу верхнего плиоцена содержания $C_{орг}$

(0,0122—0,009 %), Cu (0,0055—0,0033 %) и Sr (0,033—0,024 %), а по разрезу апшеронского яруса—Ni (0,0053—0,0046 %) и Co (0,0042—0,0011 %).

Далее, судя по средневычисленным значениям для отдельных подъярусов акчагыла и апшерона (см. табл. 1) можно указать сле-

Таблица 1

Элементы, %	V	Cr	Co	Ni	Tl	Mn	Cu	Sr	Pb
Возраст									
Верхний апшерон	0,0073	0,0122	0,0042	0,0053	0,18	0,38	0,0055	0,033	0,0015
Средний апшерон	0,0121	0,0108	0,0023	0,0048	0,373	0,274	0,0044	0,030	0,0012
Нижний апшерон	0,0077	0,0094	0,0011	0,0046	0,139	0,36	0,0036	0,027	0,0018
Верхний акчагыл	0,0134	0,0088	0,002	0,0053	0,31	0,085	0,0032	0,024	0,0022
Нижний акчагыл	0,0124	0,009	0,0028	0,0044	0,26	0,275	0,0033	0,03	0,0016

дующие особенности распределения химических элементов. В разрезе акчагыльского яруса повышенные значения V, Ni, Tl и Pb связаны с породами верхнего подъяруса, а Mn—нижнего акчагыла. В разрезе апшеронского яруса средний подъярус заметно выделяется по содержанию в породах V (0,0121 %) и Tl (0,373 %). Максимальное содержание Mn (0,38 %) определено в верхнем апшероне.

Таблица 2

Компоненты, %	С _{орг}		ХБ		СББ	
	Пред. содерж.	Сред. знач.	Пред. содерж.	Сред. знач.	Пред. содерж.	Сред. знач.
Возраст						
Верхний апшерон	0,31—0,55	0,41	0,01—0,034	0,016	Сл.—0,067	0,039
Средний апшерон	0—0,74	0,50	0,004—0,066	0,027	0,014—0,076	0,04
Нижний апшерон	0,65—0,90	0,72	0,008—0,02	0,014	Сл.—0,35	0,02
Верхний акчагыл	0,67—0,82	0,74	0,03—0,036	0,035	0,057—0,09	0,074
Нижний акчагыл	0,50—1,79	0,86	Сл.—0,097	0,036	0,043—0,087	0,063

Сравнительно повышенные содержания химических элементов—V, Ni, Ti, Mn, Cu, а также аномальные значения С_{орг}, ХБ и СББ связаны с глинистыми породами. Учитывая, что в основном исследованием охвачены глинистые породы акчагыла и апшерона, выявленные закономерности изменения количественного содержания органического вещества и химических элементов по разрезу следует связывать не с литологией, а скорее с характерными особенностями этих отложений, условиями их седиментогенеза и диагенеза осадков.

Касаясь связи органического вещества пород с химическими элементами, следует отметить следующее. Высокие значения V, Ni, Tl определены в наиболее битуминозных породах акчагыла и среднего апшерона. Изменение ряда элементов—Ni, Cr, Cu, Sr, Co—по разрезу апшеронских отложений находится в прямой зависимости от содержания в породах спирто-бензольного битума и обратной связи с распределением органического вещества.

Институт геологии

Поступило 25. V 1971

Ад. А. Элиев

Лэнкэбиз моноклиналының үст плиосен јашлы чөкүнтуләрнән үзви маддәнин вә бә'зи кимјәви элементләрни пајланмасы һағында

ХУЛАСӘ

Мәгаләдә Акчагыл вә Апшерон јышлы гумлу-килли сүхурларының үзви компонентләрниң вә кимјәви элементләрни кеокимјәни тәдгиги нәтичәсендән бәһс едилемшиләр. Акчагыл чөкүнтуләри кәсилишдә өз битумлулуғу илә фәргләнир. ХБ вә СББ-ниң јүсәк фазын Орта Апшеронун кишли сүхурларында тә'жи олунмушадур. Үзви карбонун мигдары кәсилиш бою үзүрләрдан ашағы тәрігән артыр. V, Ni, Tl элементләрниң јүсәк фазын битумлу сүхурларда гәдә олунур. Тәдгиг олугиң чөкүнтуләрдә бә'зи кимјәви элементләрни—Ni, Cr, Co, Cu-ның пејлаи масының сүхурларда үзви маддәнин варлығынан асылылығы мүәјжән едилемшиләр.

Ad. A. Aliev

On distribution of organic matter and some chemical elements in Upper Pliocene deposits of Lengebizz monocline

SUMMARY

Akchagyl deposits are distinguished by their high bituminosity. High significance (value) of chloroform bitumen and alcohol benzol bitumen are mainly connected to clay rocks of middle Apsheron. Bitumen carry mainly acid and neutral character. In distribution of organic carbon section tendency of regular increase of its composition with stratigraphic depth is marked, both in the rocks of Apsheron stage and in Akchagyl.

High significances of V, Ni, Tl are determined in more bituminosity rocks of Akchagyl and middle Apsheron. The change of some elements of Ni, Cr, Cu, Sr, Co on section of Apsheron depend on the composition in rocks of alcohol benzol bitumen and inverse connection with distribution of organic carbon.

Изучение хлопчатника, на котором вспомогательные приемы обработки семян и посева не дают ожидаемого результата, а применение радиоактивных изотопов для облучения семян дает хорошие результаты. В статье приведены данные по исследованию хлопчатника на различных почвах и определены оптимальные дозы облучения для получения высоких урожаев хлопка-сырца.

УДК 633. 531. 17+630:83

АГРОХИМИЯ

Акад. Д. М. ГУСЕЙНОВ, Р. Э. ЭЮБОВ, Ф. Г. ИСАЕВА

ПРЕДПОСЕВНОЕ ОБЛУЧЕНИЕ СЕМЯН В ПРОИЗВОДСТВЕ

С 1956 г. в Азербайджане нами изучается действие предпосевного облучения семян гамма-лучами Co^{60} на урожай и качество хлопка-сырца, зерна кукурузы и сена люцерны в вегетационных, полевых и производственных условиях.

Полевые опыты проводились в течение 10 лет (1958—1967 г.) на сероземно-луговых и темно-луговых почвах Уджарского опорного пункта Института почвоведения и агрохимии АН Азербайджанской ССР, колхозов "Ленинград" и им 28 Апреля Уджарского района, на каштановых почвах Акстафинского опытного поля АзНИХИ и в колхозе им. Комсомола Казахского района и на светло-каштановых почвах колхоза "Шафаг" Касум-Исмайлловского района.

Гамма-облучения при помощи доз 700 и 800 $r/\text{мин}$ осуществляли на гамма-установке Института биофизики Академии наук ССР и Института химии и электрохимии АН Грузинской ССР.

В опытах с гамма-облучением испытывались дозы от 100 до 80 000 r . Все агротехнические работы осуществлялись по агроправилам для данных районов Азербайджанской ССР.

В полевых условиях полученные фенологические показатели свидетельствуют о том, что предпосевное облучение семян гамма-лучами Co^{60} в дозах от 100 до 5000 r положительно действует на рост, развитие и созревание хлопчатника, кукурузы и люцерны, увеличение же дозы облучения до 50 000 r задерживает рост, плодоношение и созревание данных культур. Высокие дозы угнетают прорастание семян хлопчатника, кукурузы и люцерны.

Наилучший результат получен при предпосевном облучении семян гамма-лучами в дозах 1000 и 2500 r . В среднем за четыре года высота главного стебля хлопчатника превысила контроль на 2,5—4,0 см, а количество коробочек — на 1,9—2,6 шт., раскрытие коробочек по сравнению с контролем ускорилось на 3—4 дня.

Как на сероземно-луговых, так и на каштановых почвах в тех же вариантах, в которых стимулировались рост и развитие хлопчатника, получены более высокие урожаи хлопка по сравнению с контролем. Прибавка урожая при облучении семян дозой 2500 r в среднем за 4 года составляет 2,7—4,0 ц/га, или 14—15%, против урожая в контроле 28,8 и 17,4 ц/га (табл. 1).

Данные об урожае в полевых опытах подвергались математической обработке по методу Перегудова.

Таблица 1
Влияние предпосевного облучения семян гамма-лучами Co^{60} на повышение урожая хлопка-сырца

Доза облучения, r	Урожай, ц/га				Средн. за 4 года	Прибавка, ц/га
	1964	1965	1966	1967		
Сероземно-луговые почвы						
Контроль	29,1	30,9	27,0	28,2	28,8	—
1 000	31,7	32,1	28,1	30,0	30,5	1,7
2 500	34,1	35,7	30,3	31,2	32,8	4,0
5 000	30,0	33,6	28,7	29,9	30,5	1,7
	$P = 2,26$ $E = 0,65$	$P = 0,82$ $E = 0,26$	$P = 0,96$ $E = 0,28$	$P = 2,3$ $E = 1,1$		
Каштановые почвы						
Контроль	19,0	17,3	15,3	18,3	17,4	—
1 000	21,5	17,9	17,3	19,4	19,0	1,6
2 500	21,9	18,8	18,9	20,6	20,1	2,7
5 000	22,1	18,9	19,2	29,8	20,2	2,8
	$P = 1,33$ $E = 0,26$	$P = 0,99$ $E = 0,17$	$P = 1,98$ $E = 0,32$	$P = 2,1$ $E = 1,1$		

В 1965—1966 гг. для проверки результатов деляночных опытов о влиянии предпосевного облучения семян гамма-лучами Co^{60} в дозе 2500 r на урожайность хлопчатника нами были заложены производственные опыты в совхозе "Ленинград" Уджарского района. Повторность 3-кратная. Площадь учетной делянки 1 га.

Таблица 2
Влияние предпосевного облучения семян гамма-лучами Co^{60} на урожай зерна кукурузы (гибрид Краснодарский-5)

Варианты	Урожай зерна при 14% влажности					Прибавка ц/га	% уровень
	1963 г. Средний урожай, ц/га	1964 г. Средний урожай, ц/га	1965 г. Средний урожай, ц/га	1966 г. Средний урожай, ц/га	Сред. дан- ные за 4 года, ц/га		
Контроль (необлученные семена)	34,5	21,7	39,5	25,3	27,8	—	—
Облученные семена 1000 r	39,9	25,3	44,4	31,1	35,1	7,3	23
Облученные семена 2500 r	40,1	25,0	43,6	30,3	34,7	6,9	24
Облученные семена 5000 r	38,2	24,8	40,5	29,9	34,3	6,5	26
Точность опыта $P = 1,97$ $E = 0,68$	$P = 3,38$ $E = 0,75$	$P = 2,51$ $E = 0,99$	$P = 2,23$ $E = 0,66$				

В производственных опытах в результате предпосевного облучения семян повысился урожай хлопка-сырца, и ускорилось раскрытие коробочек хлопчатника. Так, например, если в контролльном варианте

в 1965—1966 гг. первый сбор составил 33—31% от общего сбора, то в варианте с облученными семенами в дозе 2500 р—44 и 43%.

Многочисленные опыты, проведенные в течение 10 лет (1958—1968 гг.) в разных почвенно-климатических условиях Азербайджана показали, что предпосевное облучение семян гамма-лучами (1000—2500 р) дало прибавку урожая в среднем 2,8—3,6 ц/га хлопка по сравнению с контролем.

Предпосевное облучение семян малыми дозами гамма-лучей Со⁶⁰ от 1000 до 5000 р способствовало повышению урожая кукурузы (табл. 2).

Таким образом, как показано в табл. 2, наиболее эффективными дозами облучения семян для кукурузы являются 1000 и 2500 р, при которых прибавка урожая составляла 5,4—6,6 ц/га в 1963 г., 3,3 и 3,6 ц/га в 1964 г.; 4,1—4,9 ц/га в 1965 г. и 5,0—5,8 ц/га в 1966 г. по сравнению с контролем. Аналогичные данные получены и с кукурузой сорта ВИР-42. С этой целью в 1968 г. нами проведено внедрение мероприятий по посеву облученными семенами хлопчатника, кукурузы и люцерны в совхозе им. Ленина Казахского района, в колхозе «Шафаг» Касум-Исмайлловского района и в колхозе «Бакинский рабочий» Кюрдамирского района на площади по 50 га. Из данных табл. 4 видно, что предпосевное облучение семян гамма-лучами при использовании фона минеральных удобрений заметно повышает урожай зерна кукурузы. Под влиянием предпосевного облучения семян урожай зерна кукурузы увеличивается на 1,8 ц/га, или 11%, по сравнению с контролем (необлученные семена). Общий урожай получен низкий, так как 1968 г. был годом засушливым—маловодным (табл. 3).

Под влиянием предпосевного облучения семян гамма-лучами Со⁶⁰ урожай хлопчатника в 1968 г. сорта 2424 улучшенный составил 21,9 ц/га и увеличился на 2,6 ц/га, или на 13%, по сравнению с контролем, а сорта С-4727 соответственно: 15,8 и 2,1 ц/га, или 15%.

Таблица 3

Результаты внедрения в производство и экономическая эффективность предпосевного облучения семян гамма-лучами Со⁶⁰ хлопчатника и кукурузы

Доза облучения, р	Хлопчатник сорта 2421 ул.		Хлопчатник сорта С-4727		Кукуруза Краснодар.-5	
	Средн. урожай, ц/га	Прибавка	Средн. урожай, ц/га	Прибавка	Средн. урожай, ц/га	Прибавка
	ц/га	%	ц/га	%	ц/га	%
1968 г.						
Контроль	19,3	—	—	—	13,0	—
1000 р	21,9	2,6	13	2 600	15,8	2,1
2500 р	21,9	2,6	13	2 600	15,8	2,1
1969 г.						
Контроль	28,7	—	—	—	11,0	—
1000 р	—	—	—	—	—	—
2500 р	30,8	2,1	7	2 000	12,8	1,8
					16	1 900
					15,8	—
					18,0	—
					2,2	14
					—	—
					—	—

Наряду с увеличением урожая хлопчатника под влиянием предпосевного облучения семян наблюдаются повышение и выход волокна.

В целях изучения влияния предпосевного облучения семян гамма-лучами Со⁶⁰ на качество кукурузы с опытных участков взяты пробы для анализов. Данные биохимического состава зеленой массы кукурузы, приведенные в табл. 4, показывают, что под действием пред-

Таблица 4

Влияние предпосевного облучения семян гамма-лучами Со⁶⁰ на биохимический состав зеленой массы кукурузы (гибрид Краснодарский-5)

Доза, р	% сахаров на воздушно-сухое вещество			% общего азота	% сырого протеина, 6,25	% золы
	Редуцирующие сахара	Сахароза	Сумма растворимых углеводородов			
Контроль	0,94	1,60	2,63	4,02	25,12	10,62
250	1,35	0,44	1,81	7,57	47,31	8,65
500	1,81	0,74	2,69	9,21	57,56	6,39
1 000	3,45	2,56	6,15	9,43	58,93	12,85
2 500	4,53	2,17	6,82	8,69	54,31	9,15
5 000	2,35	0,34	2,71	8,68	54,25	8,22
10 000	1,65	0,75	2,44	4,55	28,46	8,10
20 000	1,24	0,81	2,09	4,07	25,43	8,54

посевного облучения семян кукурузы гамма-лучами Со⁶⁰ наблюдается улучшение качества зеленой массы кукурузы. При дозах облучения семян 1000 и 2500 р значительно увеличивается в зеленой массе протеин, редуцирующие сахара и общий азот по сравнению с данными, полученными в контроле.

Так, показатели суммы растворимых углеводородов превышают контроль на 3,62 и 4,19% и общий азот на 5,41 и 4,67%. Сравнительно высокие дозы 5, 10 и 20 тыс. р вызывают уменьшение суммы растворимых углеводородов, в основном за счет сахарозы.

Исследования, проведенные в полевых условиях, показали, что под действием предпосевного облучения семян гамма-лучами Со⁶⁰ в дозе от 500 до 20 000 р стимулируются рост, развитие и увеличивается урожай сена люцерны (табл. 5) в пределах от 6,9 до 31,1 ц/га (11—50%) по сравнению с контролем. При увеличении дозы излучения от 40 000 до 60 000 р процессы роста растений замедляются и резко снижается урожай по сравнению с контролем.

Таблица 5

Влияние предпосевного облучения семян гамма-лучами Со⁶⁰ на урожай сена люцерны

Дозы облучения, р	Урожай сена люцерны, ц/га			Средний урожай за 3 года	Прибавка
	1954	1955	1963		
Контроль (сух. семена)	59,2	42,8	86,2	62,7	—
500	67,1	57,8	111,2	78,7	16,0
1 000	74,0	65,0	118,3	85,8	23,1
2 500	84,0	68,0	120,0	90,7	44,7
5 000	87,3	70,2	124,0	93,8	50,0
10 000	82,9	63,7	104,7	83,8	21,1
20 000	75,0	47,8	85,9	69,6	11,0

$$P/E = \frac{0,46}{0,32} : \frac{4,8}{2,7} : \frac{1,37}{1,34}$$

Результаты анализов показывают, что предпосевное облучение семян гамма-лучами Co^{60} в дозе от 500 до 20 000 р. положительно влияет на содержание общего азота в сене люцерны. На основании проведенных опытов можно сделать следующие выводы.

Предпосевное облучение семян гамма-лучами Co^{60} от 1 000 до 5 000 р оказывает положительное действие на развитие вегетативных и генеративных органов хлопчатника, кукурузы и люцерны. Результаты проведенных исследований показали, что от предпосевного облучения семян малыми дозами от 1 000 до 5 000 р гамма-лучами Co^{60} урожай хлопчатника увеличивается от 1,6 до 4,0 ц/га, урожай зерна кукурузы 2,6—7,3 ц/га, сена люцерны 16,0—31,1 ц/га по сравнению с контролем.

Экономический эффект от внедрения мероприятий по применению предпосевного облучения семян гамма-лучами Co^{60} на площади по 50 га увеличивается от хлопчатника сорта 2421 ул. (колхоз „Шафаг“ Касым-Исмайлловского района) на 2 600 руб.; от хлопчатника сорта С-4727 (совхоз им. 28 Апреля) Уджарского района—2 100 руб. и от зерна кукурузы (совхоз им. Ленина Казахского района) на 450 руб.

Институт почвоведения и агрохимии

Поступило 7. XI 1971

Ч. М. Һүсейнов, Р. Э. Әжжубов, Ф. һ. Исајева

Истеңсалат шәрәнтиндә сәпиндән әввәл тохумларын шумландырылмасы

ХУЛАС

Тәдгигатлар 10 ил мүддәтиндә Учар рајонунун боз-чәмән, Гасым Исмаїлов рајонунун ачыг-шабалыды вә Газах рајонунун шабалыды торпеглерында апарылыштыр.

Тәңрүбәләр мұхтәлиф дозаларда 1000 рентгенден 80 000 рентгенә кими гамма шұасы Co^{60} -ла шуалаңдырылмыш памбыг чијиди, гарғыдалы вә јонча тохуму илә спарылышты.

Мүәյжән единмишdir ки, гуру памбыг чиңдинин, гарғыдалы вә јонча тохумуну сәпиндән әввәл кичик дозаларда (1000—5000 рент-кенә кими) гамма шұасы илә шуаландырылмасы нәтижәсіндә hәр һектардан памбығын мәһсулу 1,6 сант-дән 4,0 сант-ә, гарғыдалының дәни 2,6-дан 7,3 сант-ә, јонча отунун мәһсулу ксә 16,0—31,1 сант-ә гәдәр контрола иисбәтән өртмышдыр.

ТОМ XXX ЧИЛД

N₂ O

1974

УДК 581.84

АНАТОМИЯ РАСТЕНИЙ

Ш. Г. ДАДАШЕВА

К АНАТОМИИ ОСЕВЫХ ОРГАНОВ НЕКОТОРЫХ ПРЕДСТАВИТЕЛЕЙ ЛЮТИКОВЫХ АЗЕРБАЙДЖАНА

(Представлено академиком АН Азербайджанской ССР И.К. Абдуллаевым)

Лютиковые являются представителями древней группы многоплодниковых, тем не менее они хорошо приспособлены к современным условиям. В их анатомическом строении, наряду с некоторыми архаическими чертами, мы находим также признаки высокой специализации, что делает это семейство очень перспективным объектом для диагностической филогении и систематической анатомии.

Семейство *Kaninaceae* содержит около 30 рядов и 1200 видов, имеющих рассеянное, достаточно широкое распространение, преимущественно в северной внетропической области.

В Азербайджане произрастает 98 видов лютиковых, относящихся к 22 родам. Преобладающая часть их является травами, главным образом многолетниками.

Изучению вегетативных органов лютниковых посвящена довольно большая литература; Strasburger, 1881; Bonnier, 1889; Holm, 1908; Тахтаджян, 1948; Курсанов, Ксмарницкий и др., 1958; Раздольский, 1949; Н. Жукова, 1955; Куклина, 1961; Туманян, 1965; А. Иванова, 1965. Несколько подробно этот вопрос освещен в работах Меткафа и Чока, 1950; P. Marie 1884; Солередера (Solereder, 1893—1898) и др.

P. Marie [1] в результате своего исследования приходит к выводу о том, что центральный цилиндр корня у некоторых родов сохраняется в первичном состоянии или в нем рассеяны редко несколько вторичных сосудов. Только у *Heleborae*, *Clematis* и *Paeonia* наблюдается значительное развитие вторичной проводящей ткани. Расположение пучков в стебле менее однообразно, что заслуживает, по мнению автора, особого внимания, поскольку указывает на некоторые общие свойства в строении с пучками однодольных.

Род *Kaninellaceae*, с точки зрения P. Marie, является исходным для всего семейства, и он характеризуется небольшим числом проводящих пучков в стебле, расположенных в один круг. Корни у представителей этого рода большей частью сохраняют первичное строение.

Меткаф и Чок [2] установили, что большинство травянистых *Ranunculaceae* характеризуются закрытым типом проводящих пучков, расположенных либо в несколько кругов, либо разбросанных в бес-

порядке. Авторы указывают также, что *Ranunculaceae* имеют закрытые пучки, схожие с пучками однодольных.

Исследований, посвященных анатомии лютиковых, произрастающих на территории Азербайджана, насколько нам известно, нет.

Настоящая работа является результатом анатомического исследования 43 видов лютиковых из 19 родов, встречающихся в Азербайджане: *Paeonia* L. (*P. macrosewitschii*, *P. tenuifolia*); *Caltha* L. (*R. polypetala*); *Trollius* L. (*T. patulus*); *Nigella* L. (*N. orientalis*); *Actaea* L. (*A. spicata*); *Aquilegia* L. (*A. olympica*); *Consolida* S. Gray (*C. daricata*, *C. orientalis*); *Delphinium* L. (*D. flexuosum* M. B., *D. araraticum*, *D. buschianum*, *D. cyprioplectrum*, *D. freynii*, *D. szovitsianum*); *Aconitum* L. (*A. orientale*, *A. nasutum*, *A. confertiflorum*); *Anemone* L. (*A. fasciculata*); *Pulsatilla* (*P. albana*); *Clematis* L. (*C. vitalba*, *orientalis*); *Batrachium* S. F. Gray (*B. ariacatum*); *Ranunculus* L. (*R. repens*, *R. caucasica*, *R. megalensis*, *R. buschia*, *R. oreophilus*, *R. neyerianus*, *R. bulbosus*, *R. villosus*; *R. elegans*, *R. kotschi*, *R. chius*, *R. muricatus*, *R. trachycarpus*, *R. lomatocarpus*, *R. orientalis*, *R. oxyspermus*, *R. hyrcanus*); *Thalictrum* L. (*Th. minus*); *Adonis* L. (*A. aestivalis*, *A. bienertii*).

Задачей исследования было выявление структурных особенностей, характеризующих как отдельные виды и роды, так и семейство в целом. Анализу подверглись стебель и корень взрослого растения, показавшие в результате сравнительно-анатомических исследований значительное однообразие в строении.

Для семейства, в пределах исследованных нами видов, характерен коллатеральный тип проводящих пучков, наличие простых перфораций у сосудов, очередной или супротивный тип межсосудистой поровости. Проводящие пучки имеют действительно большое сходство с пучками однодольных, но в отличие от последних показывают слабую активность камбия.

Кора у многих представителей род *Ranunculus* представлена аэнхимой. Центральный цилиндр корня у подавляющего числа видов сохраняет первичное строение. Большинство родов семейства

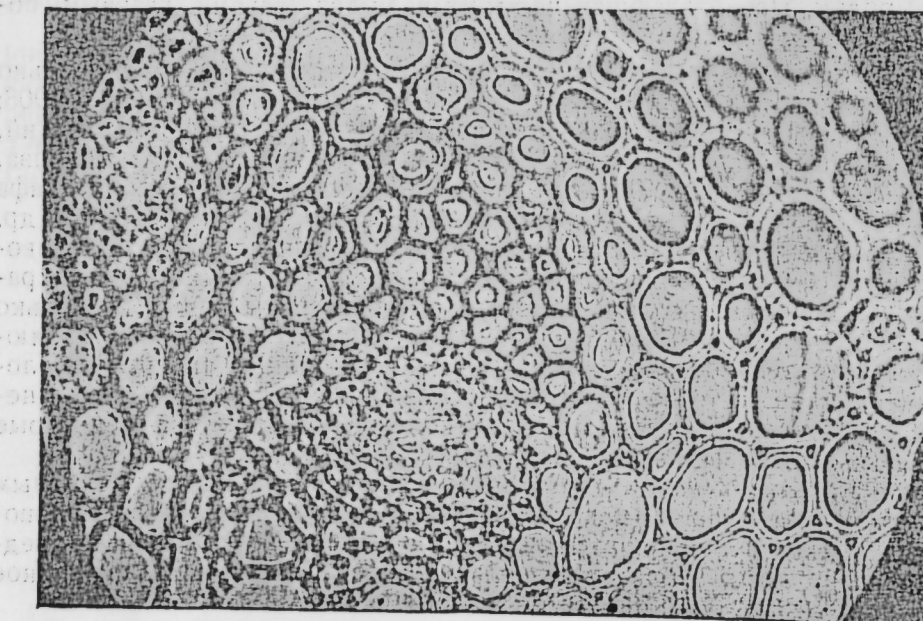


Рис. 1. Поперечный разрез стебля *Delphinium* W. Busch.

(*Delphinium*, *Acinitum*, *Ranunculus*) характеризуются наличием мощно развитой склеренхимной обкладки в проводящих пучках, которая непосредственно примыкает к элементам флоэмы. Проводящие пучки обычно окружены склеренхимной обкладкой или имеют обкладку только со стороны ксилемы. Исследованные нами виды характеризуются преобладанием однослоиной тонкостенной эпидермы с сильно развитой кутикулой.

Устьица не погруженные. Клетки сердцевинных лучей одревесневшие, но встречаются виды с тонкостенными живыми клетками. Большинство родов характеризуется широким кольцом механических элементов. Исключением является род *Paeonia*, у которого ряд признаков существенно отличается от остальных представителей семейства (рис. 1, 2, 3, 4, 5).

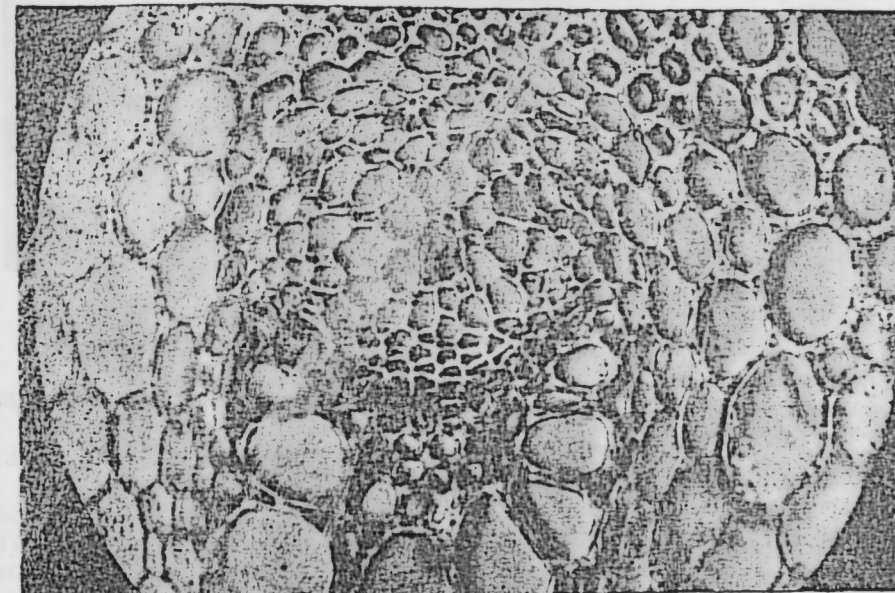


Рис. 2. Поперечный разрез стебля *Aconitum nasutum* Fisch.

Нами установлен ряд отличительных черт, характерных для каждого рода в отдельности.

Так, для рода *Paeonia* характерным является образование сплошного кольца ксилемы, наличие лестничных перфораций сосудов; супротивный тип межсосудистой поровости как в стебле, так и в корне.

Род *Actaea* характеризуется наличием склеренхимной обкладки вокруг пучков и полной редукцией пучкового камбия.

Delphinium отличается наличием большого числа пучков (15–30), расположенных преимущественно в один круг. Пучки выделяются своими большими размерами. У видов данного рода отмечается сильное развитие колленхимной ткани (рис. 1).

Отличительной особенностью аконитумов является большое сходство эпидермальных клеток с клетками прилегающей к ней гиподермы, создающей впечатление двуслойной эпидермы. Это сходство было отмечено также С. А. Туманиян [3] у исследованных ею аконитов.

Род *Consolida* характеризуется наличием как сплошного проводящего кольца, так и пучкового. У некоторых видов развито сплошное камбимальное кольцо, у других — пучковый камбий.

Представители рода *Caltha*, в отличие от остальных родов семейства (за исключением *Paeonia*), характеризуются лестничными перфорациями сосудов и беспорядочным расположением пучков.

Виды рода *Ranunculus* характеризуются сохранением первичного строения коря и мощной развитой первичной коровой паренхимой. Отмечается двухслойная склеренхимная обкладка. Ассимиляционная:

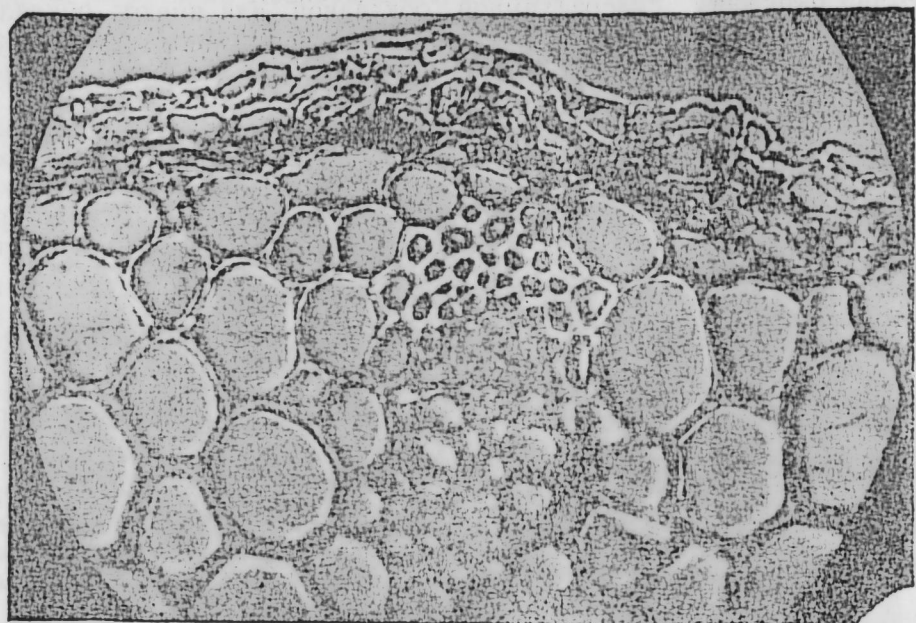


Рис. 3. Поперечный разрез стебля *Ranunculus bulbosus* L.

паренхима большинства видов (*R. caucasicus* M. B., *R. lomatocarpus* F. et M. и др.) представлена аэренхимой.

Следует сказать, что сильное развитие механического кольца отмечено лишь у *R. hyrcanus* A. Grossb., *R. buksei* Boiss.

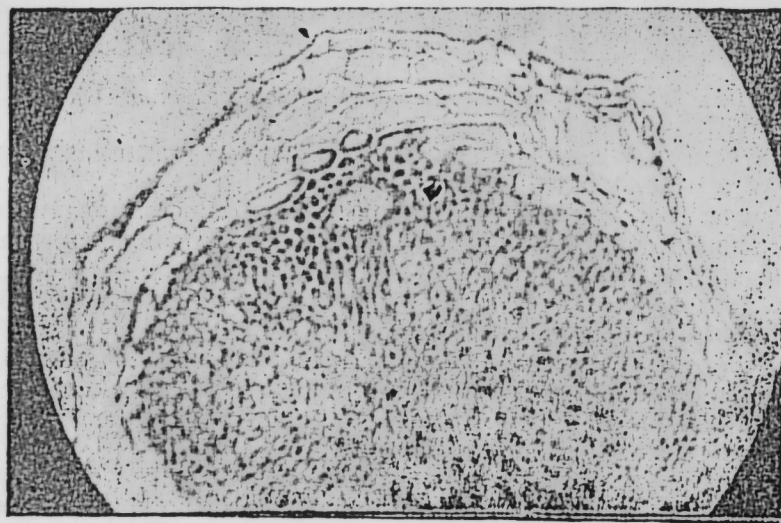


Рис. 4. Поперечный разрез стебля *Ranunculus lomatocarpus* F. et M.

Перицикл у этих видов в большинстве случаев сильно склерирован и часто не переходит к меристематической активности, в результате чего в корне вторичная коровая паренхима не образуется.

У многих видов камбий редуцирован (*R. caucasicus*, *R. luskei* и др.) или очень слабо развит (*R. bulbosus*, *R. elegans* и др.).

Род *Thalictrum* представлен одним видом *Th. minus*, характерной особенностью которого является двойной круг расположения пучков и тонкостенная эндодерма в корне. Наличие многорядных пучков указывает на более высокую степень развития представителей этого рода по сравнению с остальными исследованными видами.

Для представителей рода *Adonis* отличительной особенностью является отсутствие обкладки вокруг пучка и наличие сплошного камбialьного кольца, что свидетельствует о низкой специализации данного вида.

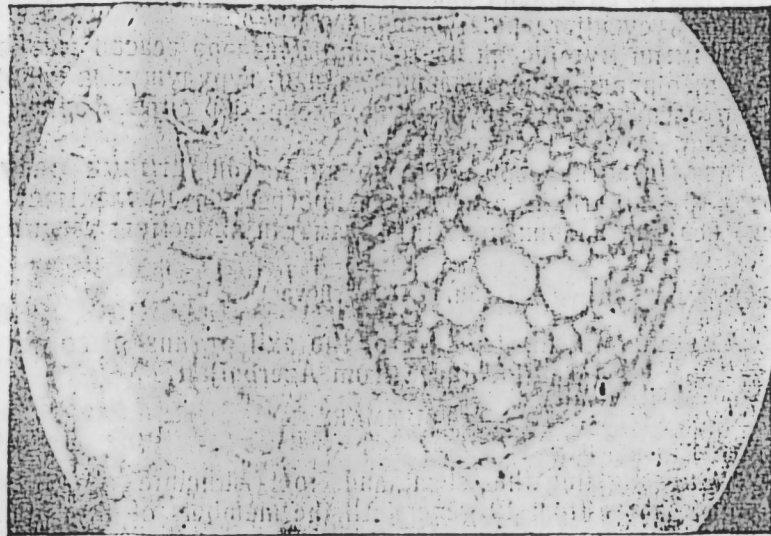


Рис. 5. Поперечный разрез стебля *Ranunculus hyrcanus* A. Grossb.

Род *Anemone*, представленный в нашем исследовании одним видом *A. fasciculata*, характеризуется относительно хорошо развитым пучковым камбием в стебле и сплошным камбialьным кольцом в корне. Перицикл в корне сохраняет свою меристематическую активность и кнаружи от центрального цилиндра образует широкое кольцо пробковой ткани.

Род *Batrachium* характеризуется наличием двухслойной склеренхимной обкладки вокруг пучков.

Как видно из проведенного краткого анализа, в организации проводящих пучков ксилемы исследованных видов *Ranunculaceae* обнаруживается относительная примитивность признаков по сравнению с представителями других семейств (круговое расположение пучков, первичное строение корней, мощное развитие склеренхимной шапки над флоэмой и др.).

Наши исследования позволяют предположить, что редукция или ослабление камбialьной деятельности у *Ranunculaceae* является прогрессивным, в то время как наличие камбialьного слоя представляет собой более древний, предковый признак. Беспорядочное расположение пучков свидетельствует о большей продвинутости данного признака, чем пучки в один ряд.

ЛИТЕРАТУРА

1. Marie Paul. Annales Sciences naturelles. Ser. = 1—xx—p—5, 1884.
2. Metcalf C. K. a. Chalk L. The Dicotyledonous. Londons, 1950.
3. Туманин С. А. Особенности анатомического строения стебля у видов *Aconitum*. Бюлл. Гл. бот. сада, вып. 59, 1955.

Поступило 29. I 1971

Институт ботаники

ш. Г. Дадашова} Азәрбајҹанда јајылмыш гајмагчичәклиләр (*Ranunculaceae*)
фәсиләси нүмајәндәләринин ох органларынын (мөһвәр)
анатомик гурулушунда даир

ХҮЛАСӘ

Гајмагчичәклиләр фәсиләси чохмејвәлиләр групуна дахил олараг, мұасир қеоложи шәранә уғунашма иәтичәсинде онларын дахили гурулушунда бә'зи архаик әламәтләрлә јанаши, јүксәк дәрәчәдә ихтиаслашма хүсусијәтләри мушаһидә олуңур.

Апарылмыш мүгајисәли анатомик анылизләрә әсасен мүәјжән едилмишdir ки, өјрәндүймиз нөвләрин дахили гурулушунда мүәјжән охшајышлар олса да һәр нөвүн өзүнәмәхсүс бир сыра фәргли әламәтләри вардыр.

Тәдгигатын иәтичәләри көстәрир ки, камби гатынын редуксијасы вә ја онун фәалијәтинин зәнифләмәси прогрессив, күчләнмәси (гуввәләнмәси) исә биткиләрин примитив әламәтли олмасыны тәсдиг едир.

Sh. G. Dadashova

The anatomical structure of the axillary organs of some
Ranunculaceae from Azerbaijan

SUMMARY

It was investigating the stem and root structure of 43 species of wild *Ranunculaceae* from 19 genera. All the members of this family have homogeneous structure, except for *Paonia* genera. A member of distinctive features were determining for the each genera separately. It is supposed that the waste or weakening of cambial activity is progressive and the powerful cambial layer is more ancient sign.

АЗӘРБАЙҖАН ССР ЕЛМЛӘР АКАДЕМИЯСЫНЫН МӘРҮЗӘЛӘРИ

ДОКЛАДЫ АКАДЕМИИ НАУК АЗЕРБАЙДЖАНСКОЙ ССР

ТОМ XXX ЧИЛД

№ 6

1974

УДК 576. 895. 132

ГЕЛЬМИНТОЛОГИЯ

Р. А. АЛИЕВ

НОВЫЕ ДАННЫЕ О ФИТОНЕМАТОДАХ АЗЕРБАЙДЖАНА

(Представлено академиком АН Азербайджанской ССР М. А. Мусаевым)

В последние годы (1972—1973 гг.) в Шеки-Закатальской зоне Азербайджана нами был собран дополнительный материал по нематодам культурных насаждений: томата, перца стручкового и сладкого, баклажана и картофеля. Нематоды выделялись из прикорневой почвы, корней и надземных органов при помощи мелких сит, нагревались до 50° и фиксировались в 5%-ном формалине. Впоследствии готовились временные глицериновые препараты, по принятой в Гельминтологической лаборатории АН СССР методике. Определение проводилось в лаборатории почвенной зоологии Института зоологии АН Грузинской ССР, где и хранится материал.

До наших исследований на территории Азербайджана зарегистрировано около 200 видов фитонематод (Касимова, 1964, 1969).

Всего в дополнительном материале было зарегистрировано 107 видов нематод. Из них пять видов впервые отмечаются для фауны СССР: *Achromadora pseudomikoletzkyi* van der Linde, 1962; *Amphidelus monhystera* Heyns, 1961; *Mylonchulus sigmaturellus* Mulvey, 1961; *Nygolaimus asymmetricus* Andrássy, 1962; *Nygolaimus clavicornatus* Altherr, 1953. Это почвенные виды, из которых два первых питаются почвенными бактериями, а остальные являются хищниками, нападающими на нематод или других мелких почвенных беспозвоночных. Так, ниголяимусы, по данным Торна (Thorne, 1930), нападают на олигохет.

Кроме того, 30 видов впервые отмечаются для фауны Азербайджана, что значительно пополняет наши сведения о фито- и свободноживущих нематодах нашей республики. Преимущественно это нематоды из группы паразионионтов: *Anaplectus submersus* (Hirschmann, 1952) Maggenti, 1961; *Plectus elongatus* Maggenti, 1961; *Monhystera illosa* Buetschli, 1873; *Alaimus arcuatus* Thorne, 1939; *Alaimus minor* Cobb, 1893; *Amphidelus hortensis* Andrássy, 1961; *Prionchulus punctatus* (Cobb, 1917) Clark, 1960; *Mylonchulus index* (Cobb, 1906) Andrássy, 1958; *Mesodorylaimus mesonicticus* (Kreis, 1930) Andrássy, 1959; *M. subtillis* (Thorne et Swanger, 1936); *Thornenema catalcantii* (Lord, 1955) Andrássy, 1959; *Aporcelatmellus krtgeri* (Ditlevsen, 1928) Heyns, 1965; *Tylencholaimus zealandicus* de Man, 1876.

Меньше среди них эу- и девисапробионтов: *Pelocera teres* A. Schneider, 1966; *Cruznema lombdiensis* (Maupas, 1919) Thorne, 1961; *Diploscapter coronate* (Gobb, 1893) Gobb, 1913; *Diplogasteritus nidicapitatus* (Steiner, 1914) Paramonov, 1952; *Eucephalobus mucronatus* Kozlowska et Roguska-Wasilewska, 1967; *Hetercephalobus latus* (Gobb, 1906) Andrassy, 1967; *Cervidellus serricephalus* (Thorne, 1925) Thorne, 1937.

Значительная часть относится к специфичным и неспецифичным фитогельминтам: *Tylenchus minutus* Gobb, 1893; *Aglenchus costatus* (de Man, 1921) Meijl, 1960; *Ditylenchus triformis* Hirschmann et Sasser, 1955; *Helicotylenchus digonicus* Perry in Perry, Darling et Thorne, 1959; *H. pseudorobustus* (Steiner, 1914) Golden, 1956; *H. vulgaris* Juen, 1964; *Aphelenchoides bicaudatus* (Imamura, 1931) Filipjev et Sch. Stekhoven, 1914; *A. composticola* Franklin, 1951; *A. subtenuis* (Gobb, 1921) Steiner et Buhger, 1932; *Seinura tenuicaudata* (de Man, 1895) J. B. Goodey, 1960.

Среди нематод, впервые зарегистрированных нами для фауны Азербайджана, можно выделить две группы. Одну группу составляют широко распространенные виды, которые известны из многих фаунистических работ советских авторов, но до сих пор не обнаруженные в Азербайджане. К этой группе относится 18 видов. Остальные 12 образуют вторую группу. Это редкие виды, отмечаемые лишь в отдельных фаунистических работах.

Патогенное действие на растения зарегистрированных фитогельминтов пока неизвестно. Некоторые из них являются типичными микогельминтами, а виды рода *Helicotylenchus* относятся к распространенным эктопаразитам корней растений (Парамонов, 1962, 1970).

Наше исследование позволяет заключить, что еще много неизвестного в фауне почвенных и фитопаразитических нематод Азербайджана и дальнейшая работа в этом направлении актуальна, так как не только расширит наши сведения об этой группе беспозвоночных животных, но и будет способствовать выявлению патогенных фитогельминтов.

ЛИТЕРАТУРА

1. Парамонов А. А. Вопросы фитогельминтологии, т. 1, 1962. 2. Парамонов А. А. Вопросы фитогельминтологии, т. 3, 1970. 3. Thorne G. Predacious nematodes of the genus *Nygolaimus* and a new genus *Sectonema*. Journ. Agr. Res. 41, 6, 1930. 4. Касимова Г. А. Эколого-фаунистическая характеристика нематод овощебахчевых культур Нахичеванской АССР. В кн. «Вопросы паразитологии». Изд-во «Элм», Баку, 1969. 5. К фауне нематод овощебахчевых культур в Азербайджане. Изв. АН Азерб. ССР, серия биол. наук, № 2, 1964.

АМИ им. Нариманова

Поступило 15. IV 1973

Р. Э. Элиев

Азэрбајҹаның битки нематодлары һагында јени мә’лумат

ХҮЛАСӘ

1972—1973-чу илләрдә Азэрбајҹаны Шәки—Загатала зонасы рајонларында 5 нөв тәрәвәз биткисинин нематодларына аид әлавә материал топламышылдыр. Тәдгиг едиләп биткиләрни векетатив үзүләриниң дән вә көкәтрафы торнагдан 107 нөв битки нематоду (фитонематод миқолетзки *van der Linde*, 1962; *Amphidelus monhystera* Heyns, 1962; *Mylonchulus signaturellus* Mulvey, 1961; *Nygolaimus asymmetricus* Andrassy, 1962; *Nygolaimus clavicaudatus* Altherr, 1953) 30 нөвү исә Азэрбајҹан үчүн илк дәфә гәjd едилмишdir.

Тәдгигатымызын иәтичеси көстәрир ки, Азэрбајҹаның битки нематод (фитонематод) фаунасында һәлә тәдгиг едилмәмиш сапрофит, паразит нөвләр чохдур вә бу истигамәтдә елми-тәдгигат ишләринин апарылмасы вачиб вә актуалдыр.

R. A. Aliev

New data on plantnematods of Azerbaijan

SUMMARY

In 1972—1973 in the Shaky—Zakatal zone of Azerbaijan we have gathered an additional material on nematods of the plants: tomatoes, capsicum, sweet pepper, egg-plants and potatoes. In the additional material there has been registered 107 species of nematod altogether. Out of them 5 species are registered for the USSR: *Achromadora pseudomikoletzkyi van der Linde*, 1962; *Amphidelus monhystera* Heyns, 1962; *Mylonchulus signaturellus* Mulvey, 1961; *Nygolaimus asymmetricus* Andrassy, 1962; *Nygolaimus clavicaudatus* Altherr, 1953.

Besides, 30 species are registered for Azerbaijan for the first time. Our investigation allows us to conclude that there is much unknown in soil and plantparasitical nematods of Azerbaijan and our work in this direction in future is actual as it will not only broaden our data on this group of unvertebral animals and at the same time will help to indicate patogenic plant nematods.

Г
МИКРОБИОЛОГИЯ

Н. А. МЕХТИЕВА, Ж. М. МАМЕДОВА

ДЕЙСТВИЕ ИНГИБИТОРА ИКХП-2 НА ДЕЯТЕЛЬНОСТЬ
СУЛЬФАТРЕДУЦИРУЮЩИХ БАКТЕРИЙ И КОРРОЗИЮ
МЕТАЛЛА

(Представлено академиком АН Азербайджанской ССР М. К. Ганиевым)

Одной из основных мер борьбы с коррозией нефтеборудования является снижение активности сульфатредуцирующих бактерий, играющих значительную роль в усилении электрохимической коррозии нефтяного оборудования.

С целью подавления процесса микробиологического восстановления сульфатов различными антисептиками проводился ряд экспериментов (С. И. Кузнецов, 1956; Booth, 1964; Salch, Macpherson a Miller, 1964).

Установлено, что эффективными ингибиторами коррозии являются органические вещества, в состав которых входят активные группы, содержащие азот или серу, амины и их четвертичные соли, сульфоксиды, сульфамиды и др. Адсорбируясь на поверхности металла, они значительно замедляют коррозийный процесс (А. К. Ефимов и др., 1960; В. Ф. Негреев и др., 1968).

Подобными веществами оказались синтезированные Институтом химии присадок АН Азерб. ССР некоторые водорастворимые четвертичные аммонийные соли, полученные путем хлорметилирования различных нефтяных фракций, а также отходов нефтехимической промышленности с последующим соединением с пиридином.

Настоящая работа посвящена изучению действия ингибитора ИКХП-2 на коррозийный процесс, вызванный сульфатредуцирующими бактериями*.

Накопительная культура сульфатредуцирующих бактерий была выделена из пластовой воды, взятой из скважин Апшеронского месторождения нефтепромыслового управления „Кировнефть“.

Опыты ставились в колбах Эрленмейера объемом в 250 мл; питательной средой служила пластовая вода, взятая из тех же скважин. Колбы инокулировались определенным количеством культуры сульфатредуцирующих бактерий шести-семидневного возраста.

* Ингибиторы и соответствующие консультации по вопросам электрохимической коррозии получены нами у руководителя лаборатории ингибиторной защиты Института неорганической и физической химии АН Азерб. ССР А. Ханларовой, за что авторы выражают признательность.

В качестве источника органического вещества использовалась предварительно простерилизованная нефть. Опыт проводился при температуре 27–28°C. Продолжительность опыта—30 суток.

Определение сероводорода и подсчет сульфатредуцирующих бактерий проводились по соответствующим руководствам (А. А. Резнико, Е. А. Муликовская, 1954; С. И. Кузнецов, В. И. Романенко, 1963).

Прямоугольной формы отшлифованные, обезжиренные и простерилизованные пластиинки марки „Сталь-3“ подвешивались на капроновых нитях и погружались в колбу. Характер коррозии определялся визуально.

Эффективность ингибитора при различных концентрациях определялась по снижению скорости коррозии, измеряемой по потере в весе образцов и по плотности поляризующего тока.

В целях выявления эффективных бактериостатических доз испытывалось действие на развитие сульфатредуцирующих бактерий следующих концентраций ИКХП-2: 0,1; 0,2; 0,3; 0,4; 0,5; 1; 2%.

Таблица 1

Действие ИКХП-2 и пиридин на коррозию в культурах сульфатредуцирующих бактерий

Опыты	Время снятия результатов	К-во сульфат. бактер., в 1 мл	К-во серово дорода, мг/л	Вес пластиинок, г	Потеря в весе, %	Скорость коррозии, 2/с.м ² .сум	Эффект защиты, %
Контроль (без ИКХП-2)	В начале опыта	33	57,2	9,730	0,610	0,002	0
	В конце опыта	272	292,4	9,120			
С внесением 0,2% ИКХП-2	В начале опыта	31	39,4	9,580	0,088	0,00021	89,5
	В конце опыта	74	89,2	9,412			
С внесением 0,5% ИКХП-2	В начале опыта	30	60,2	9,890	0,050	0,0001	95
	В конце опыта	0	0	9,840			
С внесением 1% ИКХП-2	В начале опыта	33	59,2	9,560	0	0	100
	В конце опыта	0	0	9,560			
Контроль—без пиридин	В начале опыта	38	56,8	9,780	0,488	0,0002	0
	В конце опыта	264	294,2	9,292			
С внесением 0,1% пиридин	В начале опыта	32	56,2	9,492	0,288	0,00095	52,5
	В конце опыта	162	164,2	9,204			
С внесением 0,2% пиридин	В начале опыта	41	56,4	9,532	0,132	0,0040	80
	В конце опыта	89	102,8	9,400			
С внесением 0,3% пиридин	В начале опыта	38	49,8	9,742	0,070	0,00023	88,5
	В конце опыта	59	68,2	9,670			

Таблица

Определение плотности поляризующего тока при внесении ингибитора

Опыты	Разн. потенциалов, mV	Плотность поляризующего тока, mA/dm ²					
		1 сут.	5 сут.	10 сут.	15 сут.	20 сут.	25 сут.
С внесением сульфатредуцирующих бактерий	100	0,010	0,016	0,32	0	0	0
	200	0,028	0,036	0,065	0,010	0,033	0,021
	300	0,064	0,050	0,152	0,078	0,070	0,079
То же + 0,2% ИКХП-2	100	0,009	0,008	0,009	0	0	0
	200	0,022	0,009	0,009	0,007	0,004	0,003
	300	0,069	0,019	0,009	0,008	0,006	0,002
То же + 0,5% ИКХП-2	100	0,019	0,009	0,004	0	0	0
	200	0,026	0,009	0,005	0	0	0
	300	0,072	0,019	0,008	0,002	0	0
То же + 1% ИКХП-2	100	0,014	0,012	0,009	0,005	0	0
	200	0,028	0,018	0,009	0,004	0	0
	300	0,064	0,020	0,010	0,070	0,003	0
То же + 0,1% пиридина	100	0,048	0,020	0,018	0,016	0	0
	200	0,024	0,038	0,036	0,036	0,007	0,004
	300	0,009	0,136	0,076	0,076	0,015	0,008
То же + 0,2% пиридина	100	0,044	0,072	0,024	0,019	0	0
	200	0,082	0,104	0,048	0,048	0,011	0,018
	300	0,099	0,156	0,088	0,079	0,032	0,024
То же + 0,3% пиридина	100	0,042	0,076	0,016	0,022	0,028	0,018
	200	0,092	0,120	0,032	0,048	0,046	0,020
	300	0,106	0,200	0,072	0,079	0,088	0,048

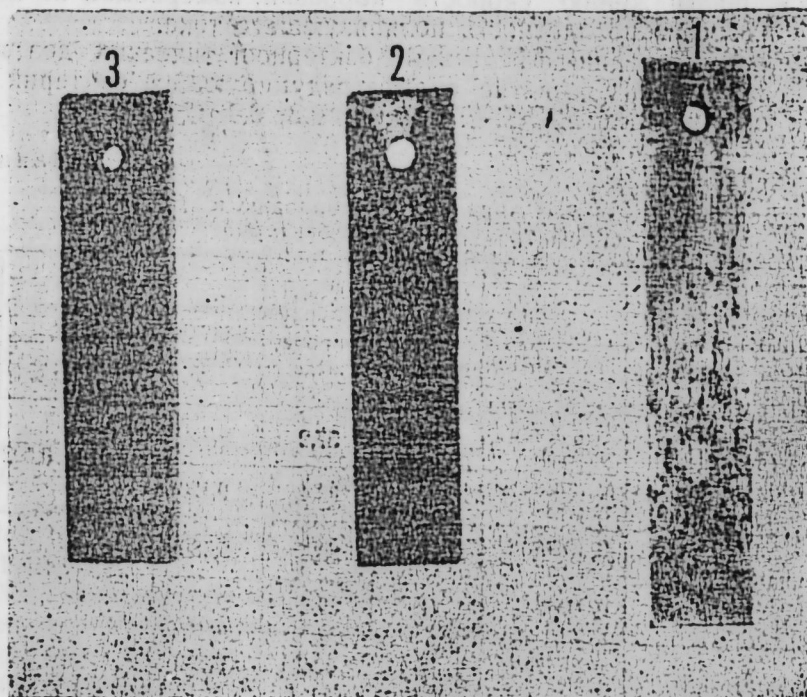


Рис. Действие ИКХП-2 на коррозию стальных пластинок:
1—контроль; 2—3—концентрация ингибитора 0,2 и 0,5%

Помимо вышеуказанного, представлялось интересным изучить действие основного компонента ИКХП-2—пиридина на коррозию в культурах сульфатредуцирующих бактерий.

Пиридин вносился в количествах 0,1; 0,2 и 0,3%. Как показали результаты исследований, пиридин также снизил скорость коррозии, но его ингибирующий эффект значительно слабее.

Аналогичные результаты были получены при определении эффективности ингибитора по плотности поляризующего тока при различных разностях потенциалов (100 mV, 200 mV, 300 mV) (табл. 2).

Кинетика протекания электрохимического процесса коррозии показала, что в контроле наибольшая плотность поляризующего тока наблюдалась на 10-е сутки, т. е. в период активной жизнедеятельности бактерий. Резкое снижение плотности поляризующего тока в варианте без ингибитора объясняется, по-видимому, накоплением в среде больших количеств сероводорода, что влечет за собой прекращение коррозии вследствие образования сплошного сульфидного слоя на металле (Е. П. Розанова и др., 1969).

Добавление ИКХП-2 значительно снизило степень коррозии; наибольшая плотность поляризующего тока отмечалась в первоначальный

период, когда внесенные в среду сульфатредуцирующие бактерии способствовали образованию сероводорода, а в последующие сроки, благодаря бактерицидному действию ИКХП-2 развитие бактерий сильно подавлялось, в связи с чем резко снижалось содержание сероводорода.

Внесение пиридина в среду также заметно снизило интенсивность коррозии по сравнению с контролем, но в отличие от ИКХП-2 наибольшая плотность поляризующего тока отмечалась на 5-е сутки, что объясняется, по-видимому, несколько замедленным действием пиридина на развитие сульфатредуцирующих бактерий.

Таким образом, изучение кинетики протекания электрохимического процесса коррозии путем определения плотности поляризующего тока и проведение микробиологических и химических анализов позволило заключить, что характер действия ИКХП-2 и пиридина на коррозию стали в культурах сульфатредуцирующих бактерий различен. Поскольку эффективные бактерицидные дозы ИКХП-2 оказались высокими, применение ИКХП-2 в качестве средства антибактериальной коррозии не рентабельно.

ЛИТЕРАТУРА

1. Ефимова А. К., Шатунова А. М., Вольф И. В. Труды БашНИИП
В. З. Гостехиздат, 1960. 2. Кузнецов С. И. Тр. VI Всесоюз. совещания по кор-
розии и защите металлов. Изд-во АН СССР, 1957. 3. Кузнецов С. И., Рома-
нова Е. П. ИКХП-2 как антибактериальное средство. Труды БашНИИП

иенко В. И. Микробиологическое изучение внутренних водоемов. Изд-во АН СССР, 1963. 4. Негреев В. Ф., Мамедов И. А., Мамедова И. Ф. Ингибиторы коррозии в борьбе с пандороживанием стали в системе жидкие угловодороды—водные растворы. Изд-во АН Азерб. ССР. Баку, 1968. 5. Резников А. А., Муликова Е. П. Методы анализа природных вод. М., 1954. 6. Розанова Е. П., Меховая Е. П. Методы анализа природных вод. М., 1969. 7. Booth G. H. J., M. A. Aliova, N. Sh. Microbiol., 1964. 8. Salch A. M., Macpherson R. Miller I. O. A. Appl. Microbiol., 1964. 9. Salch A. M., Macpherson R. Miller I. O. A. J. appl. Bacteriology, 27(2), 1964.

Сектор микробиологии при
Ин-те зоологии

Поступило 28. VII 1971

Н. Э. Мехтиева, Ж. М. Мамедова

ИКХП-2 ингибиторунун сульфаты редуксија едән бактеријалара вә металын коррозијасына тә'сири

ХҮЛАСӘ

Суда һәлл олан ИКХП-2 ингибитору вә онун әсас компоненти пиридинин сульфаты редуксија едән бактеријалара вә поладын коррозијасына тә'сири өјрәнилmişdir.

Ингибиторунуң еффектлији онун мұхтәлиф гәтілігінде полад парчаларының чәкисинин азалмасы вә полјаризасија нәрәјаныны күчүнү мүәжжән етмәклә тә'јин едилmişdir.

Мүәжжән едилmişdir, ки, сульфаты редуксија едән бактеријалар мүһитиндә лај сујуна ингибитор әлавә едилдикдә коррозија просеси зәйфләйір, пиридинин бактерисид тә'сири ИКХП-2-јә иисбәтән зәйфdir. ИКХП-2 ингибитору вә онун әсасыны тәшкил едән пиридинин сульфаты редукса едән бактеријалар мүһитиндә поладын коррозијасына мұхтәлиф дәрәчәдә тә'сири едирләр.

N. A. Mekhtieva, J. M. Mamedova

The effect of inhibitor IKChP-2 on the activity of sulfate-reducing bacteria and corrosion of metall

SUMMARY

To find the degree of bacteriostatic and character of the action are been studied the effect of watersoluted inhibitor IKChP-2 and its main component-piridine on corrosion of metall and development of sulfate-reducing bacteria.

According to the data effectivity of inhibitor in variable concentrations are been determined by diminshion of velocity of corrosion, measured on the loose of weight of metallic plates, and by density of polarized current.

Addition of inhibitor IKChP-2 into the stratum water with sulfate reducing bacteria diminish the intensivity of corrosion; inhibitory effect of piridine is weaker.

АЗӘРБАЙЧАН ССР ЕЛМЛӘР АКАДЕМИЈАСЫНЫН МӘРУЗӘЛӘРИ

ДОКЛАДЫ АКАДЕМИИ НАУК АЗЕРБАЙДЖАНСКОЙ ССР

ТОМ XXX ЧИЛД

№ 6

1974

УДК 902. 7. (47. 924)

ЭТНОГРАФИЯ

А. А. АББАСОВ

ЭТНОГРАФИЧЕСКОЕ ИЗУЧЕНИЕ НЕКОТОРЫХ СТОРОН БЫТА ГОРНИКОВ ДАШКЕСАНА

(Представлено академиком АН Азербайджанской ССР А. С. Сумбатзаде)

Тема рабочего быта—новая в этнографической проблематике, ей начали уделять внимание в Азербайджане лишь в последние 15—20 лет. Изучение быта и культуры городского населения, в частности рабочего класса города, имеет существенное значение для понимания культуры народа в целом. Целью неоднократно организованных научных экспедиций, в частности наша поездка в 1973 г. в г. Дашкесан, являлся сбор полевого этнографического материала от информаторов разных национальностей и социально-профессиональных групп.

В работе по сбору материалов применяли анкеты, выработанные Институтом этнографии АН СССР, различные вопросы, статистические обследования и т. д.

Выбор г. Дашкесана—центра горнорудной промышленности Азербайджана—не случаен. Здесь тесно переплетены обычай и традиции крестьянского и рабочего быта. Дашкесан стал проводником нового быта среди окрестного сельского населения района.

Численность населения города в настоящее время составляет 13 тыс. человек (по данным на 1 января 1973 г.). В городе построены 3—5-этажные многоквартирные дома, культурно-просветительные учреждения, школы, здания общественного питания, бытового обслуживания и другие службы современного города.

Формирование населения Дашкесана относится в основном к послевоенному времени. Город быстро концентрировал население, главным образом рабочие кадры, из коренных жителей района и других республик и областей страны. Национальный состав города определяется не только этническим составом окружающего населения, но и национальным составом мигрировавшего промышленного населения. Этим и объясняется преобладание азербайджанцев среди рабочих горнорудной промышленности.

Так, например, из 1830 работающих на Азербайджанском горнобогатительном комбинате 1294, т. е. 70%—азербайджанцы, 426—армяне (23%), 86—русские (4%), 23 человека (1,5%)—представители других национальностей СССР. Большую помощь в подготовке кадров горняков-азербайджанцев оказали горнорудные предприятия страны.

Более 900 молодых рабочих обучались на специальных курсах и прошли производственную практику на предприятиях РСФСР, Украины, Грузии. В настоящее время они составляют основной костяк кадровых рабочих-горняков.

Однако основное внимание мы уделяли изучению некоторых сторон в: утрасемейных взаимоотношений среди рабочих-горняков.

Говоря о внутрисемейных отношениях, в первую очередь следует отметить, что характерным признаком семьи является ликвидация неравноправного положения женщин и взрослых членов семейного коллектива. Прежде чем приступить к характеристике внутрисемейных отношений в дашкесанской рабочей семье, следует подчеркнуть, что она имеет определенные отличительные черты, которые характерны для данной группы рабочих. Мы не находим здесь тех сложных, многогранных взаимоотношений членов семьи, которое пока еще наблюдаются в сельских местностях и некоторых городах республики, так как члены современных малых семей в своей массе молодые люди, все они (или в советское время, учились в советских школах, на них не оказывало влияние старшее поколение, но все же в какой-то мере чувствуется близость села, что отразилось на некоторых сторонах семейного быта горняков.

При этом в настоящее время по-иному решается, в частности, вопрос гендерства в семье. Главенство мужского пола признается, но изменился характер и смысл его. Как известно, главой старой крестьяной семьи был всегда старший в семье мужчина. Он распоряжался бюджетом и всей хозяйственной деятельностью семьи; глава семьи первым садился за стол во время приема пищи, для него считалось позорным взять на руки ребенка и т. д. Теперь глава семьи — советчик, в спитатель. В большинстве своем он решает все семейные вопросы, советуясь с женой, при участии всех взрослых членов семьи.

Главой семьи может быть член семьи, имеющей определенные индивидуальные качества, авторитет, экономически больше поддерживающий семью. Из 150 семей, опрошенных нами, семью возглавляют: мужчины — 137, женщины — 13.

Однако этнографические наблюдения показали, что в рабочих семьях женщины, возглавляющие семью, в большинстве своем являются разведенными или вдовами.

Изучение быта рабочих дает возможность сделать вывод о том, что в большинстве семей ясно понимают цели и задачи главы семьи. Правда, несколько изменилось само понятие главы семьи. Какими-нибудь юридическими преимуществами или фактическими привилегиями перед другими членами семьи он не пользуется. Глава современной рабочей семьи — это наиболее опытный и ответственный среди равных. На нем лежат большие обязанности по сравнению с другими членами семьи.

В силу социально-экономического и юридического равноправия всех членов отношения между ними определяются взаимным уважением, дружбой и взаимопомощью. В рабочей семье ценится бережливость, аккуратность, трудолюбие, мастерство, практическая смекалка, справедливость в отношениях.

Перед общественной деятельностью главы семьи стоят высокие требования, связанные с обществом, которое ставит задачу — воспитать достойных, честных строителей коммунизма. Члены семьи рабочих, особенно дети, гордятся такими достойными главами семьи, как, например, передовики производства, рационализаторы, ударники коммунистического труда и т. д.

Типичен семейный коллектив во главе с экскаваторщиком М. Гайдаровым. Семья, состоящая из жены, двух дочерей и сына школь-

ного возраста, живет дружно. В поведении и обращении членов семьи чувствуется доброжелательность. Он во всем советуется с женой, покупки производят совместно, зарплату целиком дает жене, есть радостно. Он может заинтересовать детей хорошей книгой, по-посещает кинофильмов и другие зрелищные представления. Ни один серьезный домашний вопрос, как правило, не решается без участия жены-хозяйки, без совета с нею.

В настоящее время активное вовлечение женщин в общественно-полезный труд неизмеримо повысило их культурный уровень, политическое сознание, обеспечило экономическую независимость и подняло ее авторитет в семье.

Следует отметить, что принципиально новое положение женщины еще не означает ее полного равенства с мужчиной во всех сферах жизни. Этнографическое изучение семейно-бытовых отношений современной рабочей семьи свидетельствует, что еще и сегодня сохраняются некоторые факторы, ставящие женщину в неравные условия с мужчиной. Прежде всего это связано с ведением домашнего хозяйства. По традиции большая часть домашних забот по-прежнему выполняется женщиной. Из 120 семей рабочих в анкете «Кто в вашей семье в основном занимается домашним хозяйством?» — в 90 анкетах написано: жена, мать или сестра.

И лишь в 30 семьях ответили: «Все члены семьи в равной мере». Согласно данным другой анкеты, женщина тратит зимой на ведение домашнего хозяйства 30—35 ч в неделю, летом 35—40 ч, а мужчина соответственно — 10 и 14 ч.

Такая перегрузка домашним хозяйством приводит к тому, что женщины меньше мужчин участвуют в общественном производстве.

Разрешение проблемы полного равенства женщины явится огромным шагом по пути становления социальной однородности общества будущего.

Привлекает внимание и анализ внутрисемейных отношений со стороны отдельных членов семьи, прежде всего свекрови и невестки. Значительная часть из опрошенных невесток, живущих вместе с родителями мужа, выразила желание к самостоятельной жизни. Это они объяснили желанием избежать ненужных трений, размолвок вызываемых различием в возрасте, вкусах, привычках, взглядах и т. д. Вообще этнографические материалы свидетельствуют о том, что среди молодых супругов рабочей среды теперь довольно сильно чувствуется тенденция к получению отдельной квартиры, самостоятельного ведения хозяйства.

Наши анкетные данные говорят о том, что в среде рабочих проживание женатого сына со своими родителями чаще всего встречается либо в силу имеющегося еще недостатка в жилой площади, либо в тех случаях, когда родители престарелые и нуждаются в посторонней помощи.

Нынешний уровень экономики и культуры, их дальнейшее развитие создали благоприятные условия для конкретных изменений внутрисемейных отношений дашкесанских рабочих.

Характерной особенностью этих отношений является товарищеское сотрудничество, чуткость, взаимопонимание членов семьи и родственников. Это указывает на то, что на современном этапе идет закономерный для советской действительности процесс выработки единого типа семьи и единого бытового уклада.

Поступило 21. II 1974

Институт ории

**Дашкесэн даг-мә'дән фәһләләринин мәишәтиниң
бә'зи чәһәтләриниң этнографик өјрәнмә**

ХУЛАСЭ

Республиканың даг-мә'дән сәнајесинин мәркәзи олан Дашкесэн шәһәринин этнографик тәдгигат үчүн сечилмәси тәсадүфи дејилдир. Бурада фәһлә мәишәти илә әтраф кәндләрин мәишәти бир-бирилә гарышлашыр вә бирлә дикәрини тамамлајыр. Даг-мә'дән фәһләләринин этник тәркәби мүрәккәб олса да чохлуғу азәрбајҹанлылар тәшкил едир.

Мәгәләдә әсас мәгсәд фәһләләрин аилә мәишәтинин хүсусијәтләрни шәрхе етмәкдир. Мұасир кичик фәһлә аиләләрди дахилиндәки мұнасибәтләр совет адәт вә ән'әнәләрдә тәнзим едилмәккә җанаши бир сыра йерли хүсусијәтләрә мәlikдир. Фәһлә континкентинин әксәри ҹаван олуб, совет дәврүндә тәрбијә алый јетишмишdir. Буна көрә дә аилә башчысы мәсәләси, гарышлыглы мұнасибәтләр, аиләдә ушагларны тәрбијәси, гадының ролу вә с. мәсәләләр тамамилә јени әсаслар үзәринде низама салыныр. Вәлидејнләр арасында гарышлыглы разылыг вә һөрмәт һөкм сүрүр. Биркә зәһмәт ата илә ана арасында бәрәбәр һүгуглу мұнасибәтләрни յарәнмасыны әсасландырыр. Аилә мәишәти вә исгәнсәлітлә әлігәдір олан бүтүн мәсәләләр биркә үмуми рәзылыглаз һәлл едилир.

Етнографик материалтар сүбут едір ки, иғтисадијагын вә мәденијәттеги мұасир сәвијәси Дашкесэн фәһләләрни мәишәтинин вә хүсусидә аилә дахилиндәки мұнасибәтләрни јени әсаслар үзәр гурулмасынә көзәл шәрант јратмышдыр.

A. A. Abasov

**Ethnographic study of Dashkесans miners mode of live
SUMMARY**

In this article an ethnographic study of some modes of Dashkesan miners' life are given a special attention is paid to some aspects of workers' family interrelations.

УДК 725. 345

АРХИТЕКТУРА

M. A. НАБИЕВ

ТАЙНА БАКИНСКОЙ ГЫЗ ГАЛАСЫ

(Предстаелено академиком АН Азербайджанской ССР М. А. Гусейновым)

Гыз галасы поражает своим неповторимым очертанием, строгими линиями, высотой и темным цветом правильно стесанных камней, полосатостью верхней части и красивым венцом-карнизов. Карниз своим оформлением напоминает следы греко-эллинистической архитектуры древней Парфии. В глаза бросается главным образом цилиндрическая башня, слегка суживающаяся кверху, в ней жестко, вперевязку по касательной примыкает выступ, называемый некоторыми исследователями „контрфорсом“. Выступ на 2 м ниже башни. Обе эти конструкции составляют единый комплекс, называемый азербайджанским народом Гыз галасы.

Своим башнеобразным цилиндрическим очертанием и причудливым выступом Гыз галасы напоминает сооружение крепостного типа. Поэтому такой вид привел многих людей в заблуждение, и она получила название Гыз галасы, что в точном переводе значит Девичья крепость.

Несмотря на это, наши современные исследователи в лице С. А. Ашурбейли, А. Ш. Исмизаде и Г. Б. Джидди усомнились в крепостном назначении Гыз галасы и высказались о более древнем происхождении и культовом ее назначении.

Заблуждение многих людей привела и надпись: „Башня Мас'уда ибн Давуда“, высеченная на камне арабскими куфическими буквами, принятыми в X—XII вв. и. э. Вмонтирование этого камня с надписью в тело башни настолько грубо и неуклюже и так неуместно прорезает полосы башни, что чужеродность его сразу бросается в глаза.

Для выявления назначения Гыз галасы, по нашему мнению, необходимо было тщательное и детальное изучение ее с точки зрения архитектора-строителя, выявления ее конструктивных особенностей и разгадки идеи зодчего, создавшего такое удивительное сооружение.

Такое детальное изучение внутренних и наружных конструкций Гыз галасы приводит к твердому убеждению, что она не оборонительное сооружение, не маяк и тем более не сигнальная башня. Она является зороастриским культовым сооружением, называемым по-пехлевийски термином „дахма“.

Дахма—это каменная башня, предназначенная для отделения скелета от мяса покойника и последующего хранения этих костей в помещении, называемом астадаюм (костехранилищем, оссуарием). В священной книге зороастрийцев (огнепоклонников) „Авесте“ (в главе

«Видэвидат» есть описание образца такой башни-дахмы (И. М. Дьяконов).

Здесь было бы уместно нам показать (выявить), каким образом конструктивные особенности Гыз галасы выполняют роль зороастрийской дахмы.

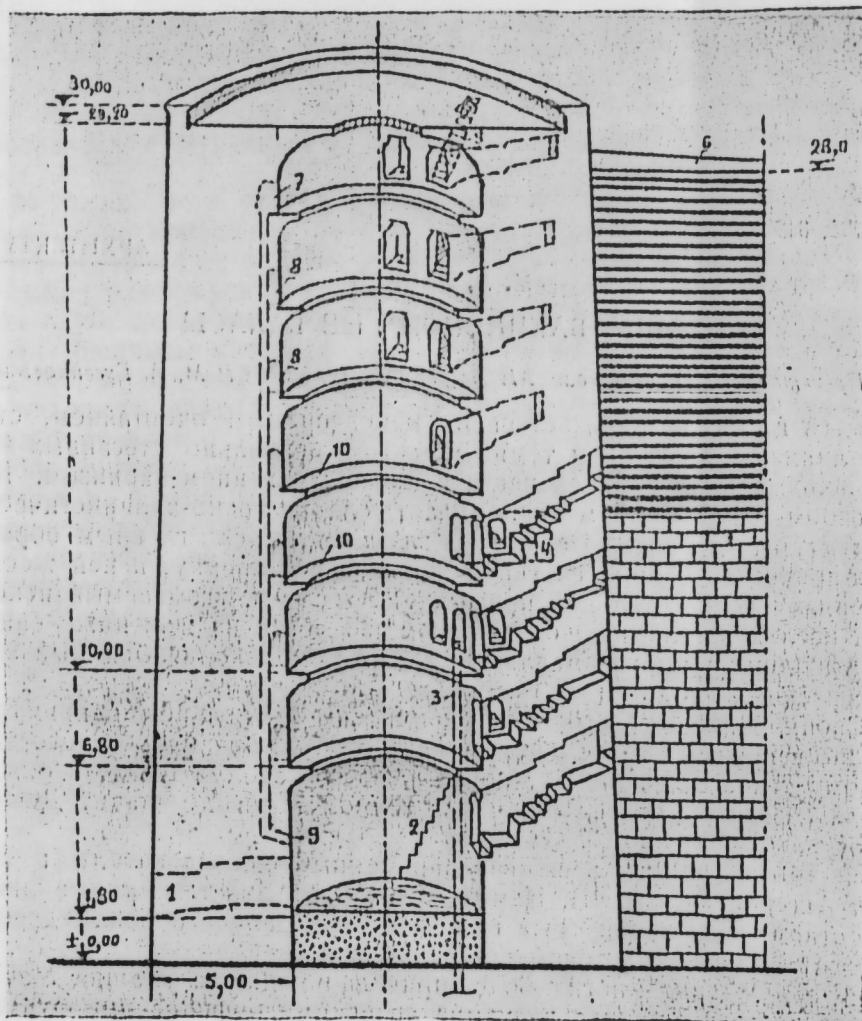


Рис. 1. Разрез башни Гыз галасы по оконным туннелям 4 нижних ярусов

Экспликация: 1—ходовые двери; 2—предполагаемая лестница на 2-й ярус; 3—водяной колодец с устьем (нишей) на 3-м ярусе; 4—большой проем на заднем плане (на 4-ом ярусе); 5—лестница на крышу башни; 6—крыша выступа; 7—ниша с устьем шахтного колодца; 8—поярусные ниши шахтного колодца; 9—выпускной конец шахтного колодца; 10—поярусные кольцевые балконы, существовавшие до реставрации

Из поселения Багавги (древний Баку) и других поселений Апшерона умерших зороастрийцев на носилках с плачем и воплями несут в направлении Гыз галасы. Дойдя до дахмы (т. е. Гыз галасы), мужчины вносят покойника в самый нижний этаж (1-й ярус) башни. Находящиеся здесь маги-мобеды привязывают покойника, завернутого в циновку, на конец веревки, спущенной с 8-го яруса, и подают криком сигнал вверх. Мобеды, обслуживающие покойников на 8-ом ярусе, тянут за другой конец веревки, перекинутой через прикрепленное к стенам бревно, и поднимают покойника наверх; труп этот раз-

вязывают, переносят на крышу выступа, расплетывают, укрепляют, его камнями и оставляют в распоряжении хищных птиц (коршунов), которые быстро расклевывают мясо трупа и оставляют обнаженный скелет.

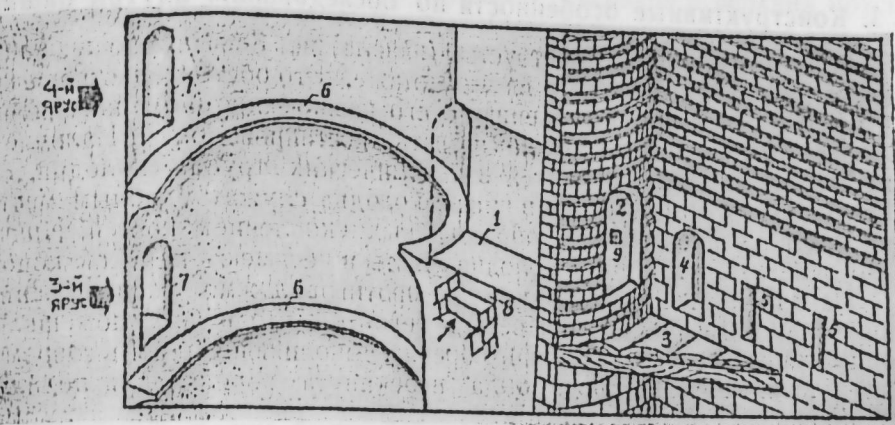


Рис. 2. Существовавшая связь (сообщения) между башней и выступом

Экспликация: 1—большой коридор, заканчивающийся большим проемом (2); 3—балкон, соединяющий выступ с башней; 4—проем, ведущий в астадан; 5—окна; 6—кольцевые балконы; 7—ниши шахтного колодца; 8—лестница с 8-го яруса; 9—отверстие, ведущее из башни в астадан

Пахомов утверждает, что «Башня молчания» (дахма) в Издии построена из кирпича и имеет высоту 8 м, в диаметре—16 м. В центре башни имеется колодец для сбивания костей после освобождения от мяса.

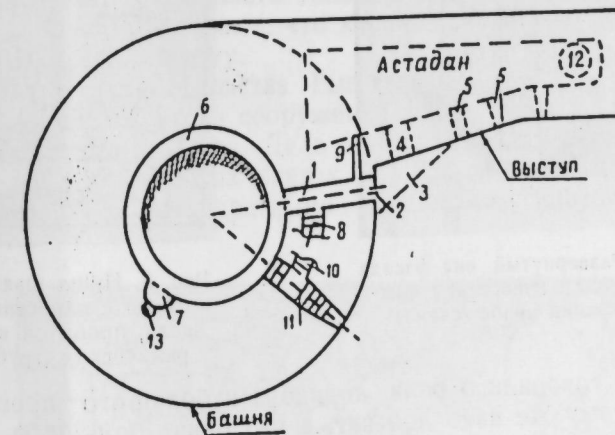


Рис. 3. План Гыз галасы на уровне пола 4-го яруса
Экспликация: номера от 1—8 см. рис.2; 9—отверстие, соединяющее башню с астаданом; 10—лестница, ведущая на 5-й ярус; 11—лестница, ведущая к оконцу; 12—колодец для складывания костей; 13—керамические трубы шахтного колодца

После освобождения скелета от мяса на крыше выступа Гыз галасы мобеды кости простых людей спускают по шахтному колодцу вниз, на 1-ом ярусе их принимают родственники покойника, ждущие там.

А кости жрецов и знати мобеды в циновках переносят на 4-й этаж (ярус) и по широкому коридору и большому проему (рис. 2) переносят в помещение, находящееся внутри выступа и называемое астаданом (костехранилище—оссуарий). Астадан и башня-пехлевийский гостинец соединены деревянным балконом на уровне пола четвертого этажа.

ном. В конце астадана, на свободном конце выступа, по всей вероятности, находится колодец, куда сбрасываются кости правоверных зороастрийцев.

I. Конструктивные особенности по обследованию внутри башни

Шахтный колодец имеет устье (начало) на 8-ом этаже и оканчивается над входной дверью на 1-ом этаже. Это обстоятельство в корне противоречит предположению о его канализационном назначении. Скорее, этот колодец можно назвать костепроводом. Наличие на каждом этаже щели, пробитой в керамических трубах колодца, свидетельствует о том, что они в нишах колодца служат удобным местом для проталкивания пробок, образованных скоплением костей. Причем надо заметить, что трубы колодца чисты и не имеют никакой копоти.

На 8-ом этаже существуют две противоположно расположенные ниши размерами $50 \times 50 \times 35$; весьма вероятно, что в них помешались концы горизонтально уложенного бревна, выполняющего роль современного блока, через которое была перекинута веревка для поднятия покойника на 8-й этаж (ярус).

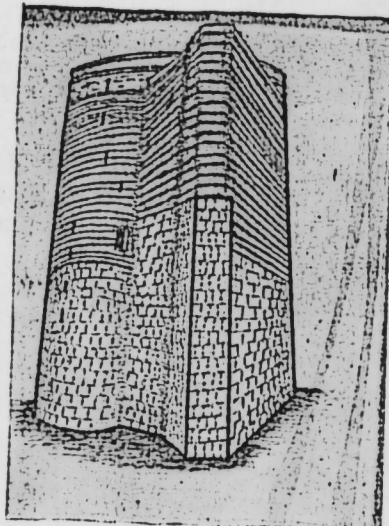


Рис. 4. Развернутый вид фасада Гыз галасы с нанесением нижних границ полос (схема)

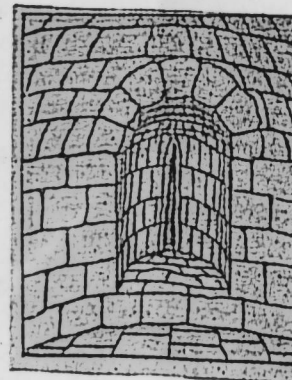


Рис. 5. Ниша шахтного колодца с нанесением щели, пробитой в керамических трубах

Мы уже говорили о роли коридора и большого проема на 4-ом этаже. К этому же надо добавить, что близ большого проема на высоте 90 см от пола помещается отверстие размером 22×22 см, глубиной 2 м. Вероятно, это сигнальное отверстие, ведущее из башни в астадан, впоследствие засыпанное мобедами.

Размещение устья водяного колодца на 3-ем этаже занимало умы многих исследователей. Некоторые из них объясняли это тем, что при занятии 1-го этажа врагами, защитники Гыз галасы могли, скрываясь на верхних, свободно пользоваться питьевой водой. Отсутствие междуэтажных перекрытий в корне отклоняет такое предположение.

Башня внутри никогда не имела сводчатых междуэтажных перекрытий. Она была опоясана восемью кольцевыми узкими балконами порядка 80 см шириной, делящими башню на 8 ярусов (этажей) и представляющими возможность сообщаться между дверьми и колодезными нишами. Об этом свидетельствует обмер Девичьей башни,

выполненный инженером Туссоном в мае 1808 г. (см. статью Бретаницкого и Гузинкевича в "ДАН Азерб. ССР", № 8). Отсутствие междуэтажных перекрытий способствовало хорошей вентиляции башни и давало возможность подачи звуковых сигналов с верхних ярусов и наоборот.

Таким образом, миф об оборонительном назначении Гыз галасы полностью рассеивается из-за отсутствия в башне междуэтажных перекрытий.

II. По обследованию наружного фасада Гыз галасы

Окна в башне расположены только с юго-восточной стороны. Их назначение—освещать лестничные клетки. Лестница ведет только на крышу, другого назначения у нее нет. Можно назвать лестницу винтовой, только на 5-ом ярусе она поворота не совершает; это сделано с таким расчетом, чтобы выход на крышу был на том именно месте, откуда можно спуститься на крышу выступа. Зодчий, строящий Гыз галасы, умышленно сделал крышу башни выше выступа, чтобы отсюда можно было наблюдать за работой хищных птиц и убрать своевременно скелет, если он освобожден от мяса.

Большой проем (по виду снаружи), единственный в своем роде, очень близко поставлен к выступу (на расстоянии 25 см). Это явное указание на то, что данный проем служил выходной дверью—как раз перед ним располагался проем, ведущий внутрь выступа—в астадан. Свидетельством этому является тот факт, что полосы выступающих и отсутствующих рядов камней на уровне большого проема прерываются.

Карниз башни, как мы выше сказали, носит следы греко-эллиннической архитектуры. Он никогда не разрушался, и на его месте никогда машикулей башенного типа не существовало. Примечания инженера Туссона показывают, что карниз этот в 1808 г. подвергался незначительному ремонту.

Точных дат строительства Гыз галасы нет, но по конструктивным особенностям этого сооружения можно указать приблизительное время его строительства. Дело в том, что, обследуя потолочные перекрытия всех лестничных клеток Гыз галасы, мы видим, что они выполнены толстыми квадратными каменными плитами порядка

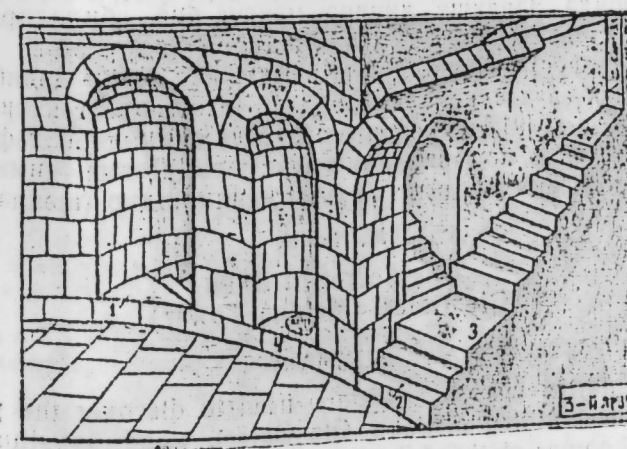


Рис. 6. Архитектурное решение сочетания лестничных клеток и размещения водяного колодца.
Экспликация: 1—проем и лестница (с нижнего яруса); 2—проем и лестница, ведущая на верхний ярус; 3—площадка для двух скрещивающихся лестниц, характерная для всех ярусов; 4—устье водяного колодца.

90×90×18 см в виде клиньев, установленных впритык по углам; противоположные плиты заделаны в кладку, сверху уложена такая же плита в качестве подушки. Этот прием освобождал строителей от дорогостоящих дощатых кружал (подпорок сводов), трудоемкой работы и сокращал сроки строительства.

Аналогичные оформления сводов мы видим на здании епископского дворца в Звартноце (Армения), относящегося к V—VI вв. н. э. (Ионесян. „История армянского народа“). Значит, такой способ кладки сводов и перекрытий практиковался в V и VI вв. Если мы учтем тот факт, что шахиншах Ирана Хосров I Ануширван (531—579), по данным истории, побывал в восточном Закавказье, построил Дербентскую крепостную стену (565 г.), то можно сказать, что и Гыз галасы построена по его приказу в дар своим единоверцам зороастрийцам, проживающим на Апшероне, в честь завершения строительства Дербентской стены. По историческим данным можно констатировать, что такие подарки народу цари Ирана делали по случаю победы над врагом, рождения сыновей, новогодних подарков и т. п. Можно с некоторым приближением к действительности предположить, что строительство Гыз галасы совершилось непрерывно в течение 10 лет (565—576 гг.) и закончено при жизни Ануширвана.

Гыз галасы—не единственная дахма в северном Азербайджане. В „Истории архитектуры Азербайджана“ акад. М. Усейнова, Саламзаде и Братаницкого мы узнаем, что ими открыты еще две дахмы (с. Будуг и Чирах-кала).

Институт архитектуры и искусства

Поступило 23. VIII 1973

М. А. Набиев

Бакы Гыз галасынын сирри

ХУЛАСЭ

Бакы Гыз галасы гэдим вэ нэдир абидалардэн биридир. Гэдим заманлардан индијэдэк алымлар бу абидэний сиррни ачмаг үчүн чалышмышлар.

Мэнэ елэ кэлирди ки, Гыз галасыны тамам өјрэнмэк үчүн бунун һэр бир конструксијасына иншаатчы вэ архитектор нэээри илэ бахылмалы, бинаны проект едэн ме'марын фикри мұајинә едилемэлидир. Бу сәбәбә көрэ мэн Гыз галасында бир чох иллэр тәдгигат апардым. Бизә, бу абида Зәрдүшт дининә мәхсус бир абидэдир вэ бунун пәһләви (фарс) ләһчәсіндә ады дахмадур.

Вәһши (гузғун) гушлар ирсан чәмдәјинин этини дидиб јејир вэ сүмүүңүн этден азад едирләр. Мобедләр (атәшпәрәст кайни) сүмүкләри гајтарыб өлү љијесинә верир, онлар да сүмүкләри дәфи едирләр.

Гыз галасынын һэр бир конструксијасы Дахма кими сүмүкдән этиајырма просесинә мұвағиғ олғар тикилмишdir (шәклә бах).

M. Nabiev

The Secret of Baku Giz Galasi (Maiden Tower)

SUMMARY

Many centuries the investigators tried to discover the purpose and the use of the building of Baku Giz Galasi, which is situated in the south-eastern corner of the fortress.

Many of them, proceeding from appearance of it, made the conclusion that this fortress was built in XI—XII centuries of new era.

However, detailed, architectural investigation showed that Giz Galasi is a fire-worship building called "dachma" which was intended for the preparing of a deceased to the burial. It was built approximately under the shah Khasrov I Anushirvan (531—579).

77	Санкт-Петербургский политехнический инженерный институт им. В. Г. Шухова
79	Советский Союз учёных и инженеров техники
80	Академия наук Таджикской ССР
81	Академия наук Узбекской ССР
82	Академия наук Киргизской ССР
83	Академия наук Азербайджанской ССР
84	Академия наук Тувинской АССР
85	Академия наук Бурятской АССР
86	Академия наук Чечено-Дагестанской АССР
87	Академия наук Калмыцкой АССР
88	Академия наук Татарской АССР
89	Академия наук Казахской ССР
90	Академия наук Узбекской ССР
91	Академия наук Киргизской ССР
92	Академия наук Азербайджанской ССР
93	Академия наук Таджикской ССР
94	Академия наук Башкирской АССР
95	Академия наук Чеченской АССР
96	Академия наук Дагестанской АССР
97	Академия наук Калмыцкой АССР
98	Академия наук Тувинской АССР
99	Академия наук Бурятской АССР
100	Академия наук Киргизской ССР
101	Академия наук Азербайджанской ССР
102	Академия наук Таджикской ССР
103	Академия наук Узбекской ССР
104	Академия наук Киргизской ССР
105	Академия наук Азербайджанской ССР
106	Академия наук Таджикской ССР
107	Академия наук Узбекской ССР
108	Академия наук Киргизской ССР
109	Академия наук Азербайджанской ССР
110	Академия наук Таджикской ССР
111	Академия наук Узбекской ССР
112	Академия наук Киргизской ССР
113	Академия наук Азербайджанской ССР
114	Академия наук Таджикской ССР
115	Академия наук Узбекской ССР
116	Академия наук Киргизской ССР
117	Академия наук Азербайджанской ССР
118	Академия наук Таджикской ССР
119	Академия наук Узбекской ССР
120	Академия наук Киргизской ССР
121	Академия наук Азербайджанской ССР
122	Академия наук Таджикской ССР
123	Академия наук Узбекской ССР
124	Академия наук Киргизской ССР
125	Академия наук Азербайджанской ССР
126	Академия наук Таджикской ССР
127	Академия наук Узбекской ССР
128	Академия наук Киргизской ССР
129	Академия наук Азербайджанской ССР
130	Академия наук Таджикской ССР
131	Академия наук Узбекской ССР
132	Академия наук Киргизской ССР
133	Академия наук Азербайджанской ССР
134	Академия наук Таджикской ССР
135	Академия наук Узбекской ССР
136	Академия наук Киргизской ССР
137	Академия наук Азербайджанской ССР
138	Академия наук Таджикской ССР
139	Академия наук Узбекской ССР
140	Академия наук Киргизской ССР
141	Академия наук Азербайджанской ССР
142	Академия наук Таджикской ССР
143	Академия наук Узбекской ССР
144	Академия наук Киргизской ССР
145	Академия наук Азербайджанской ССР
146	Академия наук Таджикской ССР
147	Академия наук Узбекской ССР
148	Академия наук Киргизской ССР
149	Академия наук Азербайджанской ССР
150	Академия наук Таджикской ССР
151	Академия наук Узбекской ССР
152	Академия наук Киргизской ССР
153	Академия наук Азербайджанской ССР
154	Академия наук Таджикской ССР
155	Академия наук Узбекской ССР
156	Академия наук Киргизской ССР
157	Академия наук Азербайджанской ССР
158	Академия наук Таджикской ССР
159	Академия наук Узбекской ССР
160	Академия наук Киргизской ССР
161	Академия наук Азербайджанской ССР
162	Академия наук Таджикской ССР
163	Академия наук Узбекской ССР
164	Академия наук Киргизской ССР
165	Академия наук Азербайджанской ССР
166	Академия наук Таджикской ССР
167	Академия наук Узбекской ССР
168	Академия наук Киргизской ССР
169	Академия наук Азербайджанской ССР
170	Академия наук Таджикской ССР
171	Академия наук Узбекской ССР
172	Академия наук Киргизской ССР
173	Академия наук Азербайджанской ССР
174	Академия наук Таджикской ССР
175	Академия наук Узбекской ССР
176	Академия наук Киргизской ССР
177	Академия наук Азербайджанской ССР
178	Академия наук Таджикской ССР
179	Академия наук Узбекской ССР
180	Академия наук Киргизской ССР
181	Академия наук Азербайджанской ССР
182	Академия наук Таджикской ССР
183	Академия наук Узбекской ССР
184	Академия наук Киргизской ССР
185	Академия наук Азербайджанской ССР
186	Академия наук Таджикской ССР
187	Академия наук Узбекской ССР
188	Академия наук Киргизской ССР
189	Академия наук Азербайджанской ССР
190	Академия наук Таджикской ССР
191	Академия наук Узбекской ССР
192	Академия наук Киргизской ССР
193	Академия наук Азербайджанской ССР
194	Академия наук Таджикской ССР
195	Академия наук Узбекской ССР
196	Академия наук Киргизской ССР
197	Академия наук Азербайджанской ССР
198	Академия наук Таджикской ССР
199	Академия наук Узбекской ССР
200	Академия наук Киргизской ССР
201	Академия наук Азербайджанской ССР
202	Академия наук Таджикской ССР
203	Академия наук Узбекской ССР
204	Академия наук Киргизской ССР
205	Академия наук Азербайджанской ССР
206	Академия наук Таджикской ССР
207	Академия наук Узбекской ССР
208	Академия наук Киргизской ССР
209	Академия наук Азербайджанской ССР
210	Академия наук Таджикской ССР
211	Академия наук Узбекской ССР
212	Академия наук Киргизской ССР
213	Академия наук Азербайджанской ССР
214	Академия наук Таджикской ССР
215	Академия наук Узбекской ССР
216	Академия наук Киргизской ССР
217	Академия наук Азербайджанской ССР
218	Академия наук Таджикской ССР
219	Академия наук Узбекской ССР
220	Академия наук Киргизской ССР
221	Академия наук Азербайджанской ССР
222	Академия наук Таджикской ССР
223	Академия наук Узбекской ССР
224	Академия наук Киргизской ССР
225	Академия наук Азербайджанской ССР
226	Академия наук Таджикской ССР
227	Академия наук Узбекской ССР
228	Академия наук Киргизской ССР
229	Академия наук Азербайджанской ССР
230	Академия наук Таджикской ССР
231	Академия наук Узбекской ССР
232	Академия наук Киргизской ССР
233	Академия наук Азербайджанской ССР
234	Академия наук Таджикской ССР
235	Академия наук Узбекской ССР
236	Академия наук Киргизской ССР
237	Академия наук Азербайджанской ССР
238	Академия наук Таджикской ССР
239	Академия наук Узбекской ССР
240	Академия наук Киргизской ССР
241	Академия наук Азербайджанской ССР
242	Академия наук Таджикской ССР
243	Академия наук Узбекской ССР
244	Академия наук Киргизской ССР
245	Академия наук Азербайджанской ССР
246	Академия наук Таджикской ССР
247	Академия наук Узбекской ССР
248	Академия наук Киргизской ССР
249	Академия наук Азербайджанской ССР
250	Академия наук Таджикской ССР
251	Академия наук Узбекской ССР
252	Академия наук Киргизской ССР
253	Академия наук Азербайджанской ССР
254	Академия наук Таджикской ССР
255	Академия наук Узбекской ССР
256	Академия наук Киргизской ССР
257	Академия наук Азербайджанской ССР
258	Академия наук Таджикской ССР
259	Академия наук Узбекской ССР
260	Академия наук Киргизской ССР
261	Академия наук Азербайджанской ССР
262	Академия наук Таджикской ССР
263	Академия наук Узбекской ССР
264	Академия наук Киргизской ССР
265	Академия наук Азербайджанской ССР
266	Академия наук Таджикской ССР
267	Академия наук Узбекской ССР
268	Академия наук Киргизской ССР
269	Академия наук Азербайджанской ССР
270	Академия наук Таджикской ССР
271	Академия наук Узбекской ССР
272	Академия наук Киргизской ССР
273	Академия наук Азербайджанской ССР
274	Академия наук Таджикской ССР
275	Академия наук Узбекской ССР
276	Академия наук Киргизской ССР
277	Академия наук Азербайджанской ССР
278	Академия наук Таджикской ССР
279	Академия наук Узбекской ССР
280	Академия наук Киргизской ССР
281	Академия наук Азербайджанской ССР
282	Академия наук Таджикской ССР
283	

Рамана жатагы саңасиңдеки еңтазасын характеринә даир бә'зи мә'луматтар	55-
Тектоника	
А. М. Зејналов. Басгал тектоник өртүйү барәдә јени мә'луматтар (Чәңуб-шәрги Гафгаз)	61-
Кеокимја	
Ад. А. Элиев. Ләнкәбиз моноклиналынын үст плиосен јашлы чөкүн түләриндә үзү маддәнияттән бә'зи кимјәви элементләрин пајланмасы нағтында	86-
Агрокимја	
Ч. М. Ыусеинов, Р. Э. Эյубов, Ф. Н. Исаев. Истеңсалат шәрәнтиңдә сәпиндән әvvәл тохумларын шумландырылмасы	70-
Биткиләрин анатомијасы	
Ш. Г. Даушова. Азәрбајҹанда јајымыш гајмагчичәклиләр (<i>Panipculaceae</i>) фәсиләси нұмајәндәләринин ох органларынын (мөһвәр) анатомик гурулушуна даир	75-
Нелминтолоџија	
Р. Э. Элиев. Азәрбајҹанын битки нематодлары нағтында јени мә'лумат	81-
Микробиолоџија	
Н.Ә. Мендијева, Ж.М. Мәммәдов. ИКХП-2 инхибиторунун суlfаты редуксија едән бактеријалара вә металын коррозијасына та'сири	84-
Етнографија	
А. А. Аббасов. Даշкәсән дағ-мә'дән фәілләринин мәншәттинин бә'зи чәнәтләриниң етнографик өјрәнмә	89-
Мәмарлыг	
М. А. Нәбиев. Бакы Гыз галасынын сирри	93-

СОДЕРЖАНИЕ	
Техническая кибернетика	
М. А. Гулиев. Об одном методе моделирования температурного поля нефтяного пласта	3
Математика	
С. Н. Борисов, З. Т. Султакова. Номограммы для определения名义ной толщины стенки трубы	8
Л. Г. Эфендиева. Оценка особого интеграла по системе непересекающихся дуг и их приложения	11
С. А. Фейзиев. К теории вложения и продолжения некоторых общих весовых классов функций, заданных на области	16
Физика	
М. Х. Алиева, Р. Ф. Мамедова, А. З. Мамедова. Двойная инжекция в сплавных диодах, полученных на основе <i>p-GaSe</i>	21
А. Л. Шабалов, А. Г. Абдуллаев. Полярнозависимый эффект переключения и памяти в диодных структурах на основе монокристаллического кремния	25
Энергетика	
Б. А. Листенгартен. К вопросу исследования переходных процессов частотно-регулируемого асинхронного электродвигателя	30
Химия	
Акад. Г. Б. Шахтахтинский, А. И. Талыбы, А. И. Гулиев, Э. Т. Азизов, Р. А. Велиев. Исследование формальной кинетики обжига FeS филизайского пиритного концентрата в кипящем слое	33
Органическая химия	
Член-корр. М. М. Мовсумзаде, А. С. Кязимов, А. Л. Шабанов, З. А. Сафарова. Сопряженная циклизация производных Δ^4 -циклогексен- <i>cis</i> -1,2-дикарбоновых кислот	40
Р. А. Бабаханов, И. Г. Мурсакулов, М. С. Аббасов. О пространственной направленности реакции цианиорборнирования фенола	45
Химия полимеров	
А. А. Буният-заде, Н. Т. Каҳраманов, Е. А. Осипов. Исследование влияния молекуллярного веса и полидисперсности ПЭВП на процесс привитой сополимеризации с акрилонитрилом	50
	101

Геология

А. М. Дадашев, О. Д. Гусейнзаде. Некоторые данные о характере колебания поверхности Балаханы-Сабунчи-Раманинского месторождения 55

Тектоника

А. М. Зейналов. Новые данные о Баскальском покрове (юго-восточный Кавказ) 61

Геохимия

Ад. А. Алиев. О распределении ОВ и некоторых химических элементов в верхнеплиоценовых отложениях Ленгебизской моноклинали 66

Агрономия

Акад. Д. М. Гусейнов, Р. Э. Эюбов, Ф. Г. Исаева. Предпосевное облучение семян в производстве 70

Анатомия растений

Ш. Г. Дадашева. К анатомии осевых органов некоторых представителей лютиковых Азербайджана 75

Гельминтология

Р. А. Алиев. Новые данные о фитонематодах Азербайджана 81

Микробиология

Н. А. Мехтиева, Ж. М. Мамедова. Действие ингибитора ИКХП-2 на деятельность сульфатредуцирующих бактерий и коррозию металла 84

Этнография

А. А. Аббасов. Этнографическое изучение некоторых сторон быта горячек Дашибесана 89

Архитектура

М. А. Набиев. Тайна бакинской Гызы галасы 98

Сдано в набор 5/VI 1974 г. Подписано к печати 13/VIII 1974 г. Формат бумаги 70×108^{1/4}. Бум. лист. 3,25.
Печ. лист. 8,91. Уч.-изд. лист. 7,60. ФГ 05220. Заказ 238. Тираж 760. Цена 40 коп.

Типография „Красный Восток“ Государственного комитета
Совета Министров Азербайджанской ССР по делам издательства, полиграфии и книжной торговли,
Баку, ул. Азиза Асланова, 90.

ПРАВИЛА ДЛЯ АВТОРОВ

1. В «Докладах Академии наук Азербайджанской ССР» помещаются краткие сообщения, содержащие законченные, еще не опубликованные результаты научных исследований, имеющих теоретическое или практическое значение.

В «Докладах» не публикуются крупные статьи, механически разделенные на ряд отдельных сообщений, статьи полемического характера без новых фактических данных, статьи с описанием промежуточных опытов без определенных выводов и обобщений, работы непринципиальные, описательного или обзорного характера, чисто методические статьи, если предлагаемый метод не является принципиально новым, а также статьи по систематике растений и животных (за исключением описания особо интересных для науки находок).

Статьи, помещаемые в «Докладах», не лишают автора права последующей публикации того же сообщения в развернутом виде в других изданиях.

2. Поступающие в «Доклады» статьи рассматриваются Редакционной коллегией только после представления их академиком по специальности. Каждый академик может представить не более 5-ти статей в год.

Статьи членов-корреспондентов Академии наук Азербайджанской ССР принимаются без представления.

Редакция просит академиков при представлении статьи указывать дату получения ее от автора, а также наименование раздела, в котором статья должна быть помещена.

3. В «Докладах» публикуется не более трех статей одного автора в год.

4. В «Докладах» помещаются статьи, занимающие не более четверти авторского листа — около 6—7 страниц машинописи (10 000 печатных знаков), включая рисунки.

5. Все статьи должны иметь резюме на английском языке; кроме того, статьи, написанные на азербайджанском языке, должны иметь: резюме на русском языке и наоборот.

6. В конце статьи должны быть указаны название научного учреждения, в котором выполнена работа, и номер телефона автора.

7. Опубликование результатов работ, проведенных в научных учреждениях должно быть разрешено дирекцией научного учреждения.

8. Статьи (включая и резюме), должны быть напечатаны на машинке через два интервала, на одной стороне листа и представляются в двух экземплярах. Формулы должны быть вписаны четко и ясно, при этом прописные буквы должны быть подчеркнуты (черным карандашом) двумя черточками снизу, а строчные — сверху, буквы греческого алфавита надо обводить красным карандашом.

9. Цитируемая в статье литература должна приводиться не в виде подстрочных сносок, а общим списком (вподбор), в алфавитном порядке (по фамилии автора), в конце статьи с обозначением ссылки в тексте порядковой цифрой. Список литературы должен быть оформлен следующим образом:

а) для книг: фамилия и инициалы автора, полное название книги, номер тома, город, издательство и год издания;

б) для статей в сборниках (трудах): фамилия и инициалы автора, название статьи, название сборника (трудов), том, выпуск, место издания, издательство, год, страница;

в) для журнальных статей: фамилия и инициалы автора, название статьи, название журнала, год, том, номер, (выпуск), страница.

Ссылки на неопубликованные работы не допускаются (за исключением отчетов и диссертаций, хранящихся в научных учреждениях).

10. На обороте рисунков должны быть указаны фамилия автора, название статьи и номер рисунка. Отпечатанные на машинке подписи к рисункам представляются на отдельном листе.

11. Авторы статей должны указывать индекс статьи по Унифицированной десятичной классификации (УДК) и прилагать реферат для «Реферативного журнала».

12. Авторы должны избегать повторения одинаковых данных в таблицах, графиках и тексте статьи.

Ввиду небольшого объема статей выводы помещаются лишь в необходимых случаях.

13. В случае представления двух или более статей одновременно необходимо указывать желательный порядок их помещения.

14. Корректура статей авторам как правило не посыпается. В случае посылки корректуры допускается лишь исправление ошибок типографии.

15. Редакция выдает автору бесплатно 15 отдельных оттисков статьи.



